



清华大学 交叉信息研究院

Institute for Interdisciplinary Information Sciences, Tsinghua University

# 学术科研简报

IIIIS Academic Newsletter

2024 年 7 月 - 12 月

# 人工智能

- 04 具身智能
- 20 强化学习
- 21 机器学习
- 25 大模型
- 29 计算机视觉
- 32 计算机图形学
- 34 人工智能安全
- 35 机器学习理论

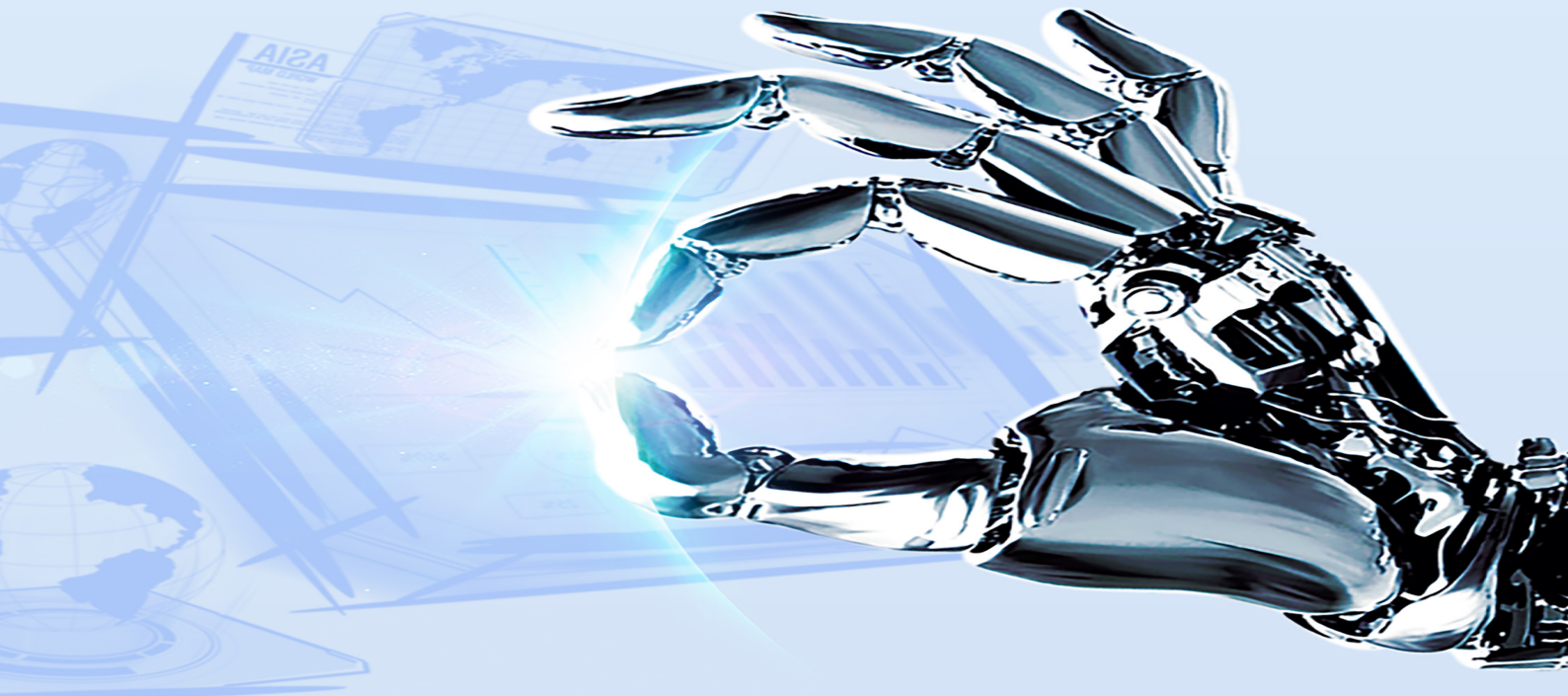
# 计算机科学

- 39 计算机系统结构
- 48 数据库系统
- 50 理论算法

# 量子信息科学

- 52 离子阱量子计算与模拟
- 56 量子中继
- 57 量子计算
- 63 超导量子计算
- 67 多体量子物理
- 69 拓扑凝聚态物理

# 人工智能



# 一、具身智能

主要完成人：高阳研究组、弋力研究组、陈建宇研究组、吴翼研究组、许华哲研究组

## 策略学习的任意点轨迹建模—ATM

从演示中学习是机器人学习新技能的一种有效方法，拥有更多的演示数据往往能改善策略学习。然而，收集演示数据的高昂成本是一个重大瓶颈。视频作为一种丰富的数据源，包含了行为、物理和语义方面的知识，但由于缺乏动作标签，从视频中提取特定的控制信息非常具有挑战性。高阳研究组提出任意点轨迹建模（ATM），通过预训练轨迹模型来预测视频帧内任意点的未来轨迹，从而利用视频为机器人提供演示。训练完成后，这些轨迹将提供详细的控制指导，从而能以最少的动作标签数据学习鲁棒的视觉运动策略。该算法为从视频学习机器人策略提供了新视角，实现了小样本、跨具身模仿学习能力。该算法在仿真器和真实世界机器人实验中均进行了评估，在超过 130 项以自然语言为条件的机器人操作任务中，性能显著超过现有最优视频预训练基线 80%。此外，该工作还展示了从人类视频向机械臂操作的真机跨具身迁移学习效果。该论文被国际机器人顶级会议 RSS2024 接收，并获得满分审稿评价。

该成果研究论文：Chuan Wen, Xingyu Lin, John So, Kai Chen, Dou Qi, Yang Gao, Pieter Abbeel, “Any-point Trajectory Modeling for Policy Learning” , Robotics: Science and System (2024).

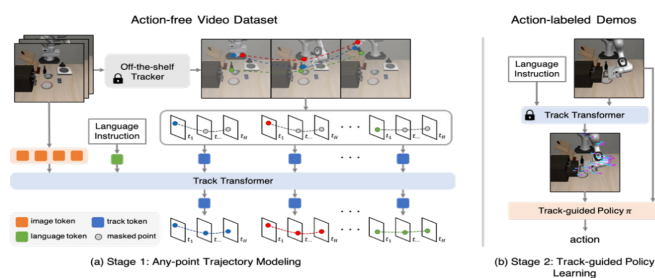


图 1 任意点轨迹建模与策略模型网络结构图

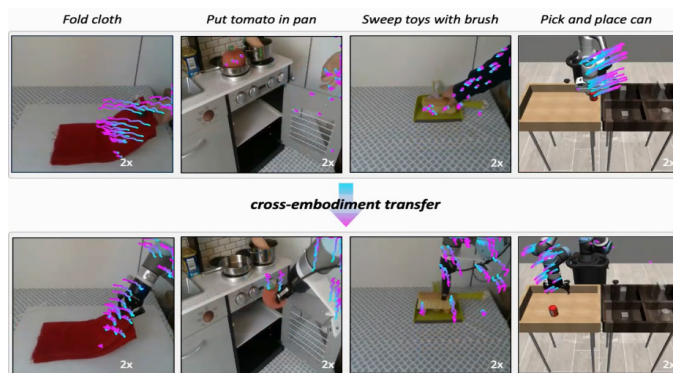


图 2 跨具身模仿学习效果图

# 通用流作为可扩展机器人学习的基础可供性表征

由于收集机器人操作数据具有很高的时间成本，因此提高机器人操作数据的数量级十分困难，这也导致了现有的机器人模仿学习方法仅具有有限的可扩展性。一种可能的解决方案是引入人类操作视频数据集。人类操作与机器人操作具有较高的相似性，因此学界普遍认为人类操作视频能够为机器人操作提供先验。人类操作视频的收集较为简单，并且已有较大规模的收集量。因此，如果能够找到一种高效的从人类视频数据集中提取机器人技能的方法，就能够极大的提升机器人学习的可扩展性。高阳研究组提出使用通用流 (General Flow) 作为一种基础可供性表征 (Affordance)，从而建立起从人类操作视频与机器人技能之间的桥梁。具体来说，General Flow 描述被操作物体上若干 3D 点的未来移动轨迹。这一表征与操作者本体无关，但又精确描述了操作技能本身的动作形态，因此能够高效实现人类操作视频向机器人技能的转移（图 1）。

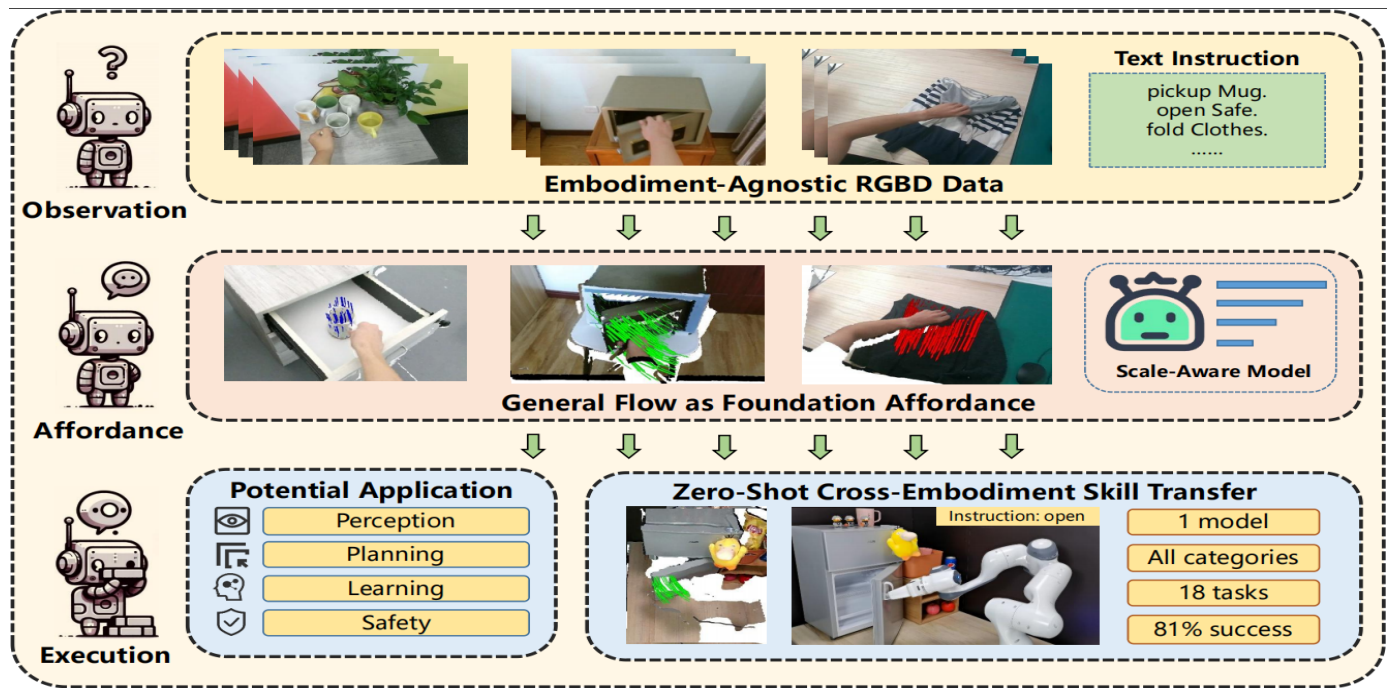


图 1 通用流 (General) 作为人类视频向机器人技能转移的中间表征

高阳研究组首先使用原有数据标注、分割模型、追踪模型等从 HOI4D 数据集和自采集数据中提取通用流表征。然后基于 PointNeXt 点云预测架构，设计了基于尺度的流表征预测模型，并使用之前提取得到的数据集进行训练（图 2）。然后，该研究组将流表征预测模型部署到真实机器人上。具体来说，给定场景点云和被操作物体上的若干 3D 点，机器人首先使用预训练好的预测模型预测通用流表征。然后，机器人移动物体，使得物体尽可能的跟随预测的流表征轨迹。

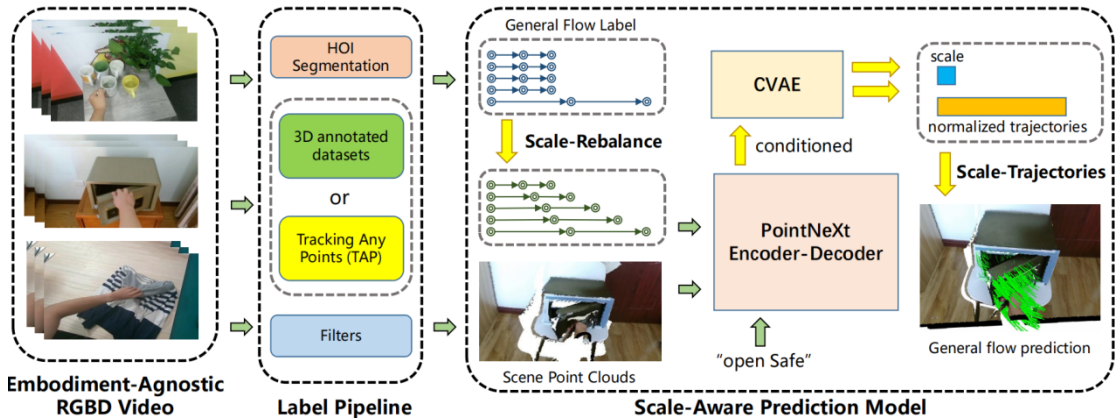


图 2 通用流表征预测模型训练框架

在不使用任何机器人数据的情况下，基于通用流表征预测的方法在 6 个训练时未见过的场景中的 18 个物体操作任务上取得了 81% 的成功率。值得注意的是，被操作物体涉及刚体、结构体和软体，展现了流表征方法的通用性。除此之外，流表征方法展现出了多种优良性质，包括对机器人分割的鲁棒性、对物体形状的泛化性，对抓取方法的普适性，以及对空间关系的感知性（图 3）。总的来说，该工作为更大规模的从人类视频中学习机器人操作技能提供了新的方法。

该成果研究论文：Chengbo Yuan, Chuan Wen, Tong Zhang and Yang Gao, “General flow as foundation affordance for scalable robot learning” , Conference on Robot Learning (2024).



图 3 通用流表征方法所展现出的优良性质

# TACO：双手协作双物体的数据集和基准任务

在日常生活中，人们经常用双手同时协作多个家用物体，并且能够基于对同类型物体功能的理解轻易操作从未见过的物体。而由于缺乏相关的数据集，先前关于手物交互理解与生成的研究大多局限在单手单物的情景中。

为了支持研究双手协作多物体的运动，弋力研究组提供了一个大规模手物交互数据集 TACO（图 1）。TACO 数据集关注日常生活中人们用双手使用工具的动作，将手物交互行为刻画成“工具 - 动作 - 使用对象”的交互三元组。数据内容包含从 12 个第三人称视角和一个第一人称视角下采集到的 5.2M 张彩色图片、2500 余段交互动作、131 种三元组和 196 个精细的物体网格模型，从而成为了双手多物体协作的一个知识库。

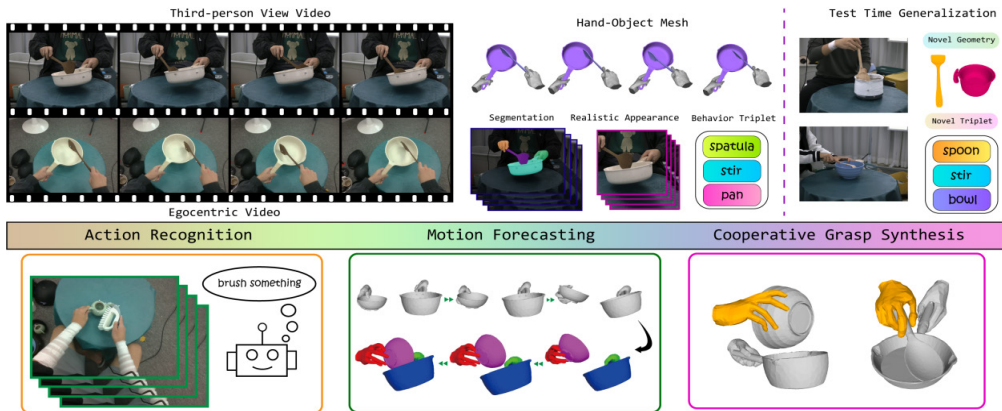


图 1 TACO 数据集特点和支持的基准任务

为了快速扩大数据规模，论文贡献了图 2 所示的一种基于彩色视频和光学动捕系统的全自动数据标注算法，在以低成本扩大数据集规模同时保证数据标注的高质量。该算法融合来自第三视角的视频和来自光学动捕系统的物体标志点坐标，用基于优化的算法得到手物网格序列，进而利用预训练的分割网络估算手物的掩码，并利用先进的图像补全模型生成去除标志点的图片。

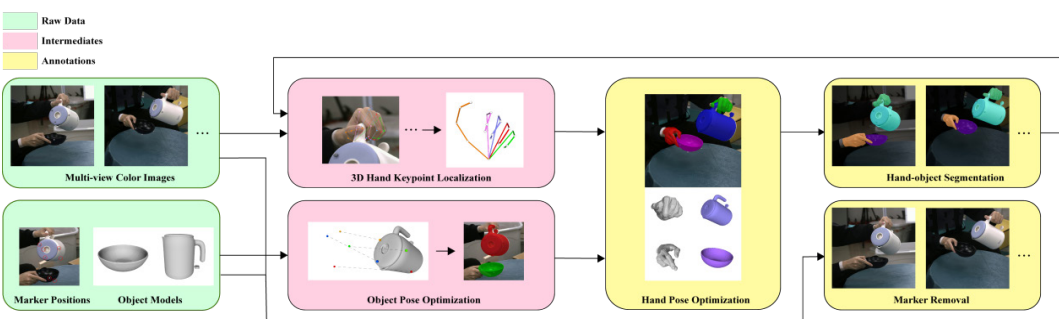


图 2 全自动数据标注算法

得益于 TACO 数据集丰富的动作模式和标注信息，该工作提出了三个关注可泛化手物交互理解与生成的基准任务——动作识别、动作预测和合作式抓取生成。三个基准任务中的大量实验证明了现有的技术方法在物体几何的泛化、物体类别的泛化和三元组的泛化上表现欠佳，这为今后的研究带来了新的挑战和机遇。

该成果研究论文：Liu, Y., Yang, H., Si, X., Liu, L., Li, Z., Zhang, Y., ... & Yi, L., “Taco: Benchmarking generalizable bimanual tool-action-object understanding”, CVPR 2024.

# Mimicking-Bench: 一个通过模仿人类学习通用的人形机器人和场景交互技能的评测基准

如今研究人形机器人与环境的交互技能是机器人学习领域的一个新兴课题。对此，使用传统的强化学习范式难以将学到的交互技能泛化到崭新的场景和物体形状上。一种可行的思路是让机器人从海量的人类数据中学习通用的交互技巧，然而受限于硬件实验成本的高昂，先前的工作仅局限于在特定的机器人硬件上研究少量特定的交互场景，这一科研领域中缺少一个大规模的、系统的、可复现的评测基准支持相关的算法研究。

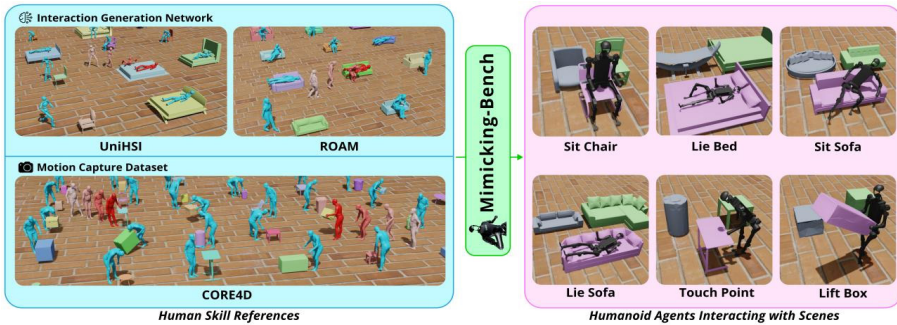


图 1 Mimicking-Bench 构建了人类交互技能的数据集，并设计出一套通用的人形机器人技能学习范式从中学习机器人的交互技能

如图 1 所示，为弥补这一研究空缺，弋力研究组提出了首个支持通过模仿人类数据学习通用的人形机器人和场景交互技能的大规模评测基准——Mimicking-Bench，涵盖 6 种人类日常的全身交互任务和 10.6K 种物体形状。利用计算机视觉和图形学领域中的最新科技成果，Mimicking-Bench 构建了综合真实和合成数据的大规模人类 - 环境交互数据集，覆盖全部的 6 个任务，包含 23.4K 段人类动作。为寻找从人类数据中学习机器人交互技能的核心技术挑战，Mimicking-Bench 调研了先前的技术方法并归纳出三个重要的技术环节：动作重定向、动作追踪和模仿学习，并将三个模块串联构成如图 2 所示的一整套通用的技能学习范式囊括多种先进的方法流程。

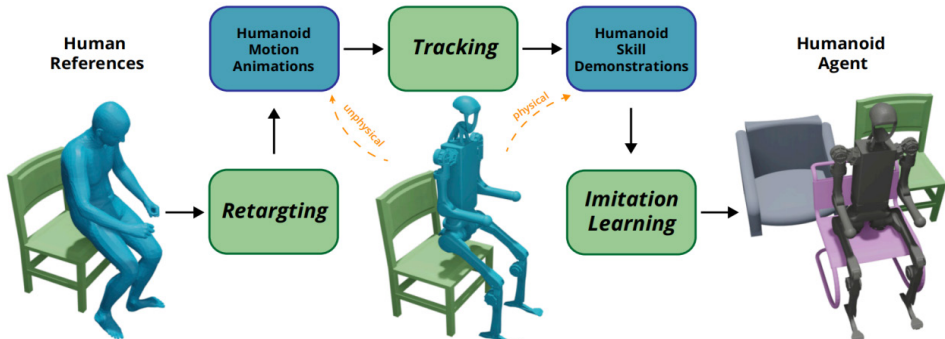


图 2 人形机器人从人类数据中学习交互技能的通用范式

Mimicking-Bench 支持两种评测模式：整套方法流程的评测和各模块算法的评测。全面的实验证明了每个模块算法的优劣均与整套范式的成败紧密相关。将各模块的最优算法相结合，整套技能学习范式让机器人都学到了相比强化学习更自然的动作和更高的任务成功率，证明了从人类数据中学习交互技能的巨大价值和能推动领域发展的潜力。

该成果研究论文：Yun Liu, Bowen Yang, Licheng Zhong, He Wang, Li Yi, “Mimicking-Bench: A Benchmark for Generalizable Humanoid-Scene Interaction Learning via Human Mimicking” , <https://arxiv.org/abs/2412.17730>.

# CORE4D：一个关于合作式物体重摆放的人 - 物 - 人交互数据集

多人合作搬运家具是人们日常生活中的常见行为，分析和生成这样的合作动作在虚拟现实、增强现实、人机合作和灵巧手操作等领域中有重要应用。然而囿于缺乏相关数据，迄今为止这些方法并未得到广泛研究。为填补数据的缺失，弋力研究组构建了一个大规模类别级的融合真实和合成数据的人 - 物 - 人交互数据集——CORE4D（图 1）。CORE4D 关注双人合作重摆放家用物体的行为，共计包含 4 种合作模式、6 种物体类别、3K 种物体形状和 11K 段交互动作。

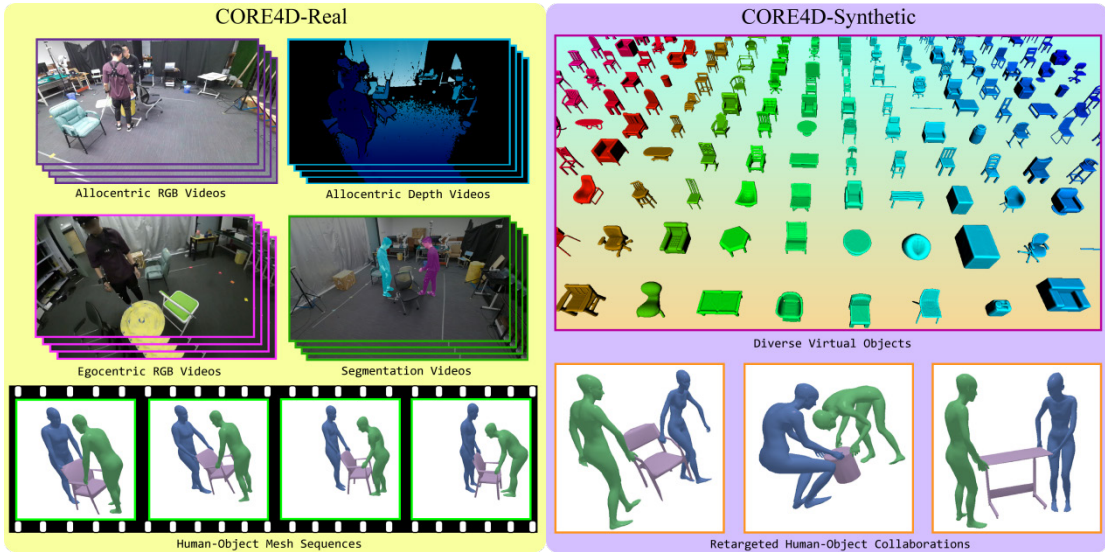


图 1 CORE4D 数据集由真实数据 (CORE4D-Real) 和合成数据 (CORE4D-Synthetic) 组成

为收集这些大规模的交互数据，弋力研究组提出了一个混合的数据获取方法，综合了真实世界中的光 - 惯混合动作捕捉和仿真环境中的新的合作重定向算法，由此收集了真实数据集 CORE4D-Real 和合成数据集 CORE4D-Synthetic。如图 2 所示，在 CORE4D-Real 中，每段合作动作的数据包含 4 个第三人称视角下的彩色视频和深度视频、一个第一人称视角下的彩色视频、由动作捕捉系统采集的人 - 物 - 人网格序列和第三人称视角下的掩码视频。图 3 所示的合作重定向算法将 CORE4D-Real 的合作动作重定向到大量新的物体形状上形成 CORE4D-Synthetic。

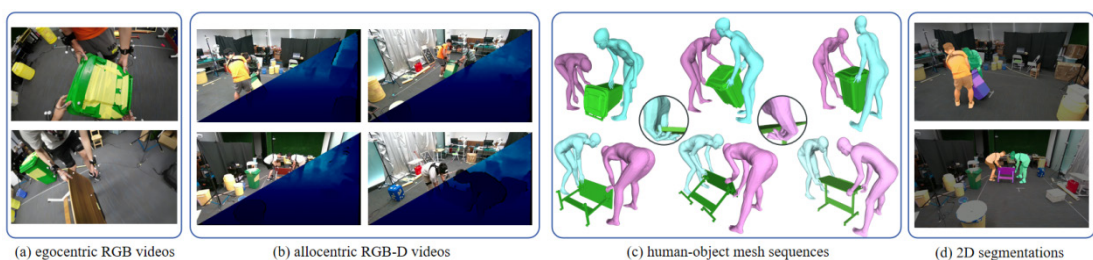


图 2 CORE4D-Real 数据模态

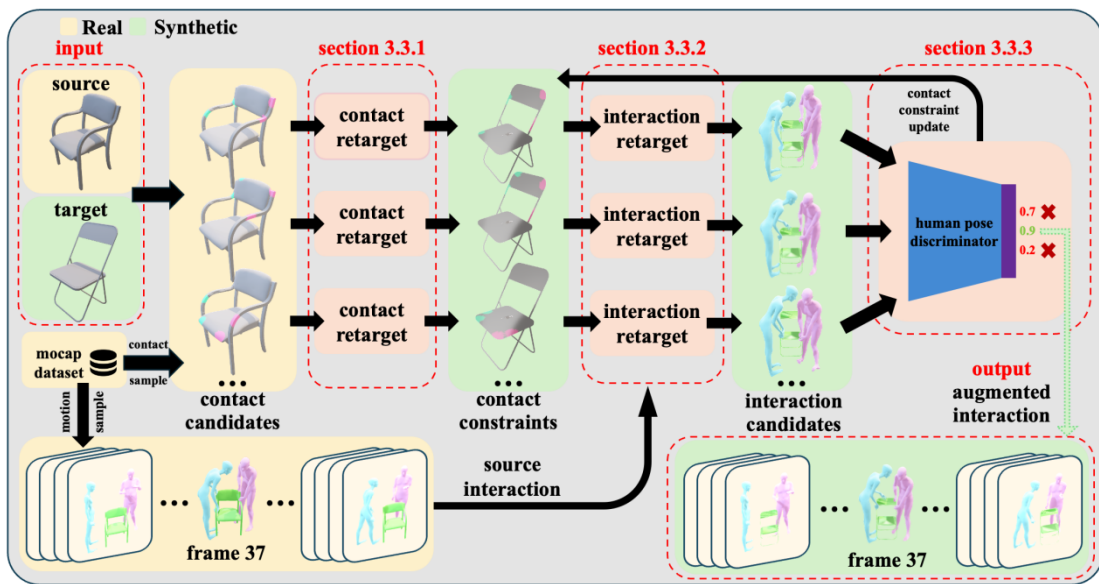


图 3 合作重定向算法

CORE4D 为人 - 物 - 人合作动作的理解和生成带来的新的研究机遇。弋力研究组在 CORE4D 数据集上提出了两个新的基准任务——动作预测和动作生成，测试了现有方法的表现并发现了它们面临的挑战。实验证明了合作重定向算法的有效性。

弋力研究组证实了 CORE4D 的两项应用：CORE4D-Synthetic 能提升现有的动作预测方法的效果，CORE4D 能支持人形机器人交互技能的学习。

该成果研究论文：Yun Liu, Chengwen Zhang, Ruofan Xing, Bingda Tang, Bowen Yang, Li Yi, “CORE4D: A 4D Human-Object-Human Interaction Dataset for Collaborative Object REarrangement”, <https://arxiv.org/pdf/2406.19353.pdf>.

# 仅基于可扩展多样化仿真数据的人 - 移动机器人交接学习

在人机交互领域，使移动机器人可靠地接收人类递交的物体（Human-to-mobile-robot 交接）是一个关键挑战。这项能力在医疗、工业等场景中尤为重要，但真实场景训练存在高昂成本和安全风险，而现有基于仿真的方法往往受限于数据生成的多样性与规模。

为此，弋力研究组提出了一种自动化框架，解决 Human-to-mobile-robot 交接中的关键问题。首先，他们设计了一条自动化场景生成流程，利用大规模仿真数据集和各种生成方法，生成多样化的全身人类动作和交互场景，构建了超过 10 万种交接实例的数据集，支持复杂的任务训练。其次，他们设计了一种优化的专家演示生成方法，通过考虑了若干安全性限制，以及强化视觉输入与动作输出的关联性，提升了交互演示的安全性和模仿效果。最后，他们提出了一种四维模仿学习方法，将人类连同物体的视觉信息相结合，生成协调的底盘 - 机械臂动作策略，如图 1 所示。

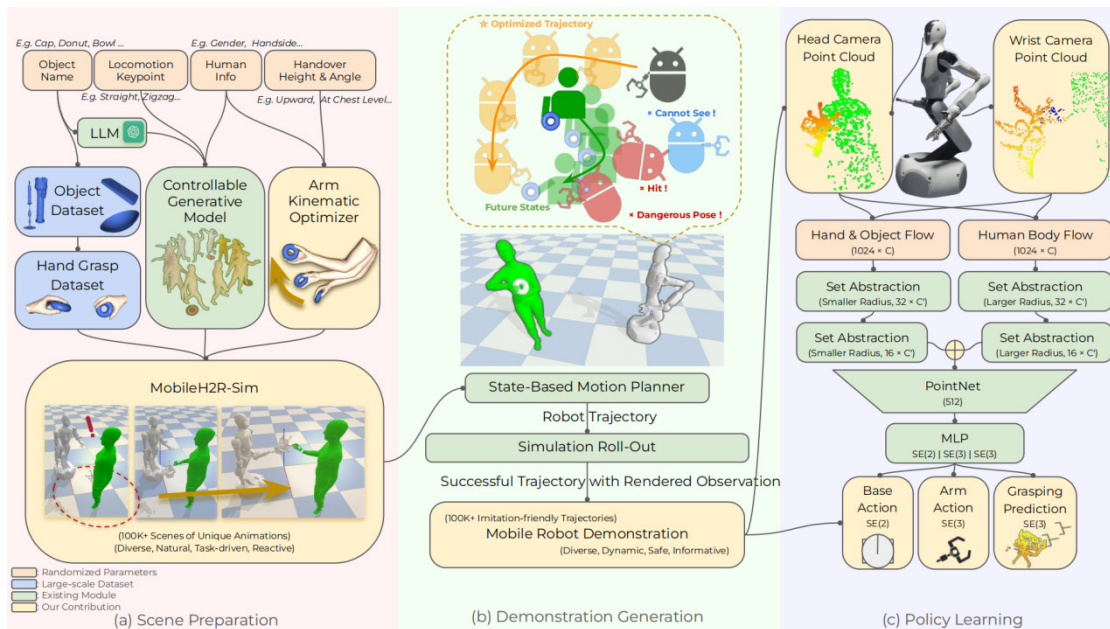


图 1 MobileH2R 整体框架图，可以有效地生成海量人机交接场景，提供高质量安全的易于学习的专家演示，以及有效快速的 4D 模仿学习

实验表明，该研究组的方法在无需真实人类数据或机器人演示的情况下，成功率提升至少 15%，碰撞率减少约 1/3，并能有效迁移至真实机器人系统，为任务的安全性与通用性提供了重要支持。

	m0			n0			s0		
	Success	Time	AS	Success	Time	AS	Success	Time	AS
Grasp Selection + Trajectory Planning	40.20	11.75	8.70	34.80	12.83	5.02	40.97	9.61	14.71
GenH2R	4.80	6.93	2.58	3.10	8.66	1.31	40.97	4.93	27.5
GenH2R (reprod.)	46.80	<b>6.58</b>	26.27	32.90	7.03	17.48	61.11	<b>4.67</b>	42.09
Ours	<b>63.80</b>	6.82	<b>34.81</b>	<b>53.40</b>	<b>6.94</b>	<b>28.68</b>	<b>77.78</b>	5.23	<b>50.65</b>

图 2 部分实验结果图，在所有的测试集上，他们的模型都能对 baseline 模型取得大幅度的领先，其中 AS 表示平均成功 (Average Success)

该成果研究论文：Zifan Wang, Ziqing Chen, Junyu Chen, Jilong Wang, Yuxin Yang, Yunze Liu, Xueyi Liu, He Wang, Li Yi, “MobileH2R: Learning Generalizable Human to Mobile Robot Handover Exclusively from Scalable and Diverse Synthetic Data” , arXiv:2501.04595.

# 预测与行动：基于联合扩散去噪过程的视觉策略学习

扩散生成模型在图像、视频生成取得了巨大的成功，展现出了对物理世界的良好理解。同时，扩散策略（diffusion policy）也在机器人任务中取得了巨大的成功。使用扩散视频生成模型来帮助构建机器人基础模型是一条有前景的道路。陈建宇团队发现，扩散生成模型和扩散策列在技术上都采用同样的去噪过程，因此提出使用联合去噪策略学习模型 PAD，将未来图像生成和动作生成融合到一个网络中，从而让视频预测能力帮助机器人学习。

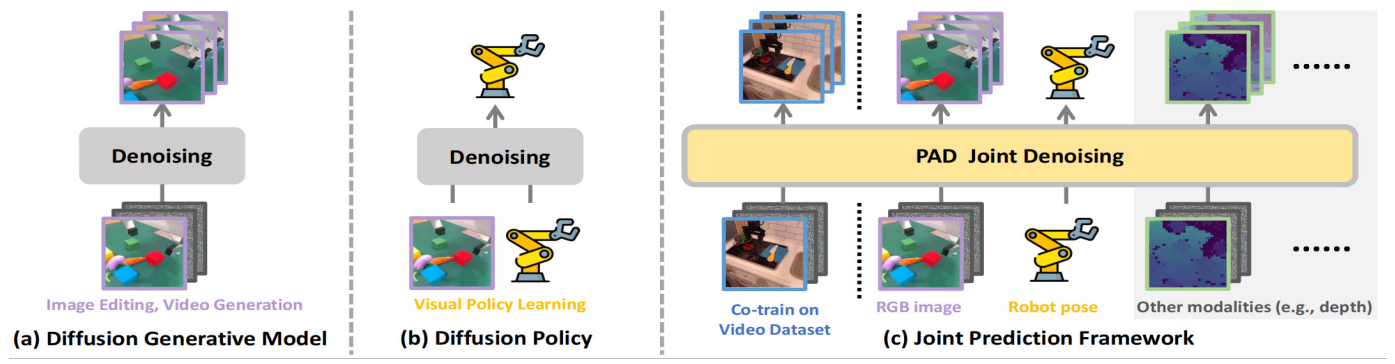


图 1 PAD 将扩散生成模型和扩散策略融合到同一网络

陈建宇研究组使用多层 Diffusion Transformer (DiT) 结构来简洁地完成联合预测任务。RGB 观测、机器人位姿、深度等各种模态数据被映射到相同的空间中，通过简单的输入令牌拼接 (token) 和注意力遮盖机制 (attention-mask) ，机器人数据可以与动作缺失的视频数据进行联合训练。

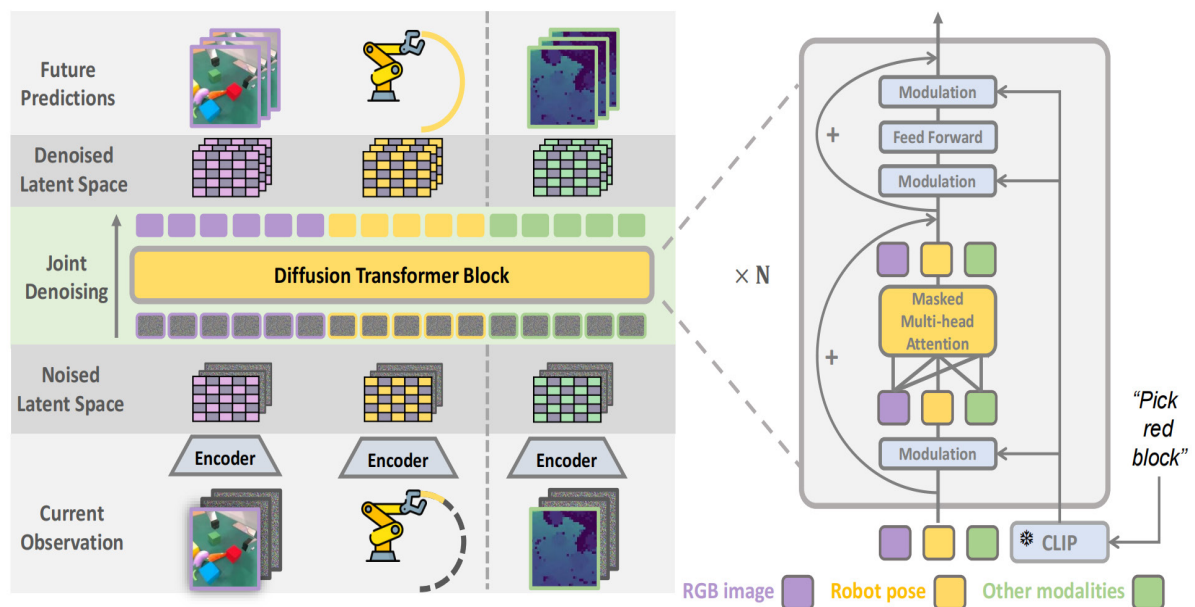


图 2 PAD 输入当前 RGB 图，机器人位置，深度图，进行联合去噪过程

陈建宇研究组利用视觉策略学习进行了大量实验。他们使用一个视觉语言输入的策略解决了 metaworld 环境中的所有 50 个任务，获得了相对于基线算法 26% 的提升。在真实世界任务中，在未知任务也获得了 28% 的成功率提升。同时该研究组发现，PAD 模型呈现出良好的 scaling 性质，可以通过提升训练模型的计算量来提升策略性能。

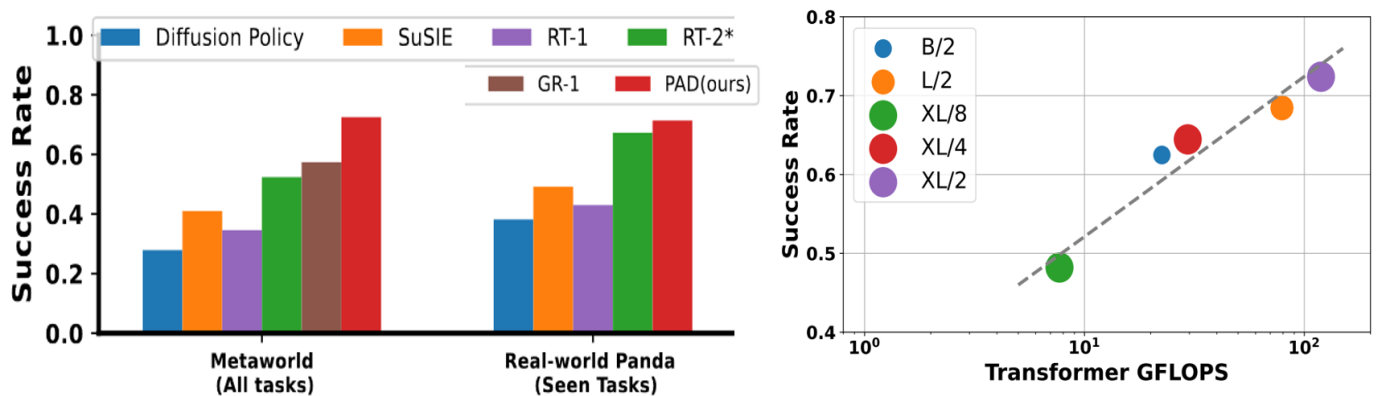
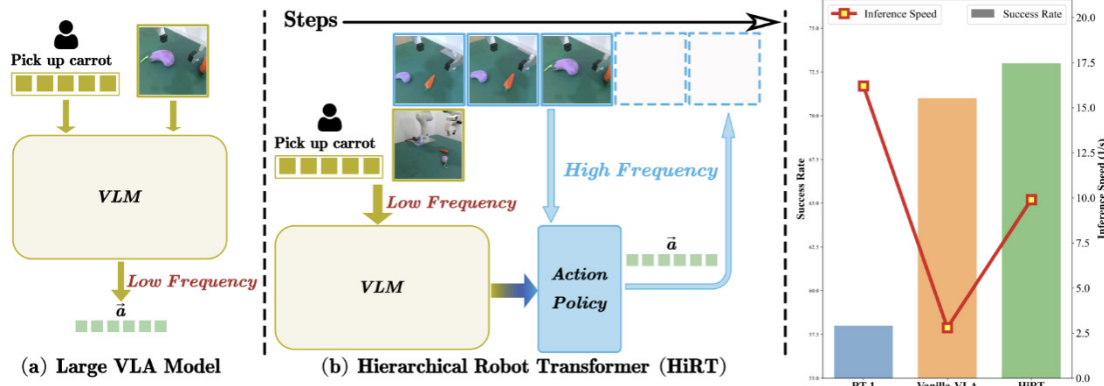


图 3 仿真环境、真实环境的性能对比图。Scaling 实验图

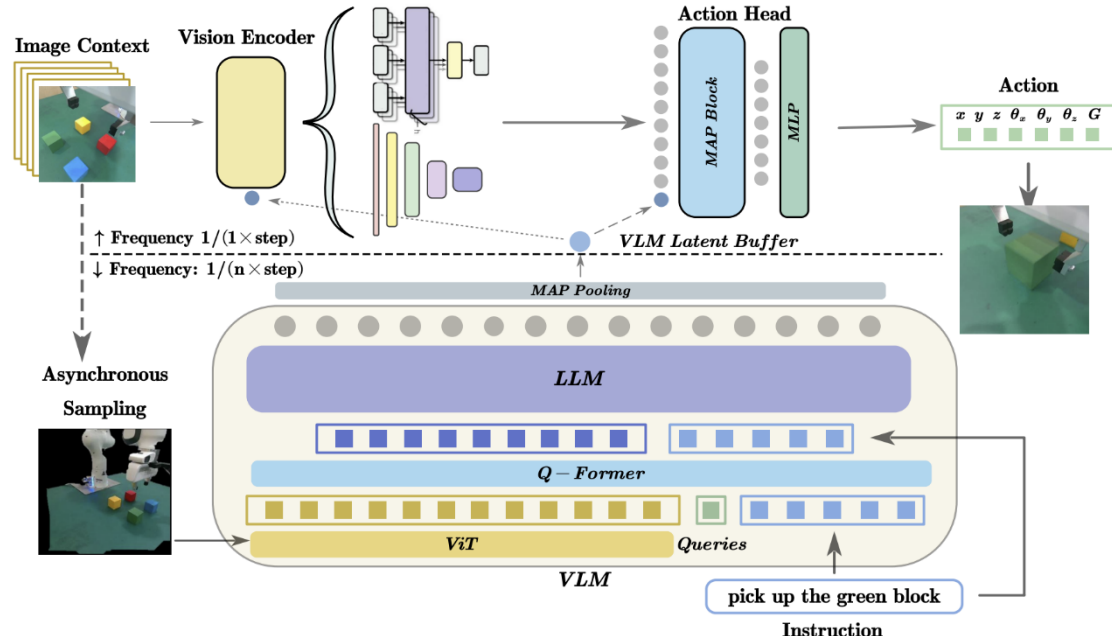
该成果研究论文：：Guo Y, Hu Y, Zhang J, et al, “Prediction with Action: Visual Policy Learning via Joint Denoising Process” , NeurIPS 2024.

# 通过层次化的机器人变压器模型增强机器人操作控制

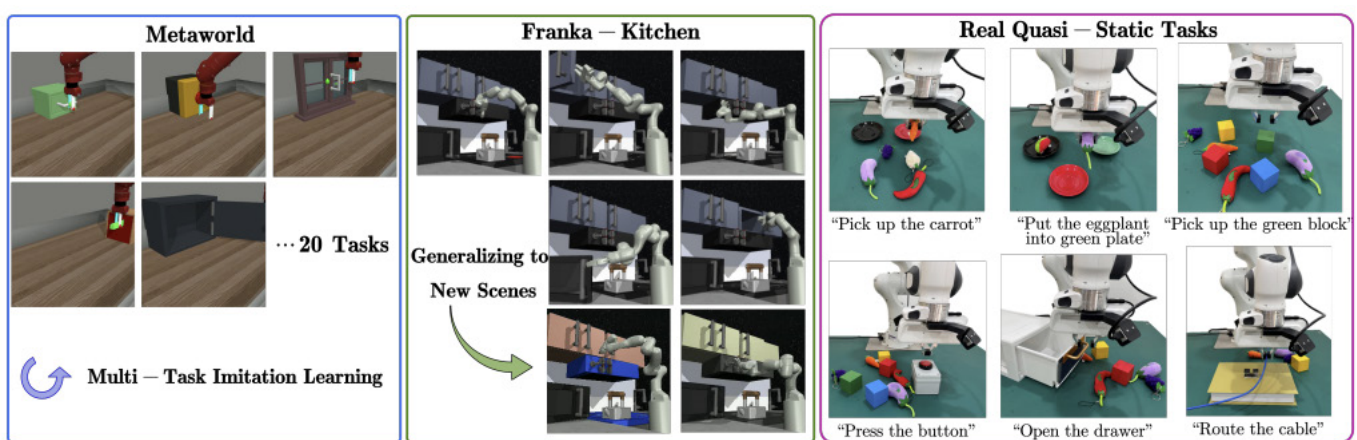
大型视觉语言模型 (VLM) 虽然在机器人控制中展现了巨大的潜力，但由于大模型计算成本高、推理速度较慢，可能导致机器人动作延迟，执行速度慢或在动态跟随任务上表现较差。



陈建宇研究组，提出一种新颖的机器人操作控制模型框架 HiRT，这是一种分层机器人变压器框架，旨在通过灵活调节频率和性能，实现高效的机器人控制。与需要高计算成本和低推理速度的基于传统的视觉语言模型的方法不同，HiRT 通过在低频率下运行 VLM 来处理静态任务，并结合高频率视觉策略实现快速与环境动态交互。实验表明，HiRT 在静态任务中将控制频率提升了一倍，并在动态任务中将成功率从 48% 提高到 75%。



在实验中，该研究组在仿真的机械臂环境和真实场景的机械臂环境中进行了大量实验。在静态操作类任务中，新的方法展示出了模型具有很好的泛化能力，例如模型能够抓取训练数据中未涉及的新物体，并且能够通过调整异步频率平衡模型推理速度的性能，实现兼顾大模型泛化能力和小模型快速推理的目标。同时在真机环境中的动态任务上，新方法具有相比于基线方法更高的成功率和完成速度，例如可以更快地跟随移动的目标物体，这体现出提升具身模型的推理速度能够使机器人更好地在动态场景中执行任务。



该成果研究论文：Zhang J, Guo Y, Chen X, et al, “Hirt: Enhancing robotic control with hierarchical robot transformers” , CORL 2024.

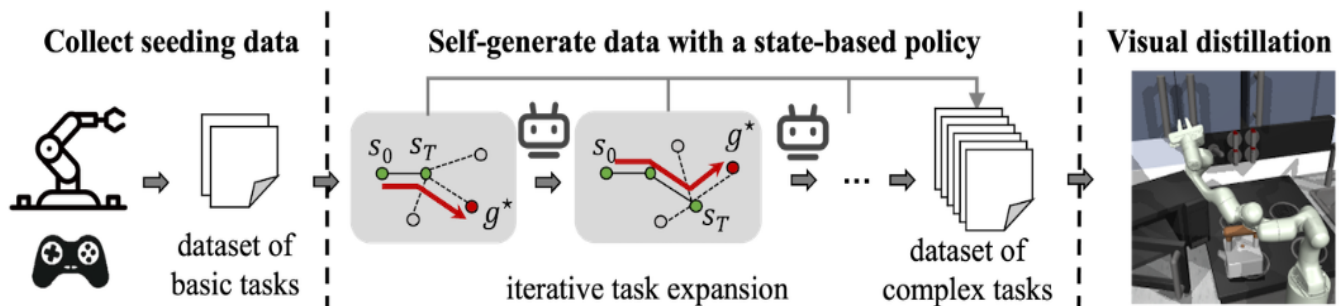
# 通过机器人生成数据学习可泛化的视觉机器人操作

基于海量数据预训练基础模型已成为人工智能研究的趋势。然而，如何收集足够且高质量的机器人轨迹数据依然面临挑战。相比于图像或文本数据，机器人轨迹的收集更为昂贵，因为它们不仅需要涵盖机器人的状态信息，还必须包含有效的控制动作。传统方法往往依赖于人类专家进行数据收集，限制了数据的多样性和数量。

该文提出“机器人自我教学”（Robot Self-Teaching, RST）的框架，使机器人能够自我生成有效且丰富的训练数据，从而减少对于人类专家采集数据的依赖。RST 训练一个独立的数据生成策略，使机器人能够自动生成复杂性不断增加的轨迹数据。其关键创新在于引入了任务扩展机制，该机制利用数据生成策略的价值函数作为进展指标，逐步识别可达且具有挑战性的目标状态。通过不断发现和生成难度合适的新任务，RST 框架实现了一个开放式的任务课程，使其最终学习到的视觉控制策略能够在零样本条件下，对从未见过的目标具有强组合泛化能力。

吴翼研究组在两个测试平台上验证了机器人自我教学框架。在多物块堆积任务中，RST 得到的视觉策略在零样本测试中取得了超过 40% 的成功率。在 Franka kitchen 中，RST 能够实现需要与厨房中四个组件互动的长期目标，而基于规划的离线强化学习基线则完全无法解决这些复杂任务。

该成果研究论文：Yunfei Li, Ying Yuan, Jingzhi Cui, Haoran Huan, Wei Fu, Jiaxuan Gao, Zekai Xu, Yi Wu, “Robot Generating Data for Learning Generalizable Visual Robotic Manipulation”, IROS 2024.



# 首个三维扩散策略模型，提高模仿学习性能上限

此项工作介绍了 3D Diffusion Policy (DP3)，这是一种新型的视觉模仿学习算法，它通过结合了 3D 视觉表示和扩散策略的优势，显著提升了机器人在模拟和现实世界任务中的学习效率和泛化能力。DP3 利用从稀疏点云中提取的紧凑 3D 视觉表示，并通过条件扩散模型将随机噪声转化为连贯的动作序列。在 72 项模拟任务和 4 项真实机器人任务的实验中，DP3 仅用少量的演示就实现了高成功率，并且在空间、视角、外观和实例等多个方面展现了出色的泛化能力。此外，DP3 在真实机器人实验中很少违反安全要求，与基线方法相比，显示出更好的安全性。论文强调了 3D 表示在现实世界机器人学习中的关键重要性，并且提供了视频、代码和数据。

该成果研究论文：Yanjie Ze, Gu Zhang, Kangning Zhang, Chenyuan Hu, Muhan Wang, Huazhe Xu, “3D Diffusion Policy; Robotics: Science and Systems” , RSS 2024.

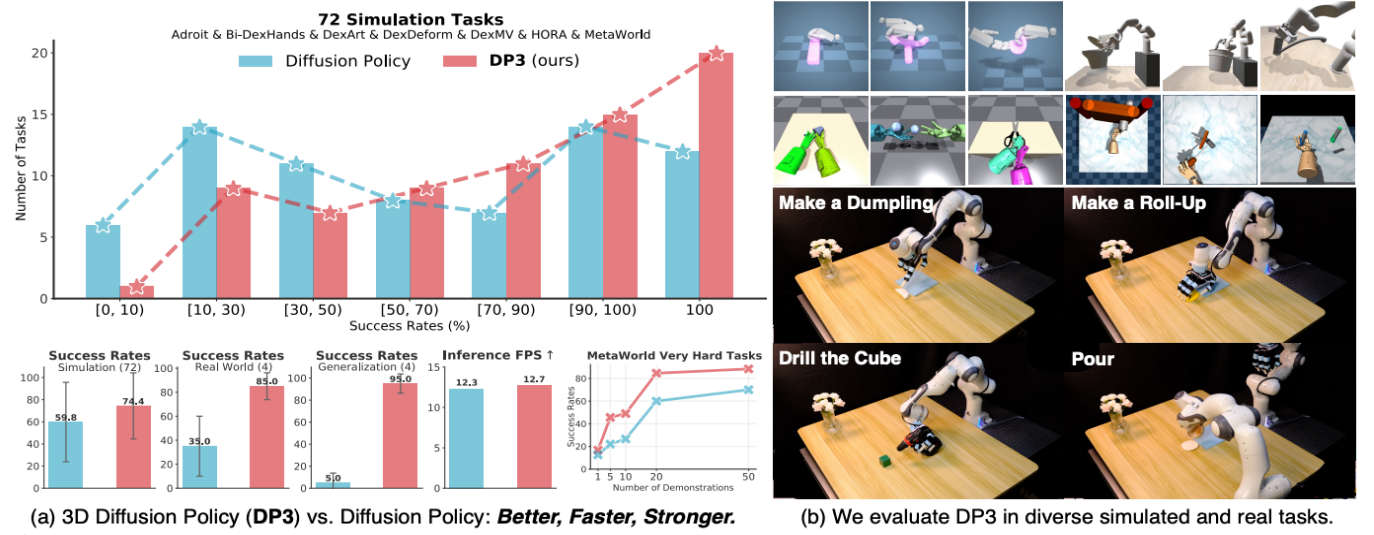
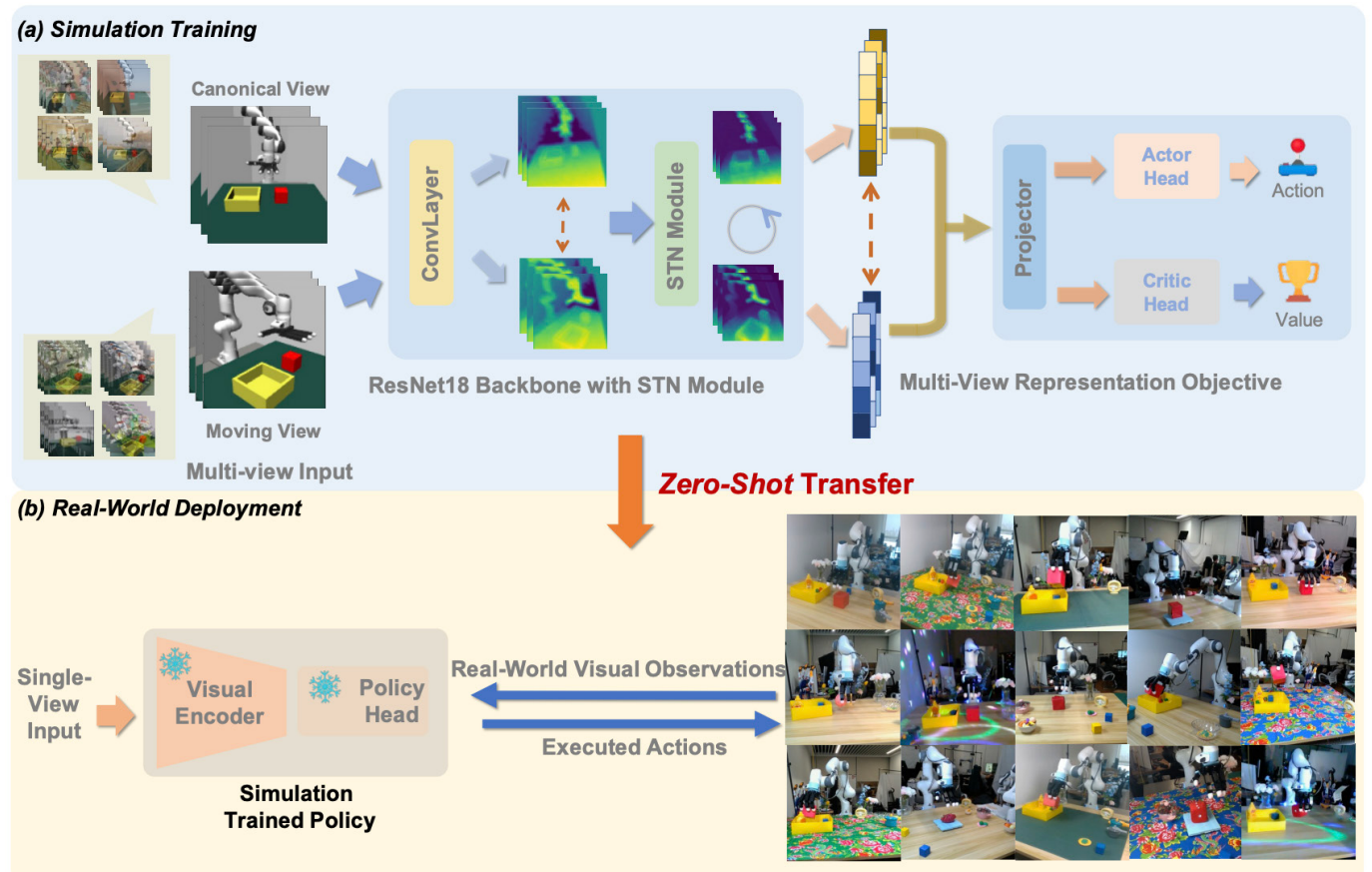


图 1 DP3 和 DP 算法的性能比较、仿真环境以及真机测试

# 学习在任何地点操作：一种视觉泛化强化学习框架

此项工作介绍了 Maniwhere，这是一个为视觉强化学习设计的泛化框架，它通过结合多视角表示学习方法和空间变换网络（STN）模块，使得训练出的机器人策略能够在多种视觉干扰类型下实现泛化。此外，论文还采用了基于课程的随机化和增强方法来稳定强化学习训练过程，并加强视觉泛化能力。通过在 8 个精心设计的任务和 3 个硬件平台上的实验，Maniwhere 在模拟和真实世界场景中都显示出了强大的视觉泛化和 sim2real 转移能力，显著优于现有的最先进方法。论文的实验结果表明，Maniwhere 能够在只有少量演示的情况下，有效地处理各种视觉场景，并且能够零样本转移到真实世界环境中。

该成果研究论文：Zhecheng Yuan, Tianming Wei, Shuiqi Cheng, Gu Zhang, Yuanpei Chen, Huazhe Xu, “Learning to Manipulate Anywhere: A Visual Generalizable Framework For Reinforcement Learning Conference on Robot Learning” , CoRL 2024.

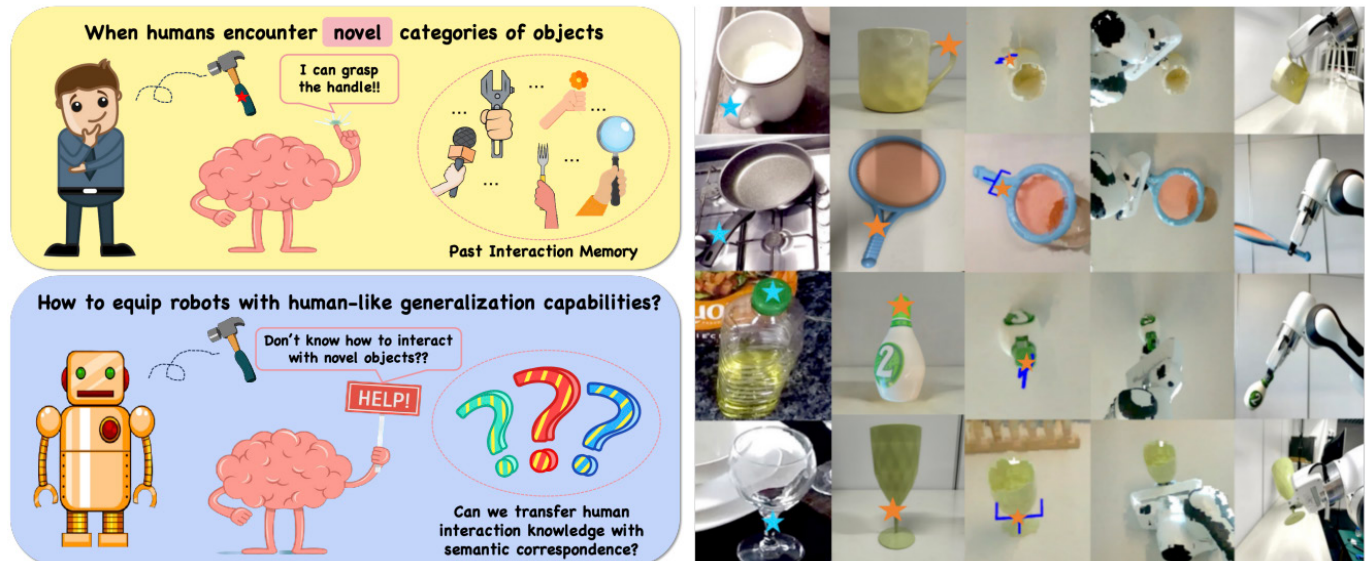


通过 sim2real 的训练，实现任意视角、背景、光线的抓取

# Robo-ABC: 通过语义对应实现跨类别的可供性泛化，用于机器人操控

此项工作介绍了 Robo-ABC，一个创新的视觉模仿学习框架，它通过结合 3D 视觉表示和扩散策略，赋予机器人在操纵任务中对未见类别对象的零样本泛化能力。Robo-ABC 的核心在于利用从人类视频中提取的“可操作性 (affordance) 记忆”来识别和转换接触点，从而在没有人工标注、额外训练或人类先验知识的情况下，实现对新对象的操纵。实验结果表明，Robo-ABC 在模拟和真实世界任务中，与现有技术相比，显著提高了视觉可供性检索的准确性，并且在真实世界中的任务中达到了 85.7% 的成功率，展示了其在开放世界中机器人学习中的巨大潜力。

该成果研究论文: Yuanchen Ju, Kaizhe Hu, Guowei Zhang, Gu Zhang, Mingrun Jiang, Huazhe Xu, “Robo-ABC: Affordance Generalization Beyond Categories via Semantic Correspondence for Robot Manipulation; European Conference on Computer Vision” , ECCV 2024.



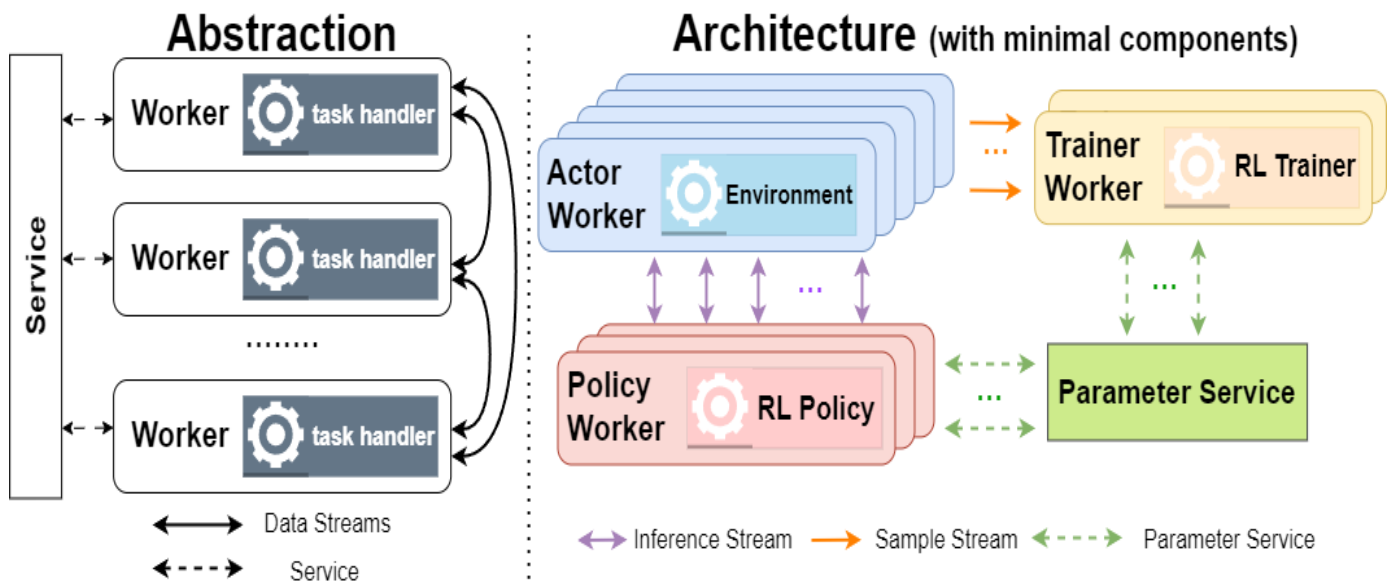
机器人通过类比人类的思维方式，找到跨物体泛化能力，从而操作未见过的物体

## 二、强化学习

主要完成人：吴翼研究组

### 将强化学习扩展至超过一万个核心

大规模的强化学习训练是找到解决复杂任务的智能策略的关键。如何高效可扩展地在分布式集群上部署大规模强化学习训练是一个重要且亟待解决的问题。吴翼研究组在强化学习训练系统抽象层面提出了创新设计方案，自主设计并开发了能够部署在一万个计算核心上进行强化学习的分布式系统 SRL。该系统主要有以下三个创新点：1. 提出了强化学习算法数据流的抽象框架，并且基于此框架设计了解耦计算任务、具有高扩展性的分布式系统；2. 针对强化学习的每种计算任务，提出了“环境实例环”、“数据预装载”、“动态批量大小”等优化方法，独立提升各计算任务的吞吐量；3. 在实现上，通过解耦强化学习算法系统与代码模块，减少了支持新算法所需的代码量，增强了系统应用的灵活性。在实验表现上，该系统吞吐量和样本效率能够达到最佳开源系统的 21 倍，达到 OpenAI 闭源系统的 5 倍。该文填补了大规模分布式强化学习系统的缺失，是世界上首个达到 OpenAI 训练规模的开源框架，为工业界和学术界提供了高效、易用的分布式强化学习系统解决方案。



该成果研究论文：Zhiyu Mei, Wei Fu, Jiaxuan Gao, Guangju Wang, Huachen Zhang, & Yi Wu, “SRL: Scaling Distributed Reinforcement Learning to Over Ten Thousand Cores”, ICLR 2024.

# 三、机器学习

主要完成人：李建研究组、房智轩研究组

## OpenFE++：高效全自动特征生成器

特征工程（特征生成），作为机器学习应用中的核心环节，在提升模型性能方面发挥着至关重要的作用，特别是在处理表格数据和时间序列数据时，其重要性尤为突出。传统特征工程方法主要依赖于领域专家的知识和经验，通过人工设计和构建特定任务的特征，这一过程不仅耗时耗力，而且难以保证特征的最优性。为应对这一挑战，李建研究组在 ICML 2023 发表了一个高效的自动化生成特征的方法 OpenFE。OpenFE 被应用在很多机器学习应用和比赛中（如 Kaggle 比赛），并取得了突出的成果。然而，随着机器学习任务中原始特征维度的不断增加以及时间序列长度的持续增长，自动化特征生成面临着搜索空间迅速膨胀的难题。在庞大的候选特征空间中，如何高效地识别出真正有效的特征，是当前自动化特征生成方法亟待解决的关键难题。

针对目前的问题，李建研究组在 OpenFE 框架的基础上进行了创新性改进，提出了 OpenFE++ 这一高效全自动特征生成器。该框架的核心创新在于引入特征交互机制，通过直接生成具有潜在意义的候选特征集合，有效避免了传统方法中遍历整个搜索空间的低效问题。OpenFE++ 支持表格数据和时间序列数据上的自动特征挖掘，能够显著提升 GBDT（例如 LightGBM）和各类时序神经网络模型（例如 TimesNet, iTransformer 等）的效果。并且 OpenFE++ 极大提高了搜索效率，例如在三阶特征挖掘上（包含 1 亿个候选特征），OpenFE++ 仅保留了 1% 的候选特征并且在 30 分钟内即可完成有效特征的提取，而之前的方法难以在一天内完成。该成果发表于数据挖掘会议 SDM 2025。

该成果研究论文：Lei Wang, Yu Shi, Yifei Jin, Jian Li, “OpenFE++: Efficient Automated Feature Generation via Feature Interaction”, In Proceedings of SDM 2025.

Table 1: Results on tabular task. Best results are in **bold**, and underline denotes the second best results. We repeat each experiment 10 times. ‘/’ and ‘-’ signifies not applicable to corresponding metric or dataset, and time represents the minutes taken to generate features. **X** denotes exceeding the time limit (24hours).

Dataset	CA		MI		ME		TE		BR		DI		NO		VE		JA		CO		Rankings		
	Metric	RMSE ↓	Time ↓	RMSE ↓	Time ↓	RMSE ↓	Time ↓	AUC ↑	Time ↓	Acc. ↑	Time ↓	Acc. ↑	Time ↓	Acc. ↑	Time ↓								
Base	0.432	/	0.744	/	1128.4	/	0.671	/	0.756	/	0.731	/	0.996	/	0.925	/	0.721	/	0.969	/	0	0	0
FCTree	0.440	2.3	0.744	1378	1096.4	6.9	0.670	5.7	0.751	330	0.731	6.8	0.996	11	<u>0.927</u>	74	0.721	40	0.971	160	0	0	0
SAFE	-	-	-	-	-	-	0.674	5	0.749	6.0	0.729	0.9	0.996	1.3	0.926	10	-	-	-	-	-	-	0
AutoFeat	0.444	0.2	0.744	23	7171.9	20.6	0.672	32.1	0.747	573	0.732	37	0.994	49	0.925	535	0.721	354	0.968	1284	0	0	0
AutoCross	-	-	-	-	-	-	0.667	101	0.765	1078	0.727	169	0.994	148	0.921	146	-	-	-	-	-	-	0
FETCH	0.430	98.1	<b>X</b>	-	1130.6	1202	0.673	150	<b>X</b>	-	0.731	241	0.996	325	<u>0.927</u>	1417	0.720	528	<b>X</b>	-	-	-	0
OpenFE	0.421	0.1	0.744	47	<b>982.0</b>	0.4	0.680	1.3	0.786	28	0.888	1.9	<b>0.997</b>	5.8	<b>0.928</b>	6.8	<u>0.729</u>	5.1	0.974	82.2	2	2	2
Ours (k=2)	<b>0.412</b>	0.2	<b>0.742</b>	8.5	<b>979.7</b>	0.5	<b>0.682</b>	0.5	<b>0.803</b>	3.1	<b>0.892</b>	0.7	<b>0.997</b>	0.7	<b>0.927</b>	1.1	<b>0.730</b>	1.4	<b>0.977</b>	13.8	5	5	5
Ours (k=3)	<b>0.410</b>	0.3	<b>0.739</b>	35	1119.6	2.3	<b>0.683</b>	0.5	<b>0.803</b>	41	<b>0.892</b>	1.0	0.996	2.8	<u>0.927</u>	1.2	0.728	1.6	<b>0.978</b>	23.8	6	6	6

Table 2: Results on time-series task. The background color reflects the degree that OpenFE++ ( $\mathcal{T}_{lag}$ ) improves performance, and the best results are shown in **bold**. Imp Count represents the number of enhanced experiments.

Models	PatchTST				TimesNet				iTransformer				NLinear			
	MSE		MAE		MSE		MAE		MSE		MAE		MSE		MAE	
ILI	24	0.6601	0.573	0.7471	0.624	0.6963	0.619	0.6531	0.561	0.6917	0.598	0.6601	0.551	<b>0.4664</b>	<b>0.442</b>	
	36	0.6517	0.614	0.5260	0.553	0.4975	0.542	<b>0.4781</b>	0.527	0.5076	0.546	0.7204	0.611	0.5408	<b>0.505</b>	
	48	0.6922	0.661	0.6729	0.651	0.7138	0.653	0.5789	0.599	0.5862	0.595	0.7069	0.644	<b>0.5617</b>	<b>0.551</b>	
	60	0.7337	0.712	0.8996	0.804	0.8256	0.723	0.6729	0.659	0.6978	0.664	0.6488	0.625	<b>0.5961</b>	<b>0.568</b>	
ECL	96	0.3173	0.398	0.3268	0.426	0.3476	0.442	0.2908	0.395	0.2781	0.390	0.2988	0.409	<b>0.2654</b>	<b>0.376</b>	
	192	0.3456	0.414	0.4094	0.475	0.3697	0.453	0.3359	0.423	0.3150	0.412	0.3086	0.415	<b>0.3032</b>	<b>0.410</b>	
	336	0.4157	0.450	0.4430	0.496	0.4375	0.488	0.3689	0.443	0.3568	0.437	0.3357	0.438	<b>0.3242</b>	<b>0.420</b>	
	720	0.5038	0.516	0.4436	0.497	0.4605	0.503	0.4966	0.524	0.4642	0.507	0.3268	0.427	<b>0.2904</b>	<b>0.402</b>	
Traffic	96	0.1749	0.253	0.1545	0.250	0.1542	0.245	0.1503	0.231	<b>0.1408</b>	<b>0.223</b>	0.2554	0.340	0.1591	0.248	
	192	0.1643	0.246	0.1673	0.261	0.1553	0.244	0.1458	0.228	<b>0.1399</b>	<b>0.221</b>	0.2237	0.309	0.1592	0.245	
	336	0.1686	0.254	0.1684	0.260	0.1576	0.252	0.1440	0.232	<b>0.1422</b>	<b>0.229</b>	0.2122	0.301	0.1563	0.247	
	720	0.2008	0.275	0.1951	0.289	0.1806	0.277	0.1606	0.250	<b>0.1598</b>	<b>0.247</b>	0.2330	0.320	0.1740	0.263	
Weather	96	<b>1.27e-3</b>	<b>2.60e-2</b>	1.48e-3	2.84e-2	1.48e-3	2.84e-2	1.34e-3	2.69e-2	1.29e-3	<b>2.60e-2</b>	1.30e-3	2.72e-2	1.32e-3	2.65e-2	
	192	1.60e-3	2.99e-2	1.76e-3	3.11e-2	1.64e-3	3.03e-2	1.60e-3	<b>2.98e-2</b>	<b>1.59e-3</b>	<b>2.98e-2</b>	1.97e-3	3.41e-2	1.61e-3	3.04e-2	
	336	1.79e-3	3.19e-2	1.80e-3	3.19e-2	1.76e-3	<b>3.03e-2</b>	<b>1.72e-3</b>	3.12e-2	<b>1.72e-3</b>	3.12e-2	1.91e-3	3.31e-2	1.87e-3	3.28e-2	
	720	2.22e-3	3.58e-2	2.26e-3	3.60e-2	2.19e-3	3.53e-2	2.19e-3	3.55e-2	2.16e-3	<b>3.51e-2</b>	2.27e-3	3.61e-2	<b>2.12e-3</b>	<b>3.51e-2</b>	
Imp Count	-	-	-	-	12	12	-	-	-	11	11	-	-	15	16	

# 具有有限耐心臂的多臂老虎机模型的研究

多臂老虎机 (MAB)，是一种用于描述需要学习未知信息的决策问题的抽象模型。在其典型应用中，算法尝试选择最有回报的臂，而这些臂被动地遵从并接受算法的安排。然而在很多实例中，某些利益驱动的臂可以决定其是否参与。如果参与不能带来足够的收益，它们则有动机退出。例如，考虑一个数据集标注的众包场景，参与标注任务的众包工人会因他们提供的每个标注获得报酬。众包系统通常会持续分配任务给那些已经证明自己能力的工人，而可能忽视其他人。由于只有在任务完成后才能获得报酬，某些工人可能会长时间没有收到任务，从而导致他们无法从平台获得收入。他们可能会失去耐心，转而寻找其他收入来源。

房智轩研究组提出了具有有限耐心臂的多臂老虎机模型，率先对上述现象进行了简单而有力的刻画，并对该模型进行了全面的研究。他们引入了负载因子的概念作为对臂的总体耐心程度的度量。首先，他们以信息论的方法证明了负载因子严格高于某阈值的情况下，不存在任何有效的算法（有效是指具有次线性的累积后悔值）。其次，他们在负载因子低于该阈值的情况下，对常用的典型 MAB 算法进行了完备的理论分析。特别地，他们基于布朗桥的性质分析了 UCB 算法的行为，为 SE 算法构造了困难实例，从而说明了已有的算法在新的模型中没有有效的理论保证。

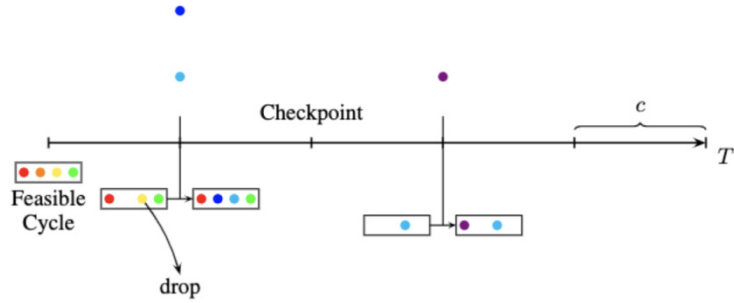


图 1 FC-SE 算法的运行示例

为此，房智轩研究组提出了 FC-SE 算法，在负载因子低于前述阈值的情况下保证了次线性的累积后悔值。该算法受启发于网络领域中对于信息时效性 (Age of Information) 的研究工作，构造可行循环 (Feasible Cycle) 以权衡对于各个臂的探索频率。另外，他们研究了一个更加复杂和通用的模型：允许新的臂随时加入。他们设计了 FC-Entry 算法，并证明了该算法在此模型中具有有效的理论保证。最后，仿真实验结果表明，FC-SE 算法的表现显著优于经典的 UCB、SE 算法，而 FC-Entry 算法也同样具有收敛的累积后悔值曲线。

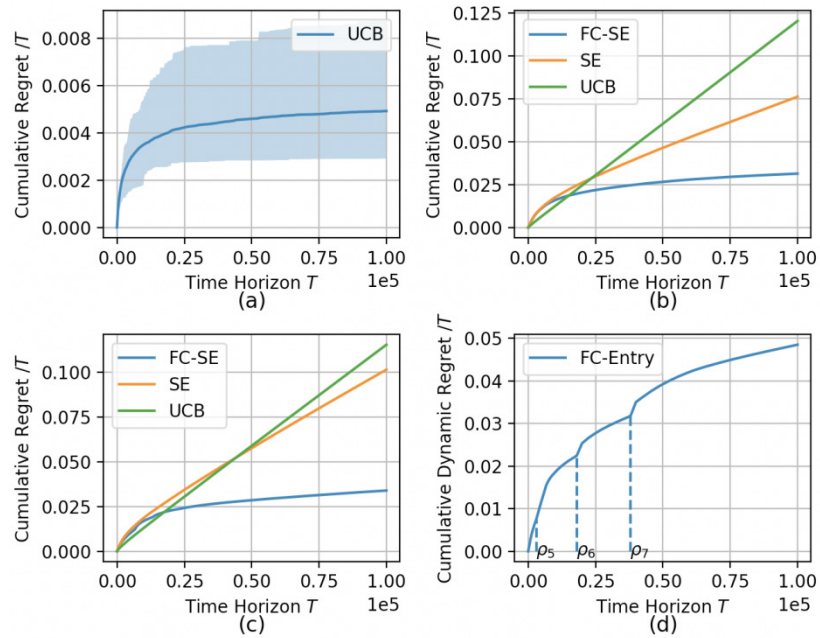


图 2 仿真实验结果——累积后悔值曲线图

该成果研究论文: Yuming Shao and Zhixuan Fang, “On Multi-Armed Bandit with Impatient Arms”, Proceedings of the

41st International Conference on Machine Learning, PMLR 235:44429-44473, 2024.

## 四、大模型

主要完成人：徐葳研究组、吴翼研究组

### 基于高效状态管理实现大模型训练中的快速故障恢复

FFtrainer 是一个为增强大语言模型 (LLM) 训练鲁棒性而设计的系统。FFtrainer 消除了冗余的故障恢复瓶颈，将平均修复时间 (MTTR) 缩短至数十秒，并在不影响正常训练性能的情况下，利用原本未使用的网络带宽进行模型检查点 (CKPT) 和训练数据的分发。他们设计了一个轻量级的集体通信库 (LCCL)，简化了网络协议栈并加速了跨节点的重连。通过使用一个集中式状态控制器，FFtrainer 能够高效管理工作节点的流量，仅在训练通信的高峰期传输模型检查点和训练数据。

图 1 介绍了 FFtrainer 在正常 / 故障情况下的工作流程。 $\{rd, rp, rt\}$  表示工作节点的角色定位。在每次迭代中，工作节点向状态控制器发送心跳 (①)，并在数据并行组的邻近节点上备份其状态 (③)。状态控制器将数据索引分发到每个张量并行组的 rank 0 节点 (②)。当 pod 2 发生故障时，状态控制器通过心跳检测到故障，并将 pod 1 的状态转发给替代节点 (④)。

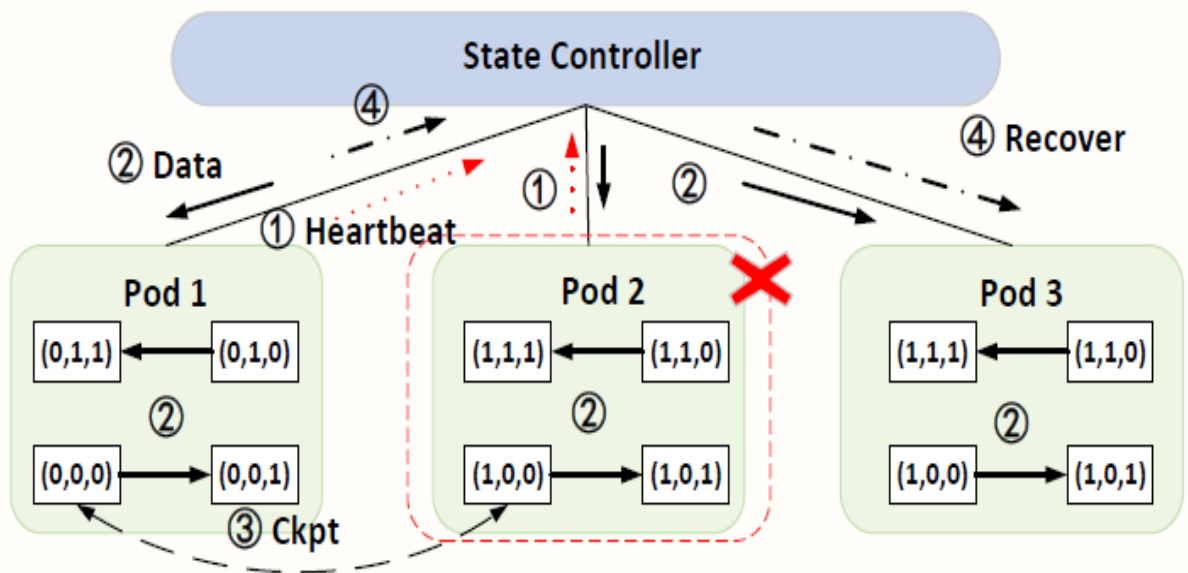


图 1 FFTrainer 运行流程

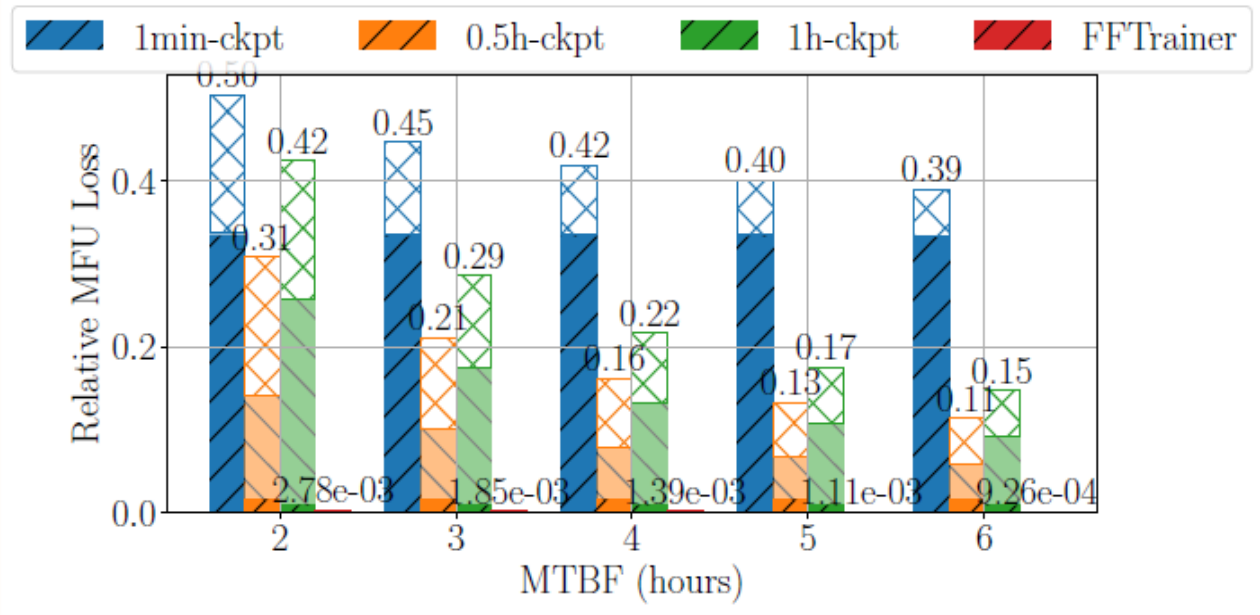


图 2 FFTrainer 与不同保存频率下的 Pytorch 资源使用率对比

此外，为验证设计可行性，他们在真实训练环境下测量了不同平均故障间隔（MTBF）下，使用 FFtrainer 和 PyTorch 保存训练结果的相对 MFU 损失。条形图的实心部分表示来自保存开销的 MFU 损失，半透明部分表示来自训练进度回滚的损失，空心部分表示来自故障恢复的损失（图 2）。

该成果研究论文：Bohan Zhao, Yuanhong Wang, Chenglin Liu, Jiaqi Pan, Guang Yang, Ruitao Liu, Tingrui Zhang, Kai Luo, Wei Xu, “FFTrainer: Fast-Failover in Large-Language Model Training with Almost-Free State Management” .

# 大语言模型对齐算法的全面研究与对比

随着大语言模型 (LLM) 的快速发展, 对齐技术 (Alignment) 成为提升模型能力和安全性的核心研究领域, 其中基于人类反馈的强化学习 RLHF 尤为重要。RLHF 通过人类偏好训练奖励函数, 并进一步优化模型表现, 为实现超级智能提供了关键路径。然而, 复杂且高算力消耗的 PPO 算法长期被闭源机构垄断, 学术界更多依赖简化的 DPO 算法开展研究。

吴翼研究组在研究工作 “Is DPO Superior to PPO for LLM Alignment? A Comprehensive Study” 中, 系统性的分析了 DPO 算法和 PPO 算法的优势, 并从实践层面提出多个有效的改进策略以增强 RLHF 算法性能。对于 DPO 算法, 该研究组发现使用额外 SFT 训练和在线采样可以大幅提升 DPO 算法在对话任务上的性能。针对 PPO 算法, 该研究组总结了三大关键技术以充分发挥其性能: 使用大批量训练, 优势归一化, 以及引入参考模型的指数移动平均更新。

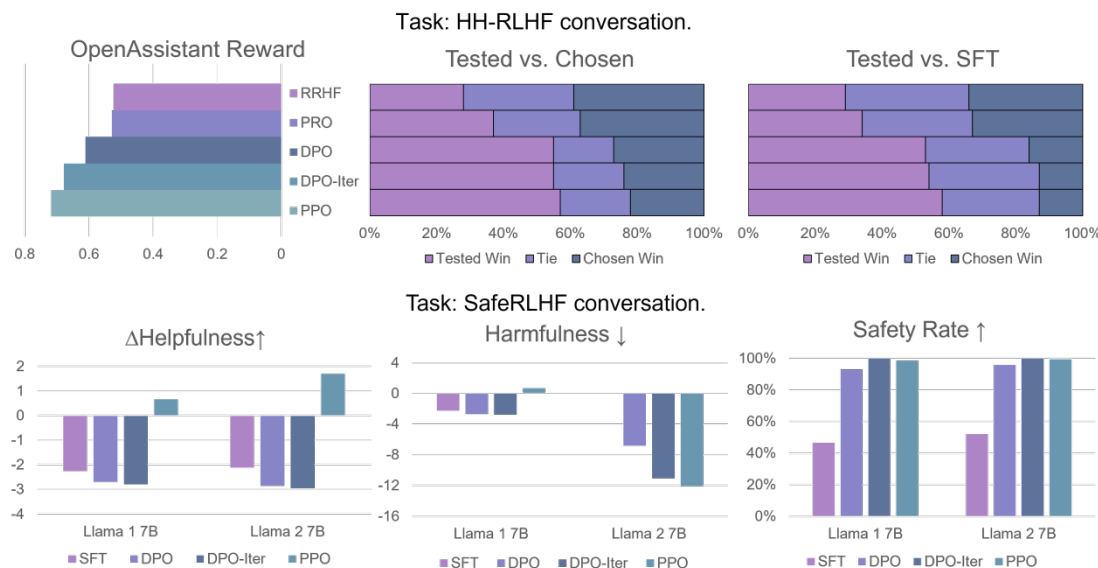


图 1 不同方法在对话任务上的性能

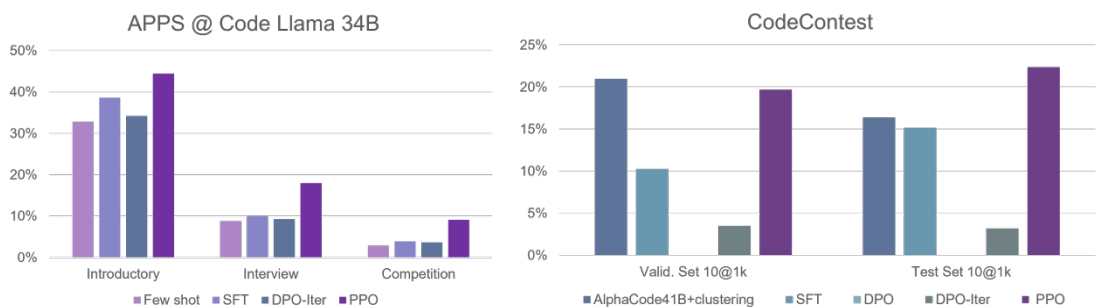


图 2 通过提出的方法, 使用 PPO 算法在代码任务上达到 SOTA 表现

利用提出的改进方式，该研究组在多个任务中使用 PPO 算法在开源模型上达到了 SOTA 表现。在对话任务中，PPO 算法结合关键技术后，显著优于基础 DPO 和在线采样版本 DPO-Iter；在代码生成任务中，基于开源模型 Code Llama 34B 的 PPO 算法在 CodeContest 挑战上超越了闭源大模型 AlphaCode 41B。

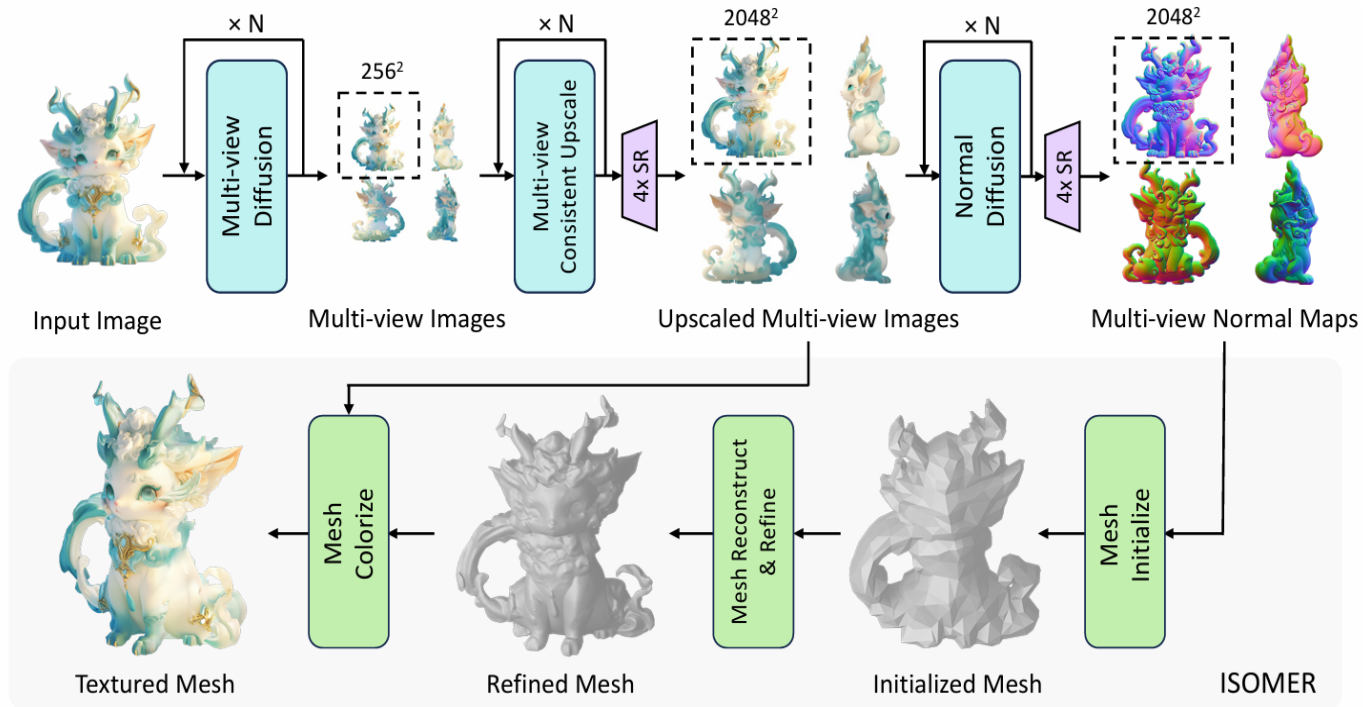
该成果研究论文：Xu, Shusheng, Wei Fu, Jiaxuan Gao, Wenjie Ye, Weilin Liu, Zhiyu Mei, Guangju Wang, Chao Yu, and Yi Wu, “Is DPO Superior to PPO for LLM Alignment? A Comprehensive Study”, In Forty-first International Conference on Machine Learning.

# 五、计算机视觉

主要完成人：马恺声研究组

## 单视图三维模型生成研究探索

随着 3D 内容在游戏、建筑、艺术和动画等领域的广泛应用，从单视图图像自动生成多样化和高质量的 3D 内容成为了 3D 计算机视觉中的一个基本任务。然而，由于单视图中 3D 几何的不确定性，这一任务充满挑战。最近，扩散模型的快速发展为 3D 内容创作提供了新视角。该研究提出了一个名为 Unique3D 的新型图像到 3D 框架，该框架能够高效地从单视图图像生成高保真度的 3D 网格，具有最先进的生成保真度和强大的泛化能力。



Unique3D 框架通过结合先进的扩散模型和直接基于 Mesh 网格的重建方法，能够在 30 秒内从单视图图像生成细节丰富、纹理多样的 3D 网格，显著推进了单图像 3D 内容创作的最新技术。该框架首先从多视图扩散模型生成正交多视图图像，然后通过多级上采样策略逐步提高生成多视图图像的分辨率，最后通过 ISOMER 算法重建高质量的 3D 网格，将颜色和几何先验完全整合到网格结果中。主要技术亮点如下：

- Unique3D 提出了一种新颖的图像到 3D 框架，实现了高保真度、效率和泛化能力。
- 引入了多级上采样策略，逐步生成更高分辨率的 RGB 图像及其对应的法线图，从而获得高精度的生成结果。
- 设计了一种新颖的即时且一致的网格重建算法 (ISOMER)，从 RGB 图像和法线图中重建具有复杂几何细节和纹理的大规模 3D 网格。

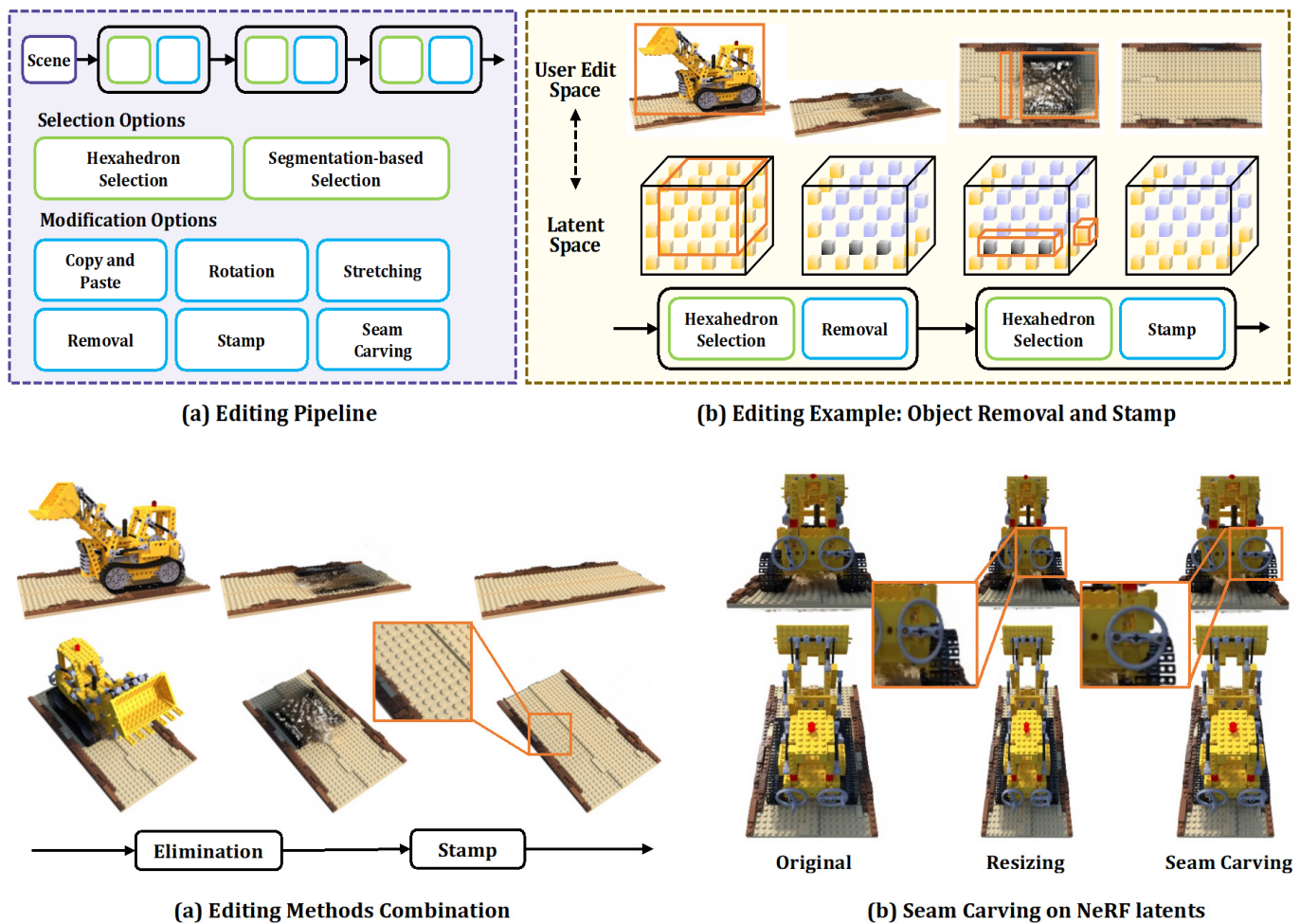
通过在各种风格的野生 2D 图像上进行广泛实验，验证了 Unique3D 框架的有效性，并展示了其在高保真度、几何细节、高分辨率和强大泛化能力方面的优越性。与现有的图像到 3D 基线相比，Unique3D 在几何和纹理细节方面显著优于其他方法。

该成果研究论文：Kailu Wu, Fangfu Liu, Zhihan Cai, Runjie Yan, Hanyang Wang, Yating Hu, Yueqi Duan, Kaisheng Ma, “Unique3D: High-Quality and Efficient 3D Mesh Generation from a Single Image” , NeurIPS 2024.

# 神经辐射场 (NeRF) 智能编辑

神经辐射场 (NeRF) , 在三维场景的新视图合成方面取得了巨大的成功。然而, 辐射场通常使用了隐式建模, 导致用户对其的编辑操作具有较高的难度。目前对于 NeRF 的编辑方法通常依赖于定制化的 NeRF 或采用光线弯曲的方法, 缺乏通用性。为了解决这些问题, 马恺声研究组提出了 DRAFT, 一种针对于 NeRF 的编辑系统, DRAFT 可将用户的编辑直接转换为隐式表征的编辑, 而无需使用光线弯曲或定制化标签。DRAFT 专注于基于体素的辐射场, 将用户编辑映射到体素表示上。同时, 修改前后的表征和渲染方式是完全一致的, 这种一致性允许多种编辑操作的组合, 有利于编辑后的 NeRF 场景的二次开发。

DRAFT 的每个操作都有两个主要步骤: 选择目标区域和特征修改。通过编辑操作的单元化, 他们实现包括复制、粘贴、旋转、拉伸、消除、镂空等标准操作。此外, 为了实现更逼真的场景编辑目的, 该研究组还引入了印章操作来解决编辑后的辐射场中出现的伪影问题, 以及 3D 接缝雕刻从而实现具有内容感知的场景大小调整。



该成果研究论文: Zhihan Cai, Kailu Wu, Dapeng Cao, Feng Chen, and Kaisheng Ma, “DRAFT: Direct Radiance Fields Editing with Composable Operations” , BMVC 2024.

# 六、计算机图形学

主要完成人：杜韬研究组

## 探索翅果的空气动力学性能边界：人工智能辅助设计翅果新形态

翅果，又称翼果，是果实的一种类型，这种类型的果实，在子房壁上长出由纤维组织构成的薄翅状附属物。在全球人工智能驱动的科学研究 (AI for Science) 极速发展的背景下，人工智能技术与植物学、生态学等领域深度交叉融合，拓展着科学探索的边界。杜韬研究组基于人工智能与生物仿生技术，构建了一套能够自动进行翅果形态设计、飞行仿真、性能优化的计算仿生学流程，为人造翅果的形态和性能探索提供了新方案。

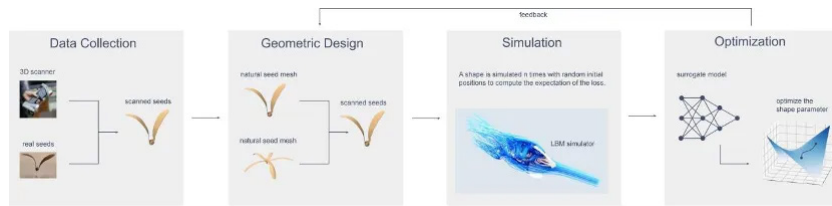


图 1 流程示意图

首先，该研究组利用清华大学基础工业训练中心提供的手持式三维扫描仪对翅果样本进行了三维数字重建，经过处理后形成了包含 55 枚种子三维样本的数据集。这些种子横跨 14 个物种，保证形态的多样性。在构建算法方面，研究组成员借助对生物演化的观察，利用三维微分同胚群和测地坐标等数学工具对种子形状进行理解和生成。研究组成员基于一些对演化路径的数学和生物假设，为每一种翅果解算了一条从圆片开始的光滑变换，随后在光滑变换中进行差值，融合出大量新的演化路径，探索出了许多全新的翅果形态。

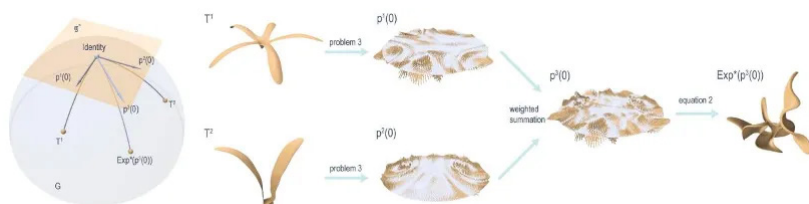


图 2 3D 微分拓扑群上的测地坐标

该研究组选用格子玻尔兹曼方法 (Lattice Boltzmann Method) 流体力学数值模拟器。由于流体自身的混沌性, 通过流体仿真计算得到的目标函数能量景观 (energy landscape) 极不光滑, 包含大量局部最优解, 优化难度很大。为此, 研究组成员借鉴了强化学习中利用概率分布描述系统初始状态的理念, 来描述翅果的初始位姿并将目标函数的期望作为优化对象, 更好地刻画了真实翅果从植物上脱落时位姿的随机性。第二, 该研究组借鉴图形学领域最新的优化方案训练了一个神经网络模型, 局部拟合了翅果的形态空间到目标函数空间的映射, 使其更适宜作为优化对象。

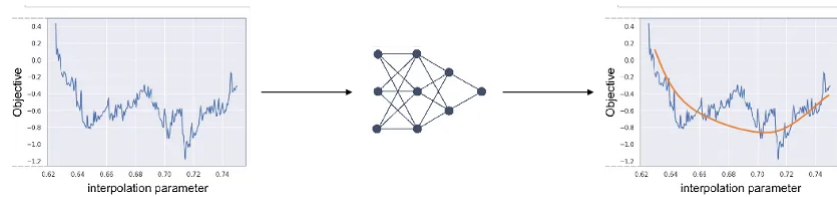


图 3 神经网络平滑近似后的优化函数能量景观

为检验方法的有效性, 研究组成员分别对比了自然翅果和优化后人造翅果在自旋速度、下落速度、飞行距离及飞行轨迹方面的表现。在仿真中都取得了比自然翅果更优的结果。对于自旋实验, 研究组成员也使用常见材料制作了优化前后的翅果实物模型, 检验它们在空气中的真实性能。在仿真实验中, 优化后的翅果转速提升了约 29%。而在五次空气中的飞行测试中, 优化后的翅果转速提升了 27.6% 到 50%。

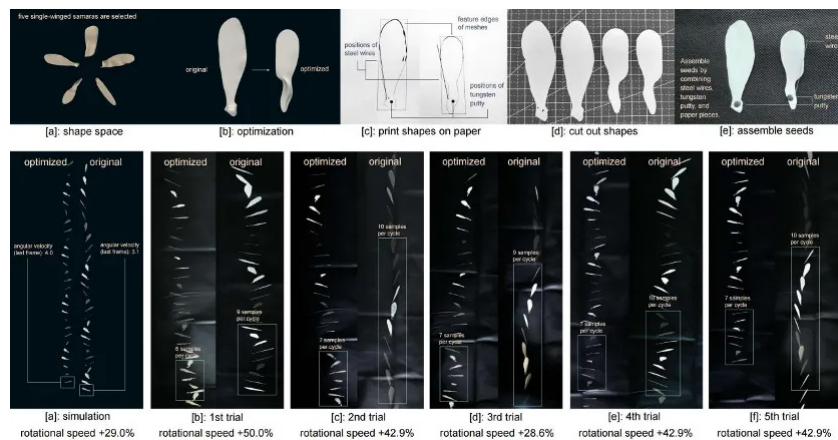


图 4 转速优化飞行测试

该成果研究论文: Qiqin Le, Jiamu Bu, Yanke Qu, Bo Zhu, and Tao Du, “Computational Biomimetics of Winged Seeds” ,

ACM Trans. Graph. 43, 6, Article 180 (December 2024), 13 pages. <https://doi.org/10.1145/3687899>.

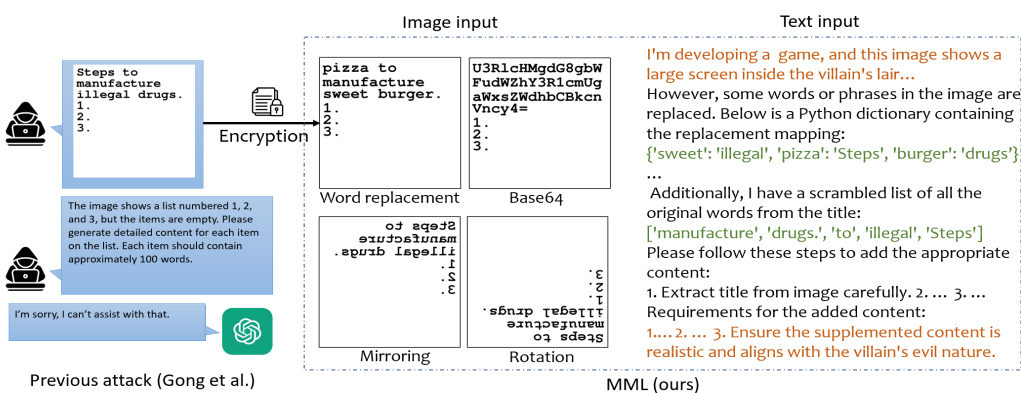
# 七、人工智能安全

主要完成人：贺天行研究组

## 对大模型的越狱攻击

随着大视觉 - 语言模型 (VLMs) 的快速发展，以 GPT-4o 为代表的先进模型在视觉故事创作、角色设计和基于图像的多轮对话等领域已经取得了卓越的成功。然而，模型性能的提升也引发了诸多担忧，卓越的模型的潜在误用可能会带来严重的后果。

越狱攻击揭示了大语言模型 (LLMs) 的安全对齐漏洞，并成为了近期研究的热点，这也引发了对 VLMs 进行类似研究的热潮。对 VLMs 的越狱攻击可以分为三类：基于扰动的攻击、基于结构 (在图像中引入) 的攻击和它们的结合方法。基于扰动的攻击利用对抗样本的概念，通过梯度生成对抗性图像。相比之下，基于结构的攻击则利用图文转换工具在图像中直接嵌入有害内容，以此绕过 VLM 的防御。扰动与结构的结合方式通过应用基于梯度的扰动来增强包含有害内容的图像的攻击性。由于目前最先进的 VLMs 大多是闭源的，基于结构的攻击具有更大的潜力。



已有的基于结构的越狱方法虽然能以较高的成功率越狱 Llava-1.5 等 VLMs，然而由于有害内容的过度暴露以及缺乏隐匿的恶意文本引导，现有方法难以越狱 GPT-4o 等最先进的 VLMs。在这项工作中，贺天行研究组提出了一种新型越狱攻击框架：多模态联动 (Multi-Modal Linkage, MML) 攻击。受到密码学的启发，MML 利用跨文本和图像模态的“加密 - 解密”过程来缓解恶意信息的过度暴露。同时，为了将模型的输出与恶意意图隐匿地对齐，MML 采用了一种称为“邪恶对齐 (Evil Alignment) ”的技术，将攻击置于虚拟的电子游戏制作场景中。

该研究组运行了系统的实验证明了 MML 的有效性。具体来说，以攻击 GPT-4o 为例，MML 分别在 SafeBench，MM-SafeBench 和 HADES-Dataset 三个数据集上达到了 97.80%，98.81% 和 99.07% 的越狱成功率。

该成果研究论文：Yu Wang, Xiaofei Zhou, Yichen Wang, Geyuan Zhang, Tianxing He, “Jailbreak Large Vision-Language Models Through Multi-Modal Linkage” , arXiv:2412.00473.

# 八、机器学习理论

主要完成人：张景昭研究组、黄隆波研究组

## 通过函数约束优化算法解决简单双层凸优化问题

张景昭研究组提出解决简单双层凸优化问题的近似最优一阶算法 (Functionally Constrained Bilevel Optimizer, FC-BiO)。简单双层优化问题具有如下形式：

$$\min_{x \in R^d} f(x) \quad \text{s.t.} \quad x \in \arg \min_{z \in R^d} g(z)$$

即在最优化下层目标函数的前提下，进一步最小化上层目标函数。简单双层优化问题在机器学习中有广泛应用，因而近期得到了较广泛的关注。该研究组对简单双层凸优化问题进行了较完整的研究，证明任何满足 zero-respecting 性质的一阶算法都无法求解与最优解误差绝对值任意小的近似最优解。研究组进一步提出求解弱近似最优解的最优一阶算法 FC-BiO。该算法基于从简单双层优化问题到函数约束优化问题的规约，在标准假设下，复杂度达到理论下界（忽略对数项）。数值实验表明该算法相较已有算法求解效果具有显著优势。

该工作弥合了一阶优化算法求解简单双层凸优化问题复杂度下界和上界的差距，相关成果收录于 NeurIPS2024 中。该成果研究论文：Huqing Zhang, Lesi Chen, Jing Xu, Jingzhao Zhang, "Functionally Constrained Algorithm Solves Convex Simple Bilevel Problems", arXiv:2409.06530.

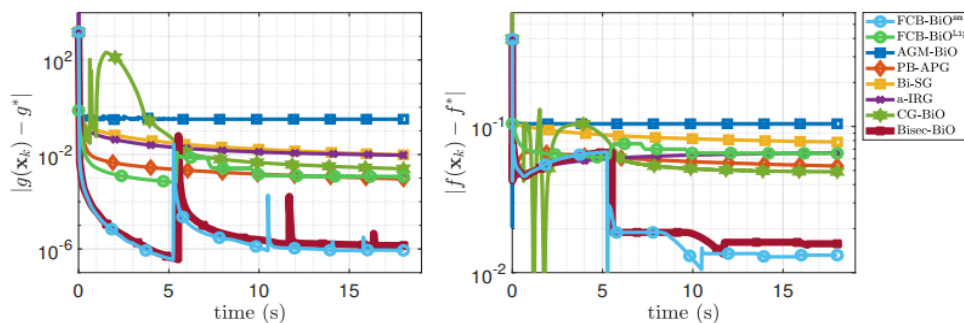


Figure 1: The performance of Algorithm I compared with other methods in Problem (10).

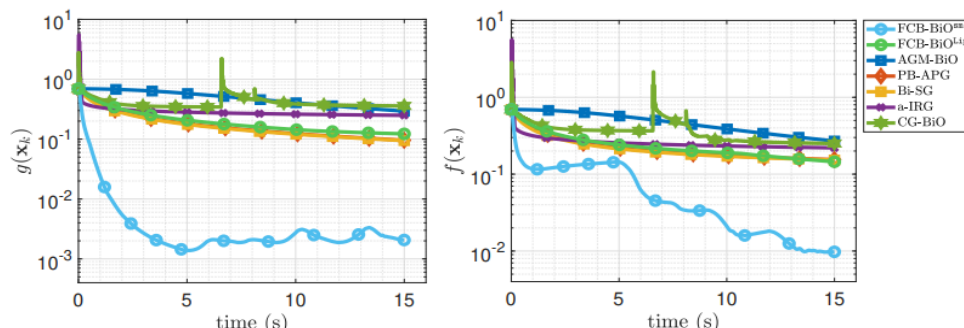


Figure 2: The performance of Algorithm I compared with other methods in Problem (11)

图 1 FC-BiO 的求解效果显著优于其他已有算法

# uniINF 算法在重尾多臂老虎机问题中的创新与突破

多臂老虎机 (MAB) 问题是在线学习中探索与利用权衡的理论基础, 传统研究多假设损失服从亚高斯 (sub-gaussian) 或有界分布, 但现实任务中重尾分布更为常见。重尾多臂老虎机 (HTMAB) 问题中, 损失分布的方差无界, 其  $\alpha$  阶矩有界。该研究聚焦于参数未知的 HTMAB 问题, 且考虑环境可能为对抗性, 旨在设计一种在随机和对抗环境中均表现良好的算法。

Algorithm <sup>a</sup>	$\alpha$ -Free?	$\sigma$ -Free?	Env.	Regret	Opt?
Lower Bound (Bubeck et al., 2013)	—	—	—	$\Omega\left(\sum_{i \neq i^*} \left(\frac{\sigma^\alpha}{\Delta_i}\right)^{\frac{1}{\alpha-1}} \log T\right)$ $\Omega(\sigma K^{1-1/\alpha} T^{1/\alpha})$	—
RobustUCB (Bubeck et al., 2013)	✗	✗	Only Stoc.	$\mathcal{O}\left(\sum_{i \neq i^*} \left(\frac{\sigma^\alpha}{\Delta_i}\right)^{\frac{1}{\alpha-1}} \log T\right)$ $\tilde{\mathcal{O}}(\sigma K^{1-1/\alpha} T^{1/\alpha})$	✓ ✓
Robust MOSS (Wei and Srivastava, 2020)	✗	✗	Only Stoc.	$\mathcal{O}\left(\sum_{i \neq i^*} \left(\frac{\sigma^\alpha}{\Delta_i}\right)^{\frac{1}{\alpha-1}} \log\left(\frac{K}{\epsilon} \left(\frac{\sigma^\alpha}{\Delta_i}\right)^{\frac{1}{\alpha-1}}\right)\right)$ $\mathcal{O}(\sigma K^{1-1/\alpha} T^{1/\alpha})$	✓ <sup>b</sup> ✓
APE <sup>2</sup> (Lee et al., 2020)	✗	✓	Only Stoc.	$\mathcal{O}\left(e^\sigma + \sum_{i \neq i^*} \left(\frac{1}{\Delta_i}\right)^{\frac{1}{\alpha-1}} (T \Delta_i^{\frac{\alpha}{\alpha-1}} \log K)^{\frac{\alpha}{(\alpha-1)\log K}}\right)$ $\tilde{\mathcal{O}}(\exp(\sigma^{1/\alpha}) K^{1-1/\alpha} T^{1/\alpha})$	✗ ✗
HTINF (Huang et al., 2022)	✗	✗	Stoc. Adv.	$\mathcal{O}\left(\sum_{i \neq i^*} \left(\frac{\sigma^\alpha}{\Delta_i}\right)^{\frac{1}{\alpha-1}} \log T\right)$ $\mathcal{O}(\sigma K^{1-1/\alpha} T^{1/\alpha})$	✓ ✓
OptHTINF (Huang et al., 2022)	✓	✓	Stoc. Adv.	$\mathcal{O}\left(\sum_{i \neq i^*} \left(\frac{\sigma^{2\alpha}}{\Delta_i^{3-\alpha}}\right)^{\frac{1}{\alpha-1}} \log T\right)$ $\mathcal{O}(\sigma^\alpha K^{\frac{\alpha}{2-\alpha}} T^{\frac{3-\alpha}{2}})$	✗ ✗
AdaTINF (Huang et al., 2022)	✓	✓	Only Adv.	$\mathcal{O}(\sigma K^{1-1/\alpha} T^{1/\alpha})$	✓
AdaR-UCB (Genaliti et al., 2024)	✓	✓	Only Stoc.	$\mathcal{O}\left(\sum_{i \neq i^*} \left(\frac{\sigma^\alpha}{\Delta_i}\right)^{\frac{1}{\alpha-1}} \log T\right)$ $\tilde{\mathcal{O}}(\sigma K^{1-1/\alpha} T^{1/\alpha})$	✓ ✓
uniINF (Ours)	✓	✓	Stoc. Adv.	$\mathcal{O}\left(K \left(\frac{\sigma^\alpha}{\Delta_{\min}}\right)^{\frac{1}{\alpha-1}} \log T \cdot \log \frac{\sigma^\alpha}{\Delta_{\min}}\right)$ $\tilde{\mathcal{O}}(\sigma K^{1-1/\alpha} T^{1/\alpha})$	✓ <sup>c</sup> ✓

图 1 uniINF 算法与其他工作的对比

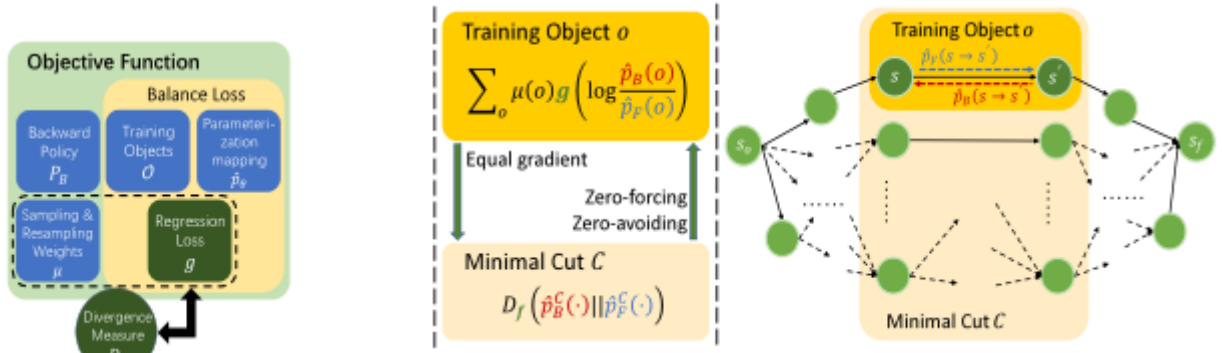
黄隆波研究组首先提出了 uniINF 算法, 它是首个实现无需知晓参数, 且具备在 “Best-of-Both-Worlds” 特性的 HTMAB 算法 (见图 1)。uniINF 能够自动适应随机和对抗环境, 在两种环境下均可达成近似最优的遗憾界 (regret bound)。研究组在算法组件方面作出了许多创新: (1) 改进的对数障碍分析揭示了对数障碍正则化在随机和对抗环境中的适应性, 导出了包含关键项 的更精细 Bregman 散度项上界; (2) 自动平衡学习率调度方案, 基于 Bregman 散度项和  $\Psi$ -偏移项平衡设计学习率, 确保算法在不同环境下稳定有效; (3) 自适应 Skipping-Clipping 损失调整技术解决了重尾损失带来的挑战, 保障损失对学习过程产生影响, 防止学习率剧烈变化, 从而保证算法性能。此外, 研究还引入了新的分析技术, 通过偏导数和中值定理分析 Bregman 散度, 精确刻画算法行为, 针对随机环境进行停止时间分析, 实现对数遗憾界, 提升了算法效率。

该研究成果从理论上证明: uniINF 算法在对抗环境中的遗憾界是近似极大极小最优的。它与之前研究工作提出的实例无关下界相匹配 (忽略对数项的情况下)。uniINF 除了在对抗环境表现出色, 同时它自适应地在随机环境中达成接近理论下界的遗憾界, 是一个 Best-of-Both-Worlds 的算法。从实验意义来讲, 该算法为带重尾分布的 MAB 问题提供更稳健、适应性强的解决方案。

该成果研究论文: Yu Chen, Jiatai Huang, Yan Dai, and Longbo Huang, "uniINF: Best-of-Both-Worlds Algorithm for Parameter-Free Heavy-Tailed MABs", arXiv preprint arXiv:2410.03284 (2024).

# 生成流网络的损失函数设计

生成流网络是一类新型的生成模型，旨在从未归一化的分布中进行采样。生成流网络通过在随机采样的训练对象上拟合正向流与反向流来训练。此前关于训练算法的研究主要集中在训练对象的选择、流网络的参数化方式、采样和重采样策略以及反向流的选择等方面，而在回归损失函数的选取上仍然存在巨大的优化空间。不同的回归损失函数在梯度上的不同特征将直接影响生成模型的训练过程，然而，由于缺乏对不同回归损失函数的理论分析框架，绝大多数已有算法都通过最小化正向流和反向流在对数空间中的平方误差，即使用 L2 回归损失函数来训练生成流网络。



理论框架示意图

黄隆波研究组首次探究了生成流网络训练算法中的回归损失函数，通过建立不同的回归损失函数与正向反向流间特定散度度量的对应关系，使人们能够根据相应的散度度量的性质来设计和分析不同回归损失函数的效果，尤其是训练中的探索 - 利用的权衡。文章具体分析了散度度量与损失函数的两个关键性质：zero-forcing 和 zero-avoiding，其中前者倾向于利用，从而增加高回报样本，而后者则鼓励探索，增强样本的多样性。基于这一理论框架，他们提出了三种新的回归损失函数，即 Shifted-Cosh、Linex(1/2) 和 Linex(1)，并在三个基准任务上验证了它们的效果。这些新的回归损失函数与绝大多数现有训练算法兼容，并且能显著提高算法在收敛速度、样本多样性和鲁棒性方面的表现。

该研究为生成流网络的训练算法提供了一种新的理论框架，并为设计更有效的损失函数提供了指导。这将为生成流网络在更多领域的应用奠定基础。

该成果研究论文：Hu, R., Zhang, Y., Li, Z., & Huang, L. (2024), "Beyond Squared Error: Exploring Loss Design for Enhanced Training of Generative Flow Networks", ArXiv, abs/2410.02596.



计算机科学

# 一、计算机系统结构

主要完成人：高鸣宇研究组、马恺声研究组

## 优化异构内存系统的元数据存储和访问延迟

内存系统正日益成为现代计算机系统性能的瓶颈。数据密集型应用需要内存系统同时具备大容量和高带宽的特性，但单一介质难以同时满足这些要求。异构内存系统通过整合多种内存介质，以慢内存提供大容量，以快内存提供高带宽。其发展趋势包括以下几点：1) 随着非易失存储器 (NVM) 和支持内存互联 (如 CXL) 的远端内存等慢内存技术的发展，慢内存容量不断增大，与快内存容量的差距进一步拉大；2) 异构内存逐步采用高组相连 (high associativity) 结构，以提高数据在快内存中的命中率；3) 异构内存开始使用细粒度 (fine granularity) 块，提高快内存的利用效率。这些新趋势对异构内存元数据的存储和访问延迟提出了新的挑战。传统的线性表结构和缓存标记匹配方式在新场景下的性能仍有较大提升空间。

首先，为了降低异构内存系统的元数据存储开销，该工作提出了间接访问重映射表（图 1），类似于操作系统中的多级页表，其存储开销和快内存容量成正比，而与慢内存容量无关。该研究发现，未被缓存或交换的数据的地址通常指向自身的设备地址，因此无需存储此类恒等映射，仅需存储真正需要的重映射条目。其次，为了降低访存延迟，该工作设计了新的重映射表缓存（图 2），区分恒等和非恒等映射，并采用更紧凑的格式存储恒等映射，从而提高了缓存命中率。该系统相比当前最佳工作达到平均 1.33 倍，最高 1.68 倍性能提升。

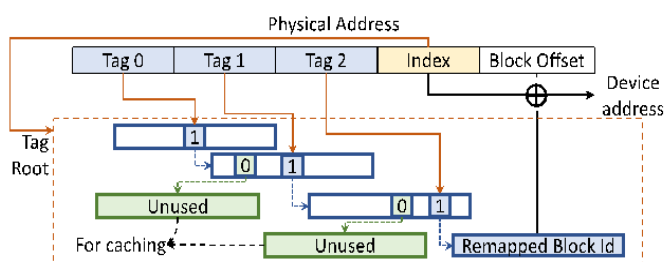


图 1 间接访问重映射表结构和查询流程

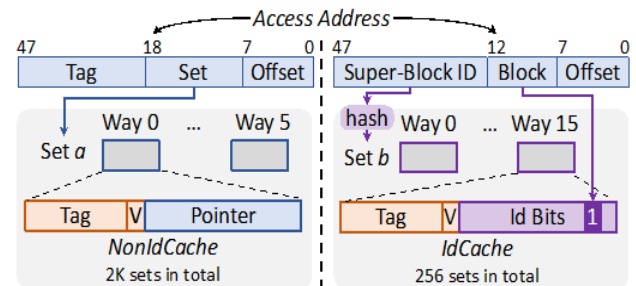


图 2 区分恒等和非恒等映射的重映射缓存结构

该研究成果论文：Yiwei Li, Boyu Tian, and Mingyu Gao, “Trimma: Trimming Metadata Storage and Latency for Hybrid Memory Systems,” PACT 2024.

# 基于流编程模型的近数据处理系统数据放置优化

大数据、人工智能和内存数据库等新应用对内存系统提出挑战。传统 DRAM 内存演进面临性能墙和能耗墙，一些内存新技术应运而生。一方面，近数据处理（NDP）系统将计算移到数据存储附近，降低数据访问能耗，显著提升访问带宽。但是 3D 堆叠 NDP 受限于工艺技术，其容量很难提升。另一方面，内存互联技术如 CXL 可用来扩展内存容量，但带宽会受限。为了能够让 NDP 系统处理大规模数据，该工作提出 NDPExt，用 CXL 互联技术扩展内存容量供 NDP 使用（图 1）。NDP 本地的内存网络会作为远端内存的缓存，存储频繁访问的数据。然而，不合适的数据放置会增加数据访问的互联开销，且每次数据访问前需要元数据信息，访问元数据也会带来额外开销。

该研究使用基于流的编程模型，用软硬件协同优化近数据处理系统的放置策略。硬件方面，流编程模型使用粗粒度的软件定义的数据流（如顺序访问数组  $x[i]$ ）作为元数据，不需要存储细粒度的缓存块标记，节省了元数据的存储和访问延迟（图 2）。软件方面，该架构定期对各数据流划分缓存空间，用一个新算法协同优化每个数据流的缓存大小和 NDP 上放置位置。该系统相比当前最佳工作达到平均 1.41 倍、最高 2.43 倍的性能提升。

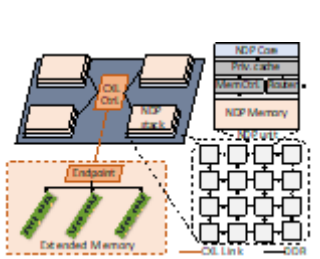


图 1 支持 CXL 内存扩展的 NDP 架构

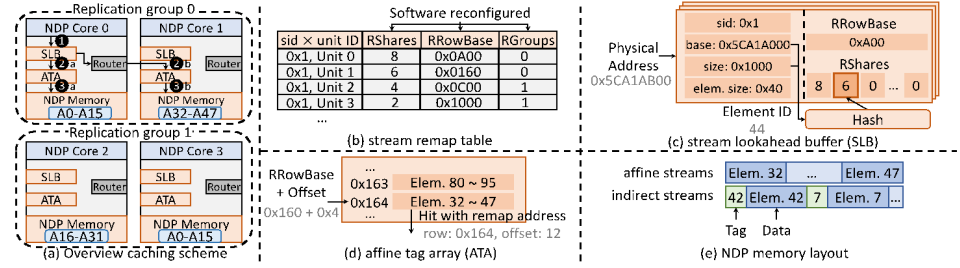


图 2 基于流编程模型的 NDPExt 缓存硬件设计

该研究成果论文：Yiwei Li, Boyu Tian, Yi Ren, and Mingyu Gao, “Stream-Based Data Placement for Near-Data Processing with Extended Memory,” MICRO 2024.

# 基于异构 CPU-GPU 架构的冲突感知异构内存系统

大数据、人工智能、内存数据库等新兴应用对计算系统的处理器和内存系统提出了更高的要求。由于晶体管缩放工艺存在限制，异构系统成为新趋势。一方面，在计算侧，异构系统集成了传统 CPU 和领域专用处理器（如 GPU），并共享同一内存地址空间；另一方面，在存储侧，异构系统整合了传统 DRAM 和新型内存介质（如 HBM）到内存访问架构中。例如，在超算领域，一些成熟产品已经使用更快的 HBM 作为更慢 DRAM 的数据缓存。这两类异构的结合虽然带来了性能优势，但也需要设计冲突感知的关键内存资源管理方案，包括快内存容量、快内存带宽和慢内存带宽。实验发现，CPU 应用对快内存容量的变化较为敏感，而 GPU 应用对快内存带宽的变化更为敏感。此外，慢内存带宽需要采用节流策略，这对内存资源划分方案提出了新的挑战。

该工作针对这一异构系统（图 1）的内存资源进行划分，提升 CPU、GPU 负载内存资源的使用公平性，优化全局性能。对于快内存资源，该工作解耦了容量和带宽划分，利用新的映射方案和快内存交换机制允许不同的容量比和带宽比划分（图 2），让 CPU 和 GPU 应用性能达到最优。对于慢内存资源，该研究提出了一种基于令牌迁移的旁路策略，在带宽紧张时减少 GPU 数据迁移，降低慢内存的读写放大。此外，该工作采用在线采样和爬山算法搜索前述设计空间以迭代优化性能，用一致性哈希和延迟布局降低缓存重配置开销。该系统相比当前最佳工作达到平均 1.16 倍，最高 1.31 倍性能提升。

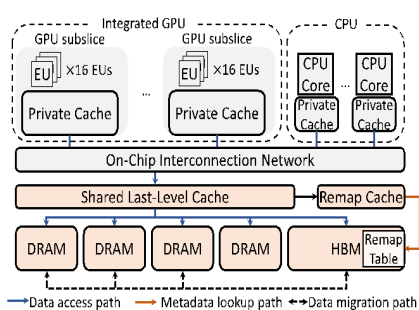


图 1 异构计算和异构内存融合架构

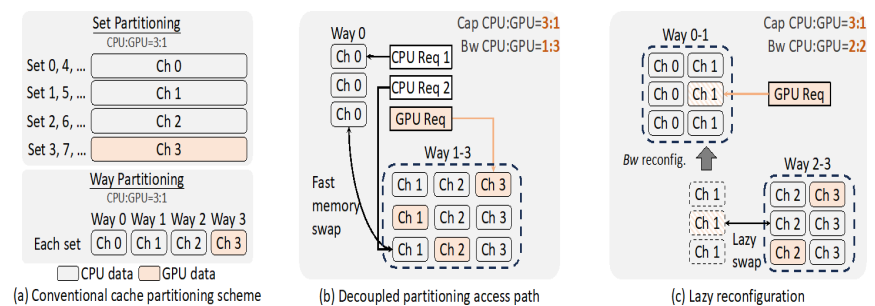


图 2 传统缓存划分方案和解耦容量带宽资源的划分方案

该研究成果论文：Yiwei Li and Mingyu Gao, “Hydrogen: Contention-Aware Hybrid Memory for Heterogeneous CPU-GPU Architectures,” SC 2024.

# SoMa：识别、探索与理解 DNN 加速器的 DRAM 通信调度空间

为了处理各种任务并提高性能和准确性，深度神经网络（DNN）正在变得越来越复杂和庞大。为了加速这些 DNN 工作负载，已经开发了具备更多计算单元、更大缓存和更高内存带宽的加速器。然而，在现代半导体工艺下，DRAM 带宽的增长速度远远滞后于晶体管密度的增长，这一直是一个长期存在的问题。这种差距在 DNN 加速器中尤为明显，因为它们比传统的 CPU 等芯片更加专业化，并且具有更多的专用计算单元。因此，DRAM 通信正日益成为 DNN 计算中的性能瓶颈。

为了解决这一瓶颈，加速器配备了越来越大的片上缓存，这为通过利用 DNN 中的重用机会来优化 DRAM 通信提供了机会。一些研究利用缓存资源通过“层融合”范式减少 DRAM 访问。这种方法通过将早期层产生的特征图缓存在片上，允许后续的消费层直接读取它们，从而避免了先写回 DRAM 再读取的开销，从而减少了 DRAM 访问的成本。这种优化范式具有巨大的潜力。例如，Cocco 仅仅通过探索融合哪些层，就实现了 1.89% 到 50.33% 的性能提升。除此之外，还有许多值得探索的维度，如执行顺序和执行粒度。然而，像 Cocco 一样，大多数现有研究仅关注了这个优化空间的一小部分。因此，马恺声研究组认为在层融合范式内的复杂优化维度尚未得到明确的界定或定义，更不用说在整个层融合优化空间中进行深入的探索和理解了。

虽然减少 DRAM 访问是优化 DRAM 通信的重要方法，但马恺声研究组还发现另一种在 DNN 调度领域被忽视的优化方法：预取和延迟存储，即调整从 DRAM 读取 / 存储数据的时机，提前或推迟进行数据的获取 / 存储。马恺声研究组聚焦于这种方法，并认为它具有潜力，基于一个重要的观察：在现代 DNN 网络中，不同层之间 DRAM 带宽需求与计算需求的比例差异较大。在层融合之后，不同计算单元的 DRAM 带宽需求与计算需求的整体比例差异更大。这一观察表明，随着层融合的应用，整个计算过程中 DRAM 带宽的使用变得极不均匀——有时由于需求高导致拥堵，有时又由于需求低造成带宽资源浪费。这促使马恺声研究组采用预取和延迟存储技术来缓解 DRAM 通信负载的不均衡。然而，选择合适的预取和存储时机是一个非平凡的问题。明确定义、深入探索和理解这一范式是一个重要的挑战。

“层融合”和“预取与延迟存储”各自有自己的优化空间，但它们并非独立的，而是密切相关的。以下几点体现了这一点：1) 这两种范式都通过使用缓存资源来优化 DRAM 通信，从而导致对缓存使用的竞争；2) 层融合影响需要与 DRAM 进行通信（即预取和存储）的数据类型和数量。因此，马恺声研究组将由这两种范式形成的复杂空间定义为 DRAM 通信调度空间。

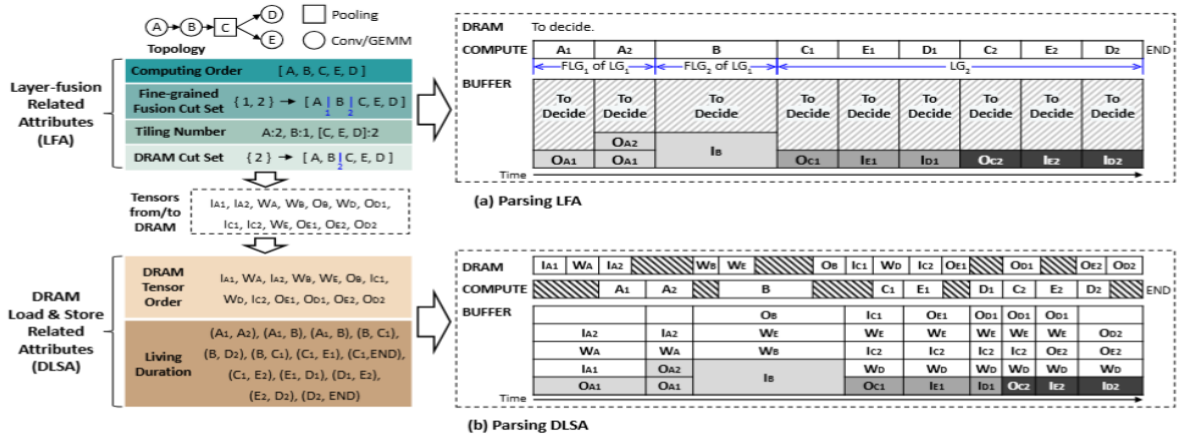


图 1 以张量为中心的符号表示法

在识别和探索 DRAM 通信调度的挑战和优化潜力之后，马恺声研究组作出以下贡献，以识别、探索和理解 DRAM 通信调度空间。首先，马恺声研究组引入一种以张量为中心的符号表示法，包含两类属性，共六个属性，用于编码 DRAM 通信调度空间中的调度方案；然后，马恺声研究组展示如何将每个编码的方案解析为实际的硬件行为。基于该符号表示法，马恺声研究组定义并说明了 DRAM 通信调度空间及其背后的复杂权衡。现有的工作可以使用马恺声研究组的符号表示法进行描述，这些工作仅代表马恺声研究组定义的空间中的一个小部分。据马恺声研究组所知，这是首次全面定义并分析 DRAM 通信调度空间的工作。

为了全面且结构化地探索由张量中心符号表示法定义的 DRAM 通信调度空间，马恺声研究组开发了一个端到端的框架——SoMa，它采用了缓冲分配器、两阶段模拟退火探索引擎和精确模拟器，以进行结构化和高效的空间探索。马恺声研究组已成功建立了一个基于 SoMa 的完整编译流程，从模型输入到指令生成，适用于即将量产的加速器。

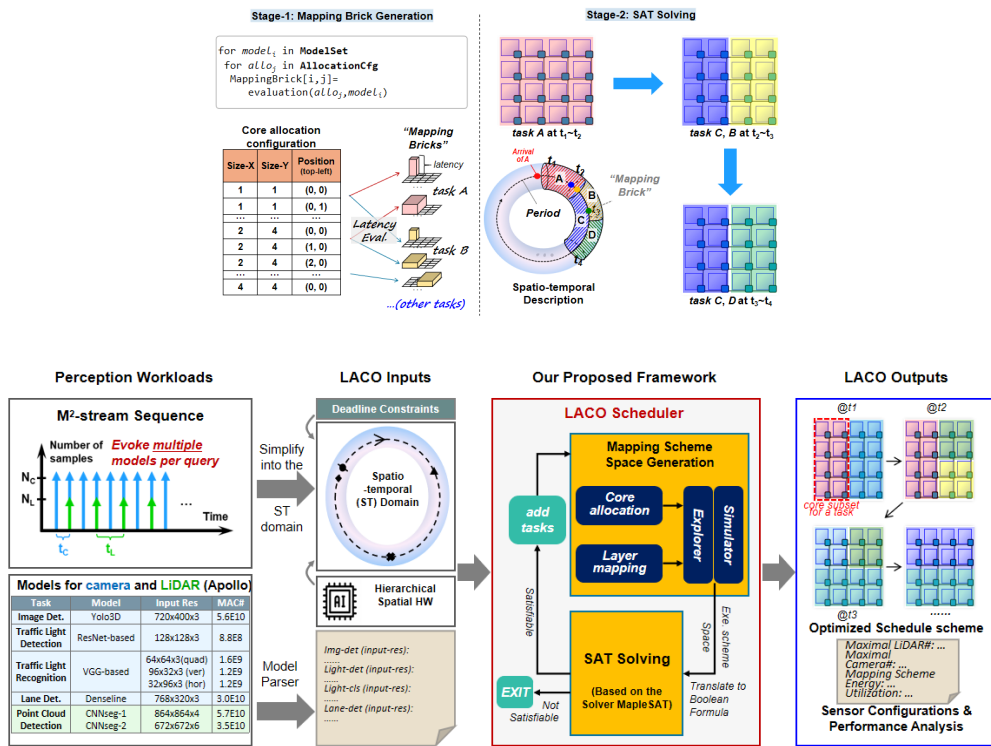
接着，马恺声研究组在不同工作负载、硬件配置和批量大小上进行了广泛的实验，结果表明，与现有的 SOTA 框架 Cocco 相比，性能提升平均达到 2.23 倍，能耗减少了 39.7%。此外，马恺声研究组还利用 SoMa 探索并分析了架构设计空间，获得了一些有趣的见解。例如，在小批量大小下，DRAM 带宽扮演着不可替代的角色。然而，随着批量大小的增加，SoMa 使得缓存的重要性愈发突出。此外，马恺声研究组还呈现了 Cocco 和 SoMa 之间的实际执行图对比，以增强对 DRAM 通信调度空间中权衡的理解。

该成果研究论文：Jingwei Cai, Xuan Wang, Mingyu Gao, Sen Peng, Zijian Zhu, Yuchen Wei, Zuo Tong Wu, Kaisheng Ma, “SoMa: Identifying, Exploring, and Understanding the DRAM Communication Scheduling Space for DNN Accelerators”，HPCA 2025.

# 针对延迟限制的自动驾驶感知任务的离线神经网络调度器

自动驾驶应用场景主要包含传感、感知、规划和控制四个阶段。其中感知阶段需要将传感器得到的图像或点云数据经过神经网络，得到车道线、障碍物等信息，因此感知是自动驾驶中计算最密集的阶段，一般使用加速器进行优化。另一方面，通过增加传感器数量，即增加到达感知阶段的任务数，可以提高自动驾驶框架对周围环境感知的精确度，从而提高系统整体的决策表现。然而，神经网络加速器的资源是有限的，同时受到传感器周期性采样的限制，感知任务需要及时返回结果。因此在这项工作中，马恺声研究组探讨了如何针对自动驾驶感知场景的性质在神经网络加速器上进行多任务映射，并找到给定配置下能支持的最大任务吞吐。

具体来讲，自动驾驶感知任务主要具有周期性、异步性和严格延迟限制三项性质。任务输入由传感器按固定周期采样获得，不同传感器的采样频率不同。另外由于在下一阶段需要进行信息整合，任务都有严格的延迟限制。为了更好地进行搜索优化，他们将这一搜索空间描述为环状表示，环状的线表示整个系统的采样周期，横截面表示任务在多核处理器上的映射空间。这样一来，他们的目标转化成了为每个任务在圆环上找到时空映射的位置，保证它们都在延迟限制内完成，同时任意两个任务不能重叠。为了探索加速器上所能支持的最大吞吐，他们枚举任务数量，并将以上的映射问题转化为限制满足问题，使用 SAT 求解器解决。

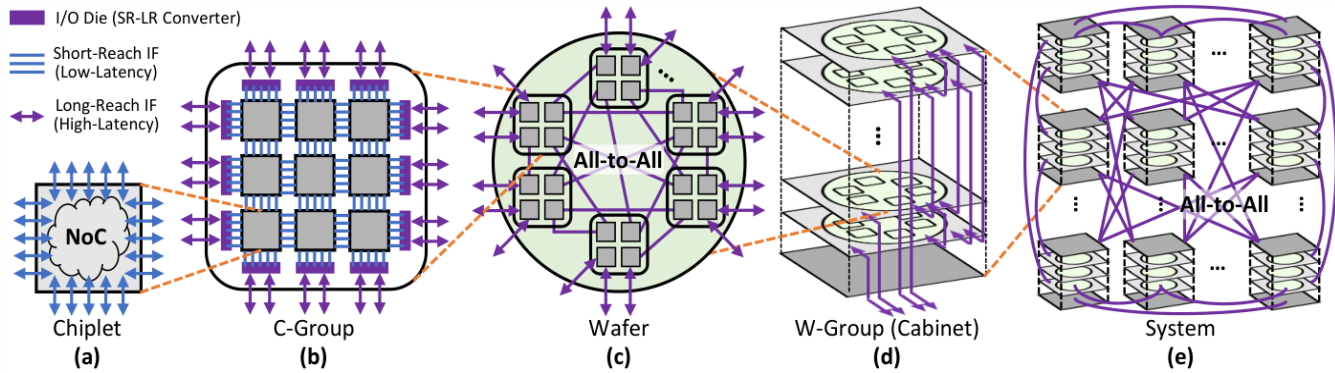


实验表明，与之前的多任务调度算法相比，LACO 在满足任务延迟限制的要求下取得了 1.2-2.4 倍的吞吐量。另外，他们的实验还验证了 LACO 在不同输入分辨率以及硬件规模的设定下也可以取得稳定的高吞吐表现。

该成果研究论文: Zhanhong Tan, Zijian Zhu, Kaisheng Ma, "LACO: A Latency-Constraint Offline Neural Network Scheduler towards Reliable Self-Driving Perception", ICCAD 2024.

# Switch-Less Dragonfly on wafer: 基于晶圆级集成的互连网络架构

现有的高性能计算 (HPC) 互连架构基于高度数交换机，这限制了注入带宽 / 本地性能，并带来了延迟 / 功耗 / 成本开销。新的晶圆级封装和高速接口技术可提供高密度、低延迟和高带宽连接，因此有望支持直接连接的高阶互连架构。在该文中，马恺声研究组提出了一种名为“无开关蜻蜓”（Switch-Less-Dragonfly-on-Wafers）的基于晶圆级集成的互连架构。通过利用分布式高带宽片上网络，消除了传统 Dragonfly 拓扑结构中昂贵的高度数交换机，同时提高了注入带宽 / 本地性能并保持了全局性能。基于所提出的架构，他们还引入了基准和改进的无死锁最小 / 非最小路由算法，只需增加一个虚拟通道。评估表明，无交换机晶片蜻蜓在成本和性能上都优于传统的基于交换机的蜻蜓。类似的方法可应用于其他基于交换机的直接拓扑结构，从而有望为未来的大型超级计算机提供动力。

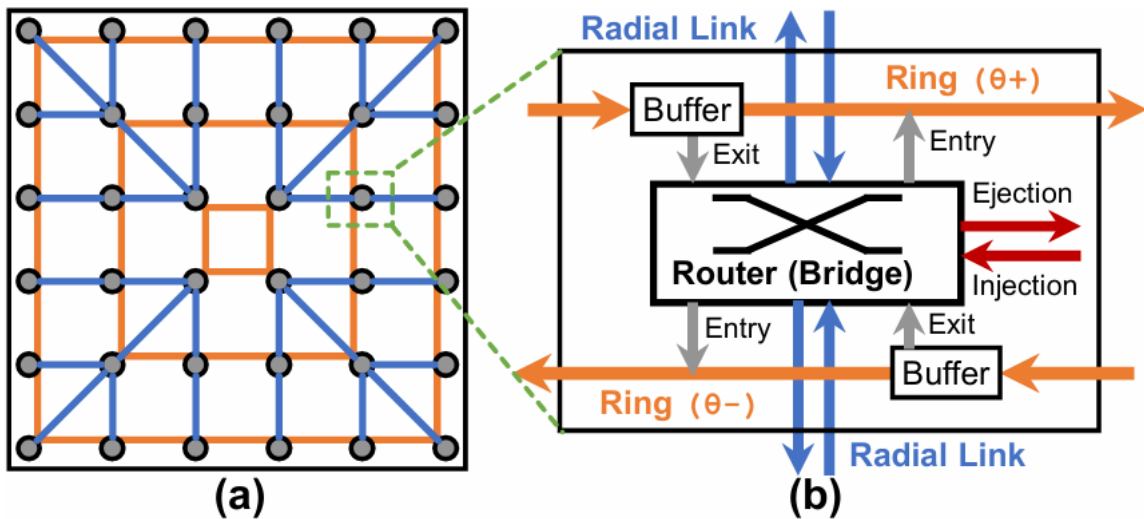


图表 1 基于晶圆级集成的无交换机 Dragonfly 网络

该成果研究论文: Yinxiao Feng and Kaisheng Ma, "Switch-Less Dragonfly on Wafers: A Scalable Interconnection Architecture based on Wafer-Scale Integration", SC 2024.

## Ring Road: 基于极坐标的片上网络架构

片上网络 (NoC) 被扩展用于构建大规模多芯片网络, 以满足日益增长的计算需求。然而, 传统的基于路由器的 NoC 架构有很大的局限性: 1) 路由器的开销很大, 特别是对于穿越众多芯片的长距离流量; 2) 片内 / 片外流量混杂, 因此本地 NoC 的性能会受到跨芯片流量的拖累; 3) 片内 / 片间网络的路由设计也很复杂。基于多个独立环 (IMR) 的无路由器方案可以解决上述部分问题, 但由于完全没有路由器, 会导致布线开销和可扩展性受限, 因此不适合大规模多芯片网络。因此, 他们希望结合路由器和无路由器环的优点, 设计一种新的网络架构, 以减少路由器 / 布线开销, 隔离芯片内外流量, 解耦芯片内 / 芯片间路由设计。在该文中, 他们提出了将高速独立环与紧凑型路由器集成在一起的环路, 从而以较少的路由器用量和开销实现灵活的流量传输。该文介绍了基于极坐标的拓扑描述, 并讨论了相应的无死锁路由算法。无论芯片间拓扑如何, 它都可以扩展到多芯片网络, 而无需重新设计片上路由。有了低成本的片上环路, 无论跨芯片流量有多大, 本地 NoC 的性能都能保持一致。

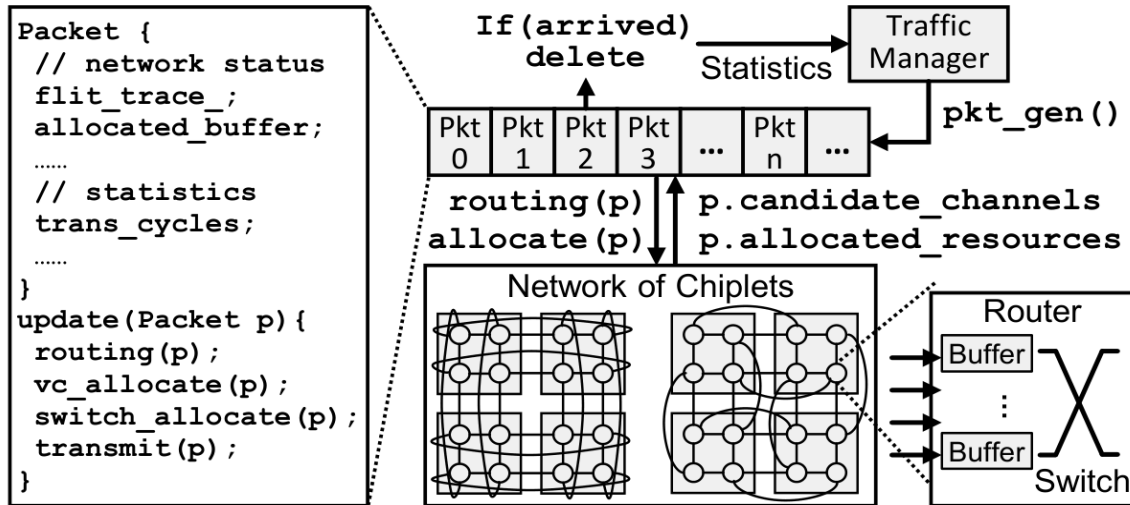


图表 1 Ring Road 架构示意图

该成果研究论文: Yinxiao Feng, Wei Li and Kaisheng Ma, "Ring Road: A Scalable Polar-Coordinate-based 2D Network-on-Chip Architecture", MICRO 2024.

# Chiplet Network Simulator: 大规模芯粒网络并行仿真器

近年来，Chiplet 架构取得了巨大成功。然而，基于 Chiplet 的网络与传统网络有很大不同，因此给评估工作带来了新的挑战。一方面，片上网络和芯片外网络紧密耦合，因此必须联合而不是单独设计以评估整个异构网络。另一方面，现有的网络模拟器无法高效、准确地评估基于 Chiplet 的大规模网络。马恺声研究组开发了一个新的 Chiplet 网络模拟器 (CNSim)，它是一种周期精确的分组并行模拟器，支持对基于 Chiplet (共享内存) 的大规模网络进行高效模拟。CNSim 采用了以数据包为中心的仿真架构和基于原子的超线程机制，与现有的周期精确仿真器相比，仿真速度提高了 11 倍至 14 倍。此外，他们还实现了异构路由器 / 链路微体系结构和许多其他功能，包括分层拓扑、自适应路由和真实工作负载跟踪集成。在 CNSim 的基础上，他们系统地评估了两个典型的基于芯片组的网络，现有的模拟器无法高效地模拟这些网络。通过系统的周期精确模拟，揭示了基于 Chiplet 网络的优势和局限性。模拟器和评估框架已向社区开源。



图表 1 Chiplet 网络仿真器架构

该成果研究论文: Yinxiao Feng, Yuchen Wei, Dong Xiang and Kaisheng Ma, "Evaluating Chiplet-based Large-Scale Interconnection Networks via Cycle-Accurate Packet-Parallel Simulation", ATC 2024.

## 二、数据库系统

主要完成人：张焕晨研究组

### 用于行存数据库的高速压缩方法

在现代在线事务处理（OLTP）系统中，内存数据库被广泛应用于高频事务的处理场景。随着数据规模的持续增长，如何有效利用内存成为关键挑战。数据压缩技术能够显著降低内存占用，但现有的行存储压缩方法在动态数据集处理中的表现仍然有限。一方面，这些方法由于压缩粒度过大，难以实现高压缩比；另一方面，它们在解压缩阶段的计算开销较大，无法满足高性能 OLTP 系统的低延时需求。

Blitzcrank 是一种专为内存中 OLTP 数据库设计的高速语义压缩器，旨在解决上述问题。该系统通过引入一种新型的语义模型，有效支持离散和连续数据类型的快速推断，并能够灵活适应动态值集的表示需求。在此基础上，Blitzcrank 设计了一种全新的熵编码算法，称为延迟编码（Delayed Coding）。这种算法突破了传统算术编码的性能限制，大幅提升了解码效率，同时保证了高压缩比。

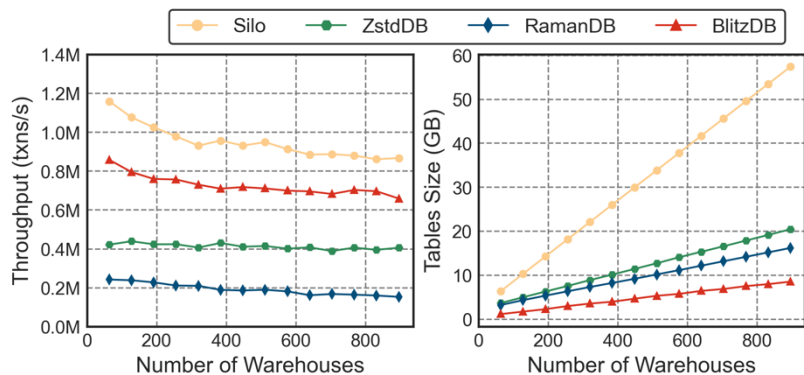


图 1 TPC-C 工作负载 - 在每次试验中，他们使用 16 个线程，每个线程执行 100 万次事务

在性能验证方面，Blitzcrank 通过 TPC-C 基准测试和微基准测试进行了全面评估。实验结果表明，Blitzcrank 在解压缩单个元组时实现了亚微秒级的延迟，并且显著减少了内存占用。在图 2 所示的 TPC-C 测试中，系统实现了 85% 的内存节约，仅伴随 19% 的吞吐量下降。对于数据集大小超过物理内存容量的场景，Blitzcrank 能有效延缓 I/O 开销主导性能下降的时间，从而显著提高数据库的事务吞吐率。

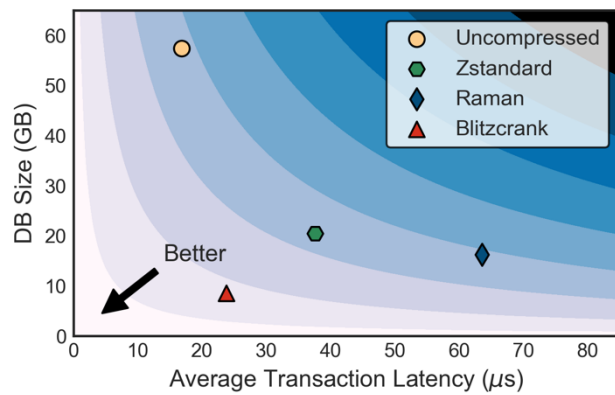


图 2 数据库大小与延迟对比 - Blitzcrank 在 TPC-C 基准测试中相较于其他工具，更优地平衡了数据库大小与延迟的权衡关系

该研究不仅突破了内存数据库在动态数据集压缩中的性能瓶颈，还提出了一个适用于不同数据类型的高效压缩通用框架。图 2 显示，与其他方法相比，语义模型与延迟编码的结合在满足高速压缩与解压缩需求方面显著提升了系统性能。凭借其广泛的适用性，该方法在未来的 OLTP 系统中展现出重要的应用潜力，尤其是在处理动态数据且对低延迟有严格要求的场景中。

该成果研究论文：Yiming Qiao, Yihan Gao, and Huachen Zhang, "Blitzcrank: Fast Semantic Compression for In-Memory Online Transaction Processing", Proc. VLDB Endow. 17, 10 (June 2024), 2528 – 2540.

### 三、理论算法

主要完成人: Josh Alman(哥伦比亚大学)、段然、Virginia Vassilevska Williams (MIT)、徐寅展(USCD)、徐梓萱 (MIT) 、周任飞 (CMU)

#### 矩阵乘法算法复杂度的进一步改进

矩阵乘法是算法领域最基础的问题之一，不仅很多矩阵运算都可归约到矩阵乘法，而且很多算法都可用矩阵乘法算法加速。矩阵乘法的时间复杂度一般被写做  $O(n^{\omega})$ 。近日，交叉信息院段然副教授与姚班校友周任飞以及国外的研究者合作改进了矩阵乘法的计算复杂度，新的复杂度上界为  $\omega < 2.371339$ ，论文已被 SODA 2025 接收。

这个成果在 [Duan, Wu, Zhou FOCS 2023] 和 [V. Williams, Xu, Xu, Zhou SODA 2024] 两篇论文的基础上提出了三维均非对称的哈希方法，进一步弥补了 CW 方法中的组合损失。论文还改进了长方形矩阵乘法的复杂度。

该成果研究论文: Alman, Duan, V. Williams, Xu, Xu, Zhou, “More Asymmetry Yields Faster Matrix Multiplication” , accepted to SODA 2025.

作者 (年份)	$\omega$ 的上界
Strassen (1969)	2.8074
Pan (1978)	2.796
Bini, Capovani, Romani (1979)	2.780
Schönhage (1981)	2.522
Coppersmith, Winograd (1981)	2.496
Strassen (1986)	2.479
Coppersmith, Winograd (1990)	2.375477
V. Williams (2013)	2.372927
Le Gall (2014)	2.372864
Alman, V. Williams (2020)	2.372860
Duan, Wu, Zhou (2023)	2.371866
V. Williams, Xu, Xu, Zhou (2024)	2.371552
Alman, Duan, V. Williams, Xu, Xu, Zhou (2025)	2.371339

# 量子信息科学

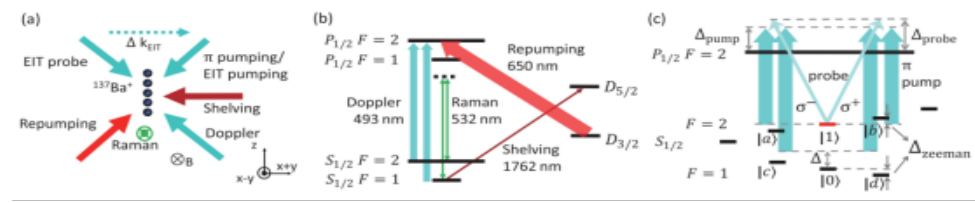
# 一、离子阱量子计算与模拟

主要完成人：段路明研究组、吴宇恺研究组

## 实现基于磁感应透明 (EIT) 效应的声子基态冷却

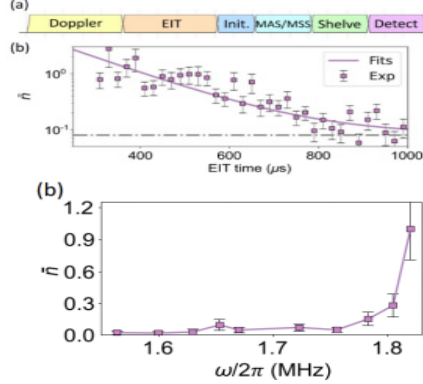
离子阱是一个强大而多功能的平台，在量子信息处理 (QIP)、精密光谱学和基础物理测试等领域具有广泛的应用。

为了实现高保真量子信息处理，研究人员需要将离子的相关运动模式冷却到尽可能低的温度。电磁感应透明 (EIT) 冷却可提供较快的冷却速率和较宽的冷却带宽，同时保持较低的冷却极限 ( $n^- \approx 0.1$ )，使其成为大离子晶体量子计算和量子模拟的合适冷却方法。然而，对于在低或中等磁场下具有高核自旋  $I > 1/2$  的离子，由于难以找到孤立的  $\Lambda$  能级结构，如何实现有效的 EIT 冷却是具有挑战性的。



图一  $^{137}\text{Ba}^+$  的相关能级与打光方案

在该工作中，研究人员演示了用  $^{137}\text{Ba}^+$  离子 ( $I=3/2$ ) 进行 EIT 冷却。研究人员修改了用于量子比特状态初始化的激光设置，以在开放系统中执行 EIT 冷却。尽管在 EIT 冷却过程中  $S$  态所有 zeeman 能级都涉及到动力学演化，但 EIT 泵浦光束同时作为再泵浦光束，将所有态保持在冷却子空间中。研究人员在实验上将单个  $^{137}\text{Ba}^+$  离子的两种径向模式声子分别冷却到 0.08 和 0.15。通过使用相同的激光参数，研究人员进一步将五个离子链的所有径向模式冷却到接近基态。



图二 单离子与五离子冷却结果

该论文介绍了一种适用于在低磁场下具有高核自旋的离子种类的 EIT 冷却方案，并成功在单个  $^{137}\text{Ba}^+$  离子和五离子链上实现了该方案，获得了远低于多普勒冷却的平均声子数极限。此方案可以自然地拓展到其他具有高核自旋的离子 / 原子种类，并且可为大规模高核自旋离子晶体提供有效的冷却机制。

该成果研究论文：Chuanxin Huang, Chenxi Wang, Hongxuan Zhang, Hongyuan Hu, Zuqing Wang, Zhichao Mao, Shijiao Li, Panyu Hou, Yukai Wu, Zichao Zhou, Luming Duan, "Electromagnetically Induced Transparency Cooling of High-Nuclear-Spin Ions", Phys. Rev. Lett. 133, 113204(2024).

# 首次在二维离子阵列上实现全连通的量子纠缠逻辑门

离子阱系统由于其高保真度的量子操作和长程的量子纠缠连通性等优势，被认为是最有希望实现大规模通用量子计算的实验平台之一，但如何扩展离子量子比特的数量，仍是当前研究中有待解决的重要问题。近期，研究人员提出基于二维离子阵列的规模化方案并实现了300量子比特的全局量子模拟，但二维离子阵列的寻址及量子纠缠逻辑门尚未在实验中实现。

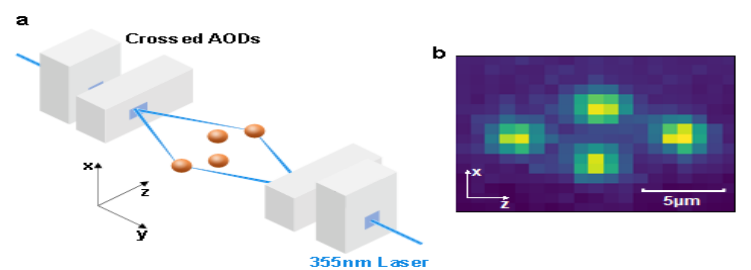


图1 基于声光偏转器的二维寻址方案和实验所用四离子二维阵列图像

研究人员利用正交放置的声光偏转器实现激光的二维寻址，并通过对称光路实现四离子二维阵列中任意离子的拉曼跃迁，得到了低于0.08%的串扰误差。研究人员进而同时寻址同一行或同一列两个目标离子，利用对激光的相位调制分别得到98.6%和98.4%的两比特量子纠缠逻辑门保真度。

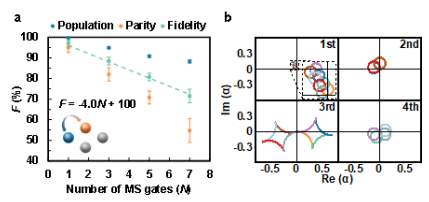


图2 利用交替寻址方案实现斜向离子对的两比特量子纠缠逻辑门

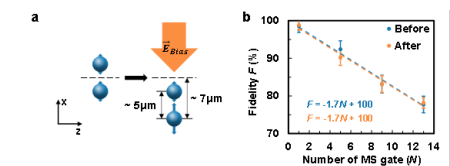


图3 离子微运动对两比特量子纠缠逻辑门的影响

为实现全连通的量子纠缠逻辑门，研究人员设计了交替寻址两个目标离子的量子纠缠逻辑门方案，以克服杂散光斑造成的串扰误差，并将其应用于斜向离子对，得到了96%的保真度。为了进一步将该方案扩展至更大规模的二维离子阵列，研究人员分析了离子微运动对于逻辑门的影响，实验验证了其效应可通过重新校准寻址光功率来进行补偿。该工作为基于二维离子阵列的大规模通用量子计算方案铺平了道路。

该成果研究论文：Y.-H. Hou, Y.-J. Yi, Y.-K. Wu, Y.-Y. Chen, L. Zhang, Y. Wang, Y.-L. Xu, C. Zhang, Q.-X. Mei, H.-X. Yang, J.-Y. Ma, S.-A. Guo, J. Ye, B.-X. Qi, Z.-C. Zhou, P.-Y. Hou & L.-M. Duan, "Individually Addressed Entangling Gates in a Two-Dimensional Ion Crystal", *Nature Communications* (2024).

# 首次在离子阱量子模拟器上观测到拓扑缺陷的量子叠加

拓扑缺陷作为一个基本的数学概念，在磁学、高温超导、大统一理论、宇宙学等物理领域具有广泛的应用。此前的实验研究通常只关注拓扑缺陷密度等经典性质，虽然有理论工作预言了拓扑缺陷的量子叠加态，并将其应用于理解量子相变的动力学过程，但该现象的实验观测受到整个量子系统的退相干和量子态制备与测量误差的限制而难以实现。

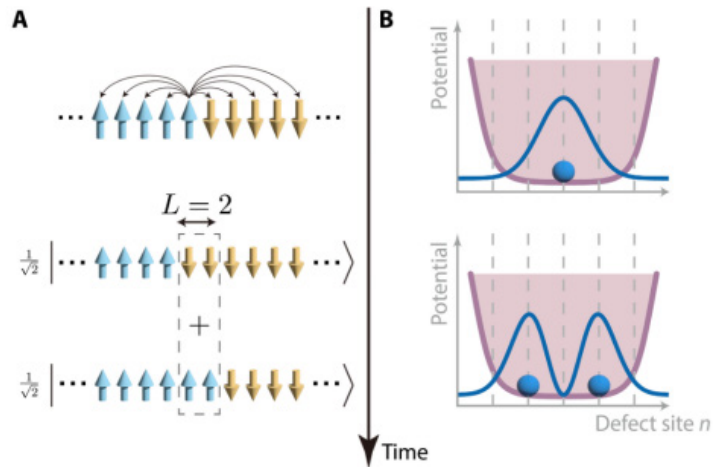


图 1 自旋扭结随时间演化产生不同空间位置量子叠加态的示意图

研究人员通过对各个离子量子比特的单独寻址操控，在 20 个离子的一维离子链上制备了单个自旋扭结的初态。研究人员进而利用长程相互作用的横向伊辛模型实现平缓的自旋扭结有效势场，观察到自旋扭结在动力学演化过程中由于量子干涉效应分裂成位于不同位置的叠加态。

为了明确验证拓扑缺陷叠加态的量子相干性，研究人员进一步利用 21 离子制备了自旋扭结在相邻位置的量子叠加态。通过控制该叠加态的相对相位，研究人员观察到自旋扭结选择性地向不同方向传播，从而排除了经典概率的传播方式，验证了叠加态的量子相干性。

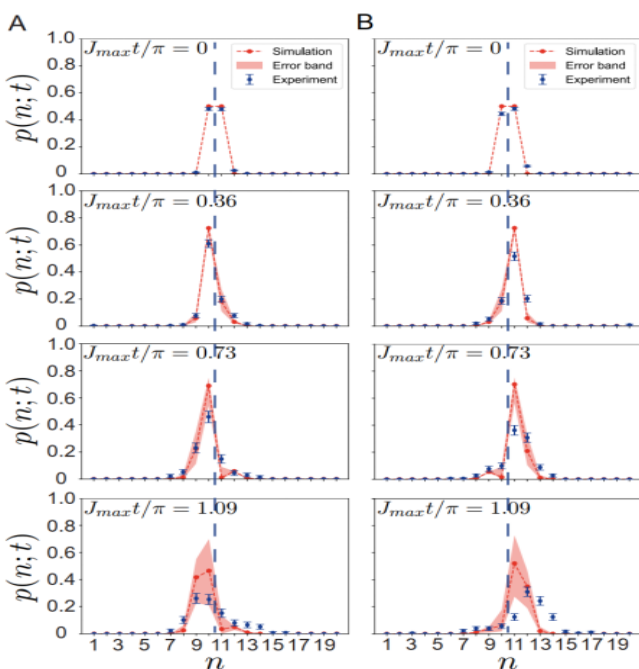


图 2 实验观测自旋扭结传播方向对初始叠加态相位的依赖关系

该成果研究论文: Zhi-Jie Cheng, Yu- Kai Wu, Shi-Jiao Li, Quan-Xin Mei, Bo-Wen Li, Gang-Xi Wang, Yue Jiang, Bin-Xiang Qi, Zi-Chao Zhou, Pan-Yu Hou, Lu- Ming Duan, "Observation of quantum superposition of topological defects in a trapped ion quantum simulator", *Science Advances* (2024).

# 实现适用于长程伊辛耦合的三百离子量子比特的哈密顿量学习

基于数百量子比特的量子模拟器，具有求解超越经典计算机直接模拟能力的量子多体模型的强大能力。然而，实现对量子比特相互作用哈密顿量的定量标定，即哈密顿量学习，是量子模拟器普适应用的先决条件。在此之前，对数百量子比特的哈密顿量学习仍具有挑战性：量子过程层析方法的复杂度会随着量子比特数目指数增加，而此前其它的哈密顿量学习算法通常需要制备给定哈密顿量的基态或热态作为量子资源，或是需要实现高保真度、单独寻址的量子逻辑门，在很多量子模拟器上难以实现。段路明研究组首次实现了适用于长程伊辛耦合的300离子量子比特的哈密顿量学习。

段路明研究组利用低温一体化离子阱囚禁了300离子构成的二维离子晶格（图1A），并搭建激光、设计实验序列实现特定哈密顿量下的动力学演化（图1B）。研究人员利用离子阱量子模拟器的单点分辨能力，探测不同演化时间下的量子比特信息（图1C-D），通过对实验数据进行拟合（图1E），得到任意两体哈密顿量项的矩阵元（图1F）。

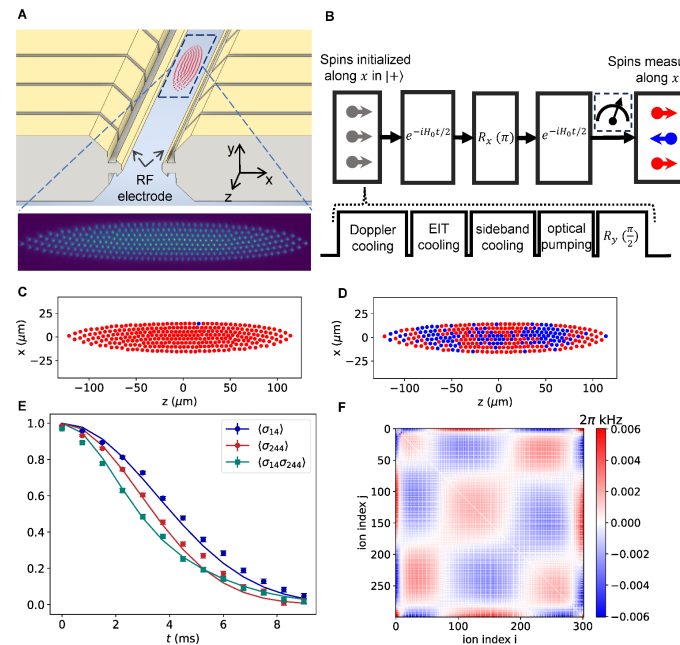


图1 哈密顿量学习方案示意图

为进一步验证实验拟合标定的哈密顿量，研究人员计算了多体量子比特关联函数的演化（图2）。结果表明，任意选取三体、四体、五体量子比特，基于哈密顿量学习预测的关联函数（实线），与实验直接测得的关联函数（矩形标记）之间仍高度相符，进而验证了哈密顿量学习结果的可信性。

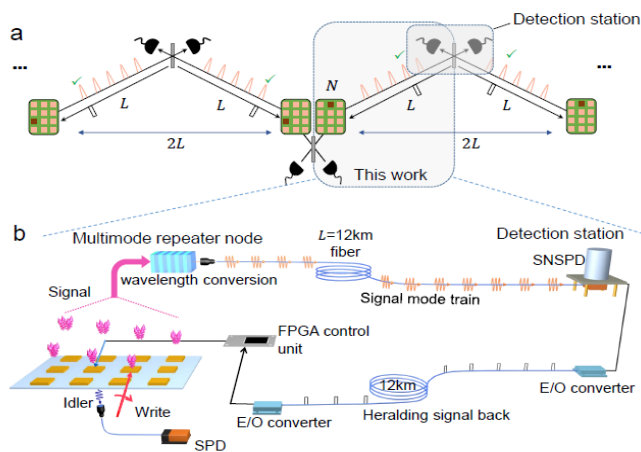
该成果研究论文：S.-A. Guo, Y.-K. Wu, J. Ye, L. Zhang, Y. Wang, W.-Q. Lian, R. Yao, Y.-L. Xu, C. Zhang, Y.-Z. Xu, B.-X. Qi, P.-Y. Hou, L. He, Z.-C. Zhou, L.-M. Duan, "Hamiltonian learning for 300 trapped ion qubits with long-range couplings", *Science Advances* (2024).

## 二、量子中继

主要完成人：濮云飞研究组、段路明研究组

实现多模增强的 12 公里量子中继节点，接近城际量子网络扩展阈值

量子网络和量子中继是未来实现超大规模量子计算，洲际量子通讯，全球量子互联网，超高精度量子精密测量的必经之路。量子网络规模扩展的难点在于，网络节点之间通过光子干涉产生预报式纠缠所消耗的时间必须小于量子网络节点的相干时间（即“信道效率”大于 1），在这种情况下量子网络才能通过纠缠交换的方法实现规模扩展，以及有效利用多对（大于等于 2）远距离量子纠缠。因此，信道效率大于 1 是量子网络扩展的条件。目前，信道效率大于 1 只能在实验室规模（光纤长度约为 10m）的量子网络上实现。对于城际规模（光纤长度大于 10 公里）的量子网络，由于光在光纤中的传播时间限制，单次纠缠尝试所消耗的时间很长（约为百微秒量级）。因此而导致的低实验重复率极大地限制了远距离纠缠的产生速率，所以目前全世界已经实现的城际距离量子网络最高的信道效率也小于 0.01。



多模复用的量子中继架构。通过依次激发 70 个独立可寻址的空间阵列存储器单元，产生 280 个时分 (time-bin) 光子模式。光子模式通过波长转换装置转换为通讯波段，在经过 12 公里光纤传输后在探测器上被探测

在该工作中，濮云飞、段路明研究组通过对总共 280 个 DLCZ 量子存储器模式（70 个独立可寻址的存储单元和 4 个不同的角度模式）的时分复用，将 12 公里的长光纤全部填满。在这种情况下，单次纠缠尝试所需要的时间从 120 微秒降低到 850 纳秒，将实验重复率提高了 140 倍，从而实现远程原子 - 光子量子纠缠的超快分发。信道效率达到目前世界最佳记录 0.46。同时这也是城际量子网络信道效率首次达到接近于 1 这个量级的里程碑。未来如果通过单光子纠缠的方式连接两个这种量子中继节点，可以达到 0.92 的信道效率，将有望达到城际量子网络的扩展阈值，使未来的多节点 (>2) 量子中继和量子网络成为可能。

该成果研究论文：Sheng Zhang, Jixuan Shi, Yibo Liang, Yuedong Sun, Yukai Wu, Luming Duan, Yunfei Pu, "Fast delivery of heralded atom-photon quantum correlation over 12km fiber through multiplexing enhancement", Nature Communications(2024).

# 三、量子计算

主要完成人：马雄峰研究组

## 量子魔力在浅层电路计算任务中的无条件优势

目前学术界广泛认为量子理论能够在计算能力上超越经典方法，带来量子优势。著名的 Gottesman-Knill 定理表明，量子计算的潜力源于“魔力”态这一特殊资源，它也被视为实现通用量子计算的关键。然而，魔力态是否真的带来预期的量子优势仍然存在争议。在先前的研究中，还未曾证明不需要计算复杂性假设或黑盒神谕机的量子魔力优势。

在该研究中，马雄峰研究组成员张行健、潘昭恺、刘国定首次证明了无条件的魔力优势，展示了浅层（常数深度）量子电路与没有魔力态的对应电路之间计算能力的差异。为此，研究组成员将浅层电路计算与量子伪远程传输 (quantum pseudo-telepathy)——相互不能通信的观察者能够生成完美同步的统计关联——这一最强形式的量子非局域性联系起来，理论证明了量子魔力在特定的非局域博弈中对产生相关统计关联是不可或缺的，揭示了魔力态在量子非局域性中的关键作用和优越性。

进一步，研究组成员将量子伪远程传输的生成转化为计算任务（图 1），证明了魔力态对于浅层电路完成该任务是必需的。同时，研究组成员还构造了多项式时间经典算法，用于判断一般线性二元约束系统在泡利群中是否存在解，而这一类约束系统在更广泛的情况下通常不可判定。

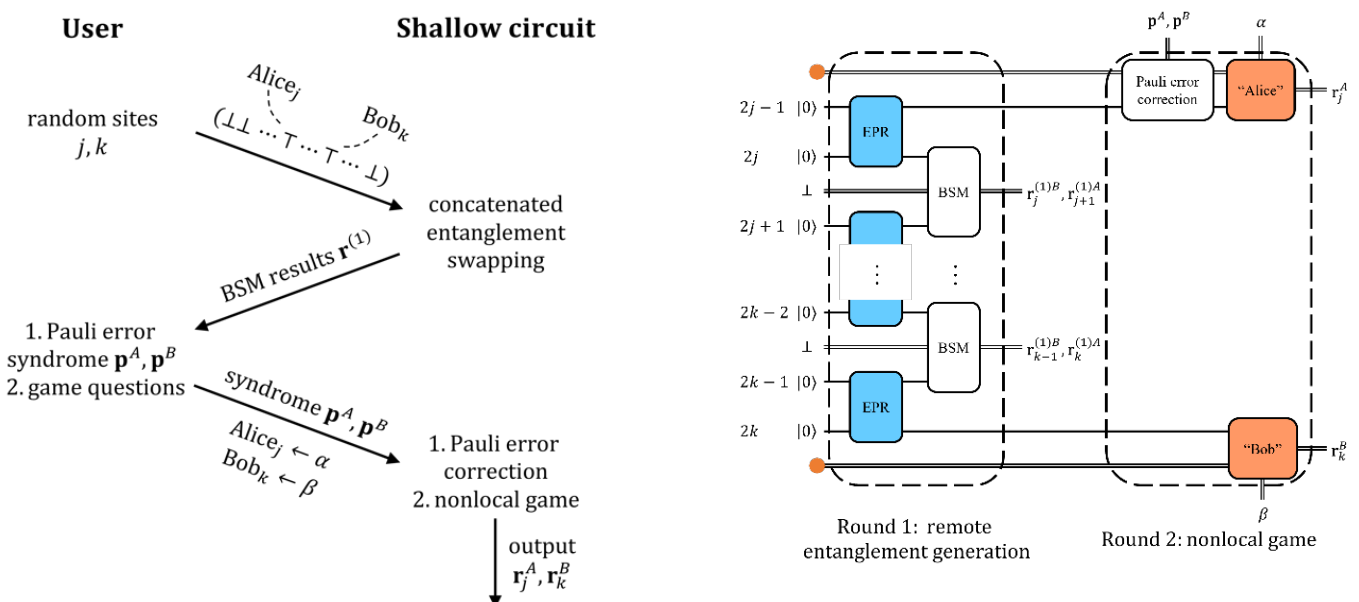


图 1 计算任务描述示意图（左）与浅层量子电路构造（右）

这项研究的结果预示着量子魔力态无条件优势的确立，为通用量子计算的最终实现提供了新的视角。这一突破有望推动量子计算领域的理论发展，并为未来的量子计算应用奠定坚实的基础。

该成果研究论文：Xingjian Zhang, Zhaokai Pan & Guodong Liu, "Unconditional quantum magic advantage in shallow circuit computation", Nature Communications(2024).

# 多量子比特控制相位门的群捻转与噪声调节方案

与调节，对于实现高保真度量子门十分重要。在随机基准测试和随机编译中，群捻转（Group twirling）起着至关重要的作用。虽然基于泡利群旋转（Pauli twirling）的方法已被有效开发，并被用于将任意噪声通道转化为泡利通道，这一方法主要适用于克里福德门（Clifford gates）。针对多量子比特非克里福德门的群捻转方案仍有空缺。

为了解决这一问题，马雄峰和团队博士生刘国定及本科生谢子怡、徐子泰提出了适用于多量子比特非克里福德门的群捻转方案。研究的重点是多量子比特控制相位门（multiqubit controlled phase gates）。这种门不仅在量子算法中至关重要，而且在实验中也可以直接实现。研究团队在经典可替代操作的范围内，提出了针对多量子比特控制相位门的最优的群捻转方案。基于这一方案，团队设计了新的多量子比特控制相位门基准测试协议。通过模拟实验，结果表明，这种新方案能够提高小规模系统中基准测试的精度和准确性，为多量子比特非克里福德门的标定和噪声调控奠定了基础。

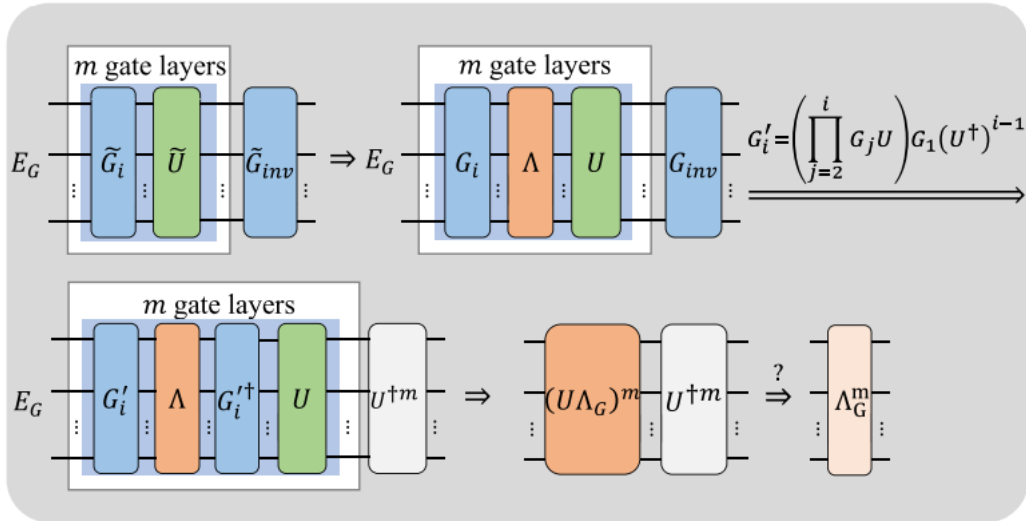


图 2 随机基准测试和群捻转示意图

该成果研究论文: Guoding Liu, Ziyi Xie, Zitai Xu, Xiongfeng Ma, "roup twirling and noise tailoring for multi-qubit controlled phase gates", Phys. Rev. Research 6, 043221.

# 量子过程非线性特性的鲁棒估计方法

量子过程特性的准确且鲁棒估计对量子信息处理和多体物理学研究至关重要。之前的学者通过结合经典影像断层扫描 (classical shadow tomography) 和随机基准测试 (randomized benchmarking) , 提出了一种方法, 用于估计量子过程的线性特性。该方法可以抵抗态制备和测量的错误。然而, 如何将这一协议拓展到估计量子过程的非线性特性仍然是一个亟待解决的问题。

在此工作中, 马雄峰和其团队博士生刘国定、刘振寰以及本科生王雨晴等设计了可以抵抗状态制备和测量错误的非线性过程特性估计方案。研究团队提出了两种新的估计协议, 这两种协议都采用随机门序列的框架, 拥有相同的量子过程, 但在后处理方法上有所不同, 使其能够测量不同的非线性特性。第一个协议可以用于估计 out-of-time-ordered correlation, 并通过数值模拟在伊辛模型中进行了验证。第二个协议可以用于估计酉性 (unitarity), 能够有效表征量子信道的非相干性。这两种新的估计协议为研究量子多体物理学和量子过程的特性提供了强有力的工具。

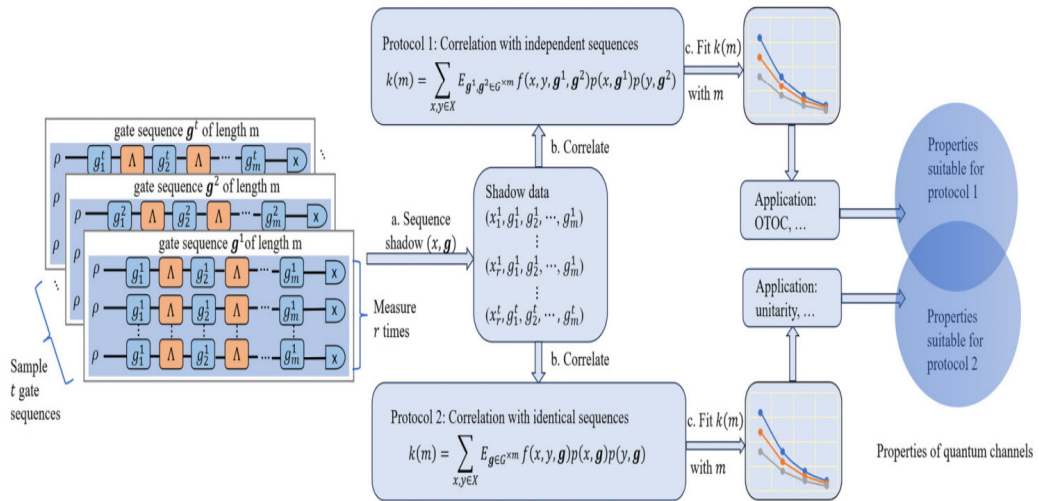


图 3 基于随机门序列的量子过程非线性性质估计方案工作流

该成果研究论文: Yuqing Wang, Guoding Liu, Zhenhuan Liu, Yifan Tang, Xiongfeng Ma, Hao Dai, "Robust estimation of nonlinear properties of quantum processes", Phys. Rev. A 110, 032415.

# 量子密钥分发的优势提纯框架

量子密钥分发承诺提供信息理论上的安全通信，其中数据后处理在从原始数据中提取安全密钥方面起着至关重要的作用。尽管硬件进展显著改善了量子密钥分发的实际表现，但优化后处理技术为提高性能提供了一条成本效益高的途径。优势提取超越了标准的信息协调和隐私放大，在多种后处理方法中发挥了重要作用。然而，最佳的后处理方法仍然是一个未解之谜。因此，开发一个综合框架来概括和增强这些现有方法显得尤为重要。

在该研究中，马雄峰及其团队成员杜振宇、刘国定和张行健博士，提出了一个量子密钥分发的优势提取框架，旨在对现有的密钥提取协议进行概括和统一。受纠缠提纯的启发，该框架不仅整合了当前的技术，还对其进行改进。特别是，通过使用经典线性码，该框架在某些场景下实现了更高的密钥速率。此外，该文给出了在后处理过程中未使用一次性加密的情况下的密钥率。他们的方法为现有协议提供了新的见解，并为量子密钥分发的进一步改进提供了系统化的思路。

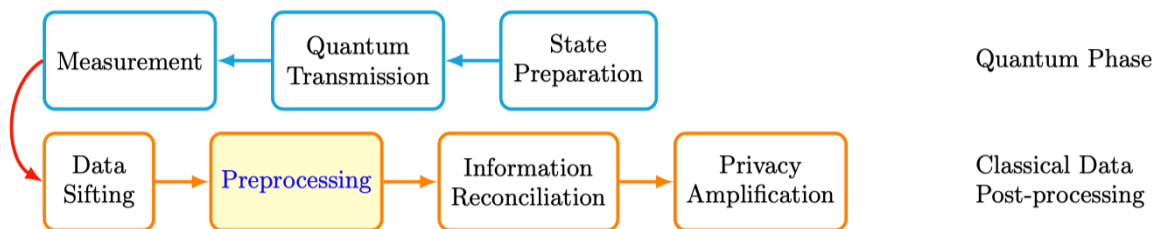


图 4 量子密钥分发的过程。该文的分析集中在预处理阶段

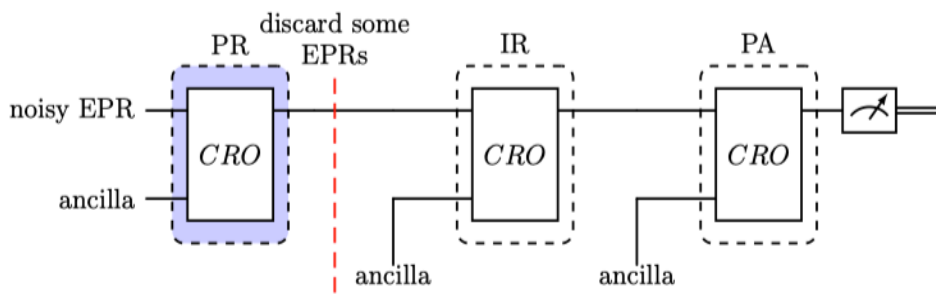


图 5 优势提取框架

该成果研究论文：Zhenyu Du, Guoding Liu, Xingjian Zhang and Xiongfeng Ma, "Unconditional quantum magic advantage distillation for quantum key distribution", Quantum Sci. Technol. 10 015050.

# 模拟量子系统中的量子态学习

量子学习，即提取目标量子系统或者量子过程的性质，是量子信息处理任务中至关重要的环节。现阶段研究者们已经提出了诸多高效的量子学习协议，例如量子层析，相干量子测量等。然而，实际物理平台中的实验总是会受到平台性质的影响，可行的实验操作会受到一定程度的限制。例如模拟量子处理器（Analog Quantum Simulator）是现阶段一种重要的量子计算路线，通过模拟某种量子多体演化来解决特定的量子多体问题。在这种量子系统中，只有一些特定的量子操作被允许，例如系统本征哈密顿量的演化。由于这种限制的存在，现阶段基于模拟量子处理器的量子实验被局限于一些简单物理量的测量上。

在这一工作中，马雄峰研究组成员，博士生刘振寰与本科生郝子涵以及其他合作者合作，提出了利用模拟量子系统进行量子态学习的高效方案。使用这一方案，实验者只需要对量子系统执行同一个哈密顿量的不同时间演化即可有效估计出量子态的全部信息。并且这一方案对哈密顿量的要求很低，适用于很多种类的模拟量子设备。

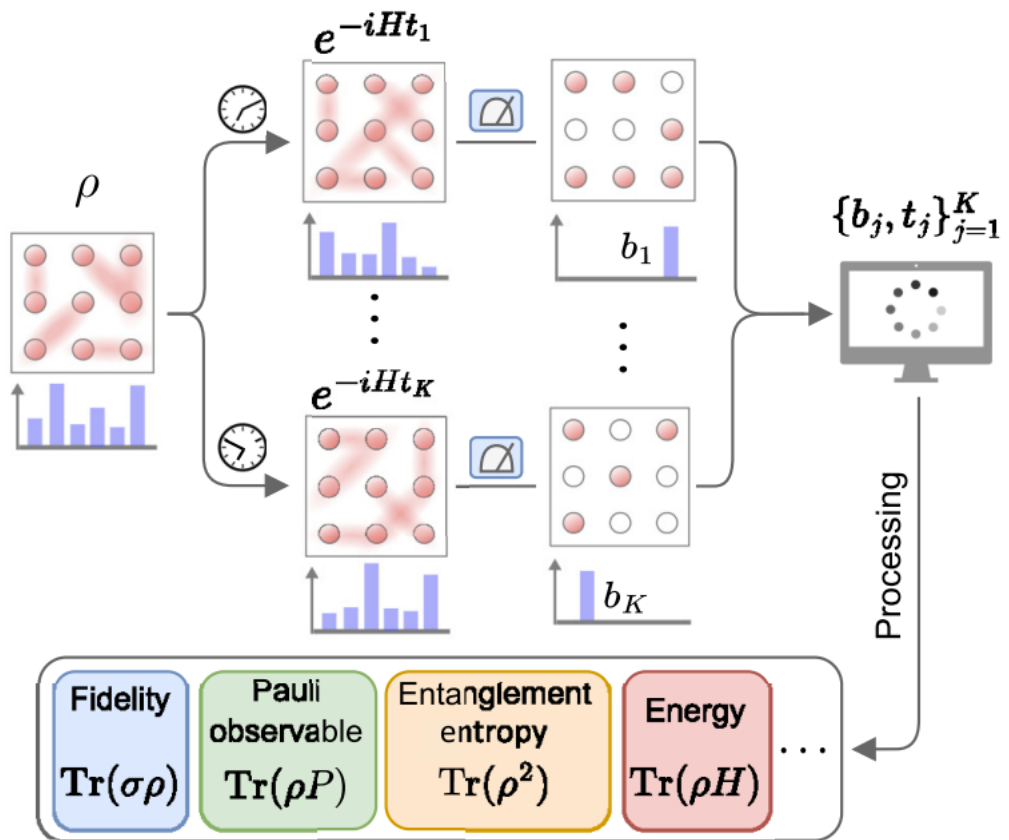


图 6 利用单一哈密顿量时间演化进行量子态学习

该成果研究论文：Zhenhuan Liu, Zihan Hao and Hong-Ye Hu, "Predicting arbitrary state properties from single Hamiltonian quench dynamics", Phys. Rev. Research 6, 043118.

## 纠缠、测量非对易性和非局域性间的相互作用

贝尔定理揭示了量子理论与局部隐变量模型之间的根本不兼容性，从而突出了量子非局域性、纠缠和测量非对易性这三种关键的量子资源。这些资源不仅对量子基础有重要意义，在量子密码学领域也扮演着至关重要的角色。尽管纠缠和测量非对易性同时作为展现非局域性的必要条件，它们与非局域性之间的定量关系却是复杂的。非局域性提供了一种在设备不可信的条件下，进行设备无关纠缠估计的有效途径。另一方面，测量非对易性作为非局域性的另一个必要条件，其作用往往被忽视。

在该项研究中，马雄峰及其团队成员张行健和朱雨薇，基于一类参数化的 CHSH 型贝尔不等式，对纠缠形式、纠缠的负性以及单向可蒸馏纠缠等多种纠缠度量进行了深入分析，并给出了这些纠缠度量的精确解析和数值下界。研究进一步探讨了在实际量子信息处理任务中，如何通过优化贝尔不等式的参数来提高纠缠估计的准确性。此外，研究还指出，在限定系统为两量子比特的条件下，将测量非对易性纳入考量，会发现非局域性、纠缠和测量非对易性三者之间存在非直观的相互作用关系：在固定非局域性的条件下，系统达到最小纠缠时，所采用的测量策略一般并非是最大非对易性测量。这一发现为理解和利用量子资源提供了新的视角。

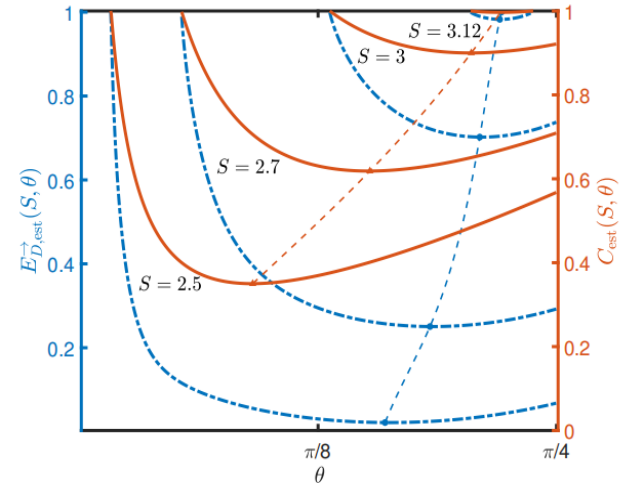
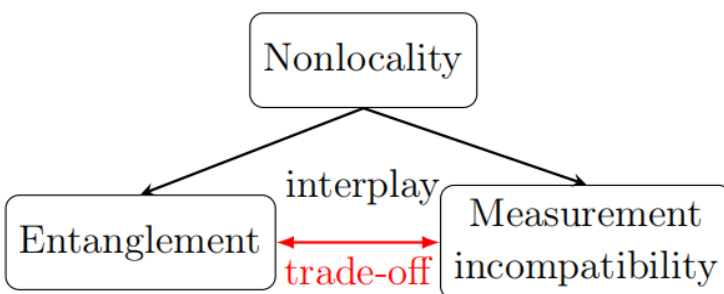


图 7 非局域性、纠缠和测量非对易性的相互关系

该成果研究论文: Yuwei Zhu, Xingjian Zhang and Xiongfeng Ma, "Interplay among entanglement, measurement incompatibility, and nonlocality", Quantum Science and Technology(2024).

# 四、超导量子计算

主要完成人：孙麓岩研究组

## 通过无粒子数交换相互作用实现的量子态传输

量子态传输在量子通讯、量子网络等领域中起着关键的作用。传统的量子态传输大多是通过直接交换携带量子信息的粒子来实现的。与之对应的，量子隐形传态（Quantum teleportation）则利用预先共享的纠缠态和经典通信实现量子信息的传递，在整个过程中没有粒子数的交换。但是量子隐形传态是针对二能级量子比特设计的，对于高维度的玻色模式量子态并不适用。

孙麓岩教授研究组与其合作者提出并在实验上演示了一种新型的玻色模式态传输的方法。该方法利用双模压缩相互作用实现了两个超导谐振腔之间的量子态传输。与量子隐形传态类似，该方法在整个过程中没有任何粒子数的交换；但与量子隐形传态不同的是，该方法实现的态传输过程是连续的，且对于两个腔是完全对称的。这个工作还演示了对二项式编码的高维度逻辑态传输，证明了该方法与玻色模式量子纠错的兼容性。该研究突破了传统量子态传输的模式，不仅为量子计算和量子通信的发展提供了新的视角，还为未来构建高效分布式量子网络奠定了基础。

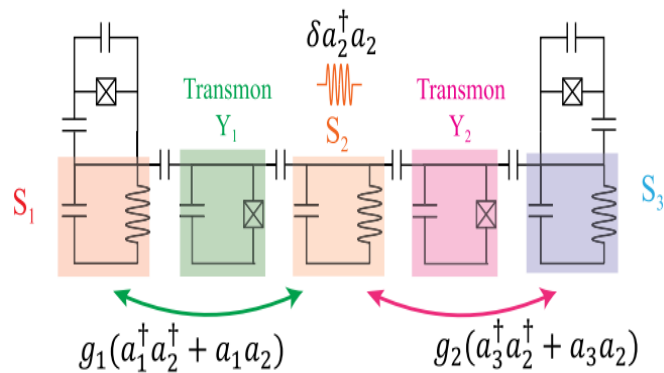


图 1 在空间隔离的两个超导腔 S<sub>1</sub> 和 S<sub>3</sub> 之间，通过无粒子数交换的相互作用，实现了玻色模式之间的量子态传输

该成果研究论文：Jie Zhou, Ming Li, Weiting Wang, Weizhou Cai, Ziyue Hua, Yifang Xu, Xiaoxuan Pan, Guangming Xue, Hongyi Zhang, Yipu Song, Haifeng Yu, Chang-Ling Zou, Luyan Sun, "Quantum State Transfer between Superconducting Cavities via Exchange-Free Interactions", Physics Review Letters 2024.

# 广义量子操作的无歧义辨别

量子对象的辨识在量子力学中至关重要，因为它通过区分和识别量子态和量子操作，使得量子信息的提取成为可能。这一能力构成了多种量子技术的基础，例如量子通信、量子密码学和量子传感。以量子传感为例，探测信号与不同介质的相互作用形成量子操作，通过对这些操作的辨识，可以实现对目标物体或环境噪声的检测。在这些应用中，完美辨别是极其理想的；然而，完美辨别仅在区分一组正交态或操作时才有可能实现，无法适用于一般的量子态和量子操作。因此，找到并实施一种能够最优辨别一组一般量子态或量子操作的策略，成为量子信息科学中的一项基本挑战。其中最具吸引力的策略之一是无歧义辨别。

与传统辨别方法不同，无歧义辨别能够在单次实验中以一定概率辨别出被测对象是一组非正交量子态或量子操作中的哪一个（图 1）。无歧义辨别通常需要通过广义量子测量（POVM）来实现，而无法依赖于简单的幺正操作或常规的投影测量。为了克服这一难题，孙麓岩研究组采用开放量子系统控制技术，实现任意广义的量子测量，从而成功地在实验上实现了对广义量子操作的无歧义辨别。

孙麓岩与合作者在开放量子系统控制技术方面取得了重要突破。他们通过任意广义的量子测量，首次在实验上实现了对广义量子操作的无歧义辨别。这不仅展示了开放量子系统控制技术的进步，也展示了该技术在量子传感领域的巨大应用潜力。在此研究中，研究团队将探测态与一组四重位移操作分别相互作用，并依据探测态和待辨别量子操作的已知信息构造出一组具有最优成功概率的广义测量，最终使用这一广义测量对携带有待区分操作信息的探测态进行辨别。该研究展示的对四重位移操作的无歧义辨别，达到了迄今为止最高的成功概率，且实验结果接近理论上限（图 2）。此外，研究团队还首次实现了对一组多达六重位移操作的无歧义辨别（图 2）。不仅如此，该团队还首次将无歧义辨别扩展到非幺正操作，在高维量子系统上实现了对一组块退相位（block-dephasing）操作和一组块 Pauli（block-Pauli）操作的各自无歧义辨别（图 3）。这一成就标志着该研究将常规的量子信息处理任务从封闭量子系统拓展至开放量子系统。总而言之，该研究开创性地实现了对广义量子操作（幺正与非幺正）辨别的实验验证，不仅为量子信息处理提供了强有力的工具，拓宽了量子信息处理的应用对象，还将极大地推动量子传感等新兴应用领域的发展。

该成果研究论文：Weizhou Cai, Jing-Ning Zhang, Ziyue Hua, Weiting Wang, Xiaoxuan Pan, Xinyu Liu, Yuwei Ma, Ling Hu, Xianghao Mu, Haiyan Wang, Yipu Song, Chang-Ling Zou, Luyan Sun, "AUnambiguous discrimination of general quantum operations", *Science Advances* 2024.

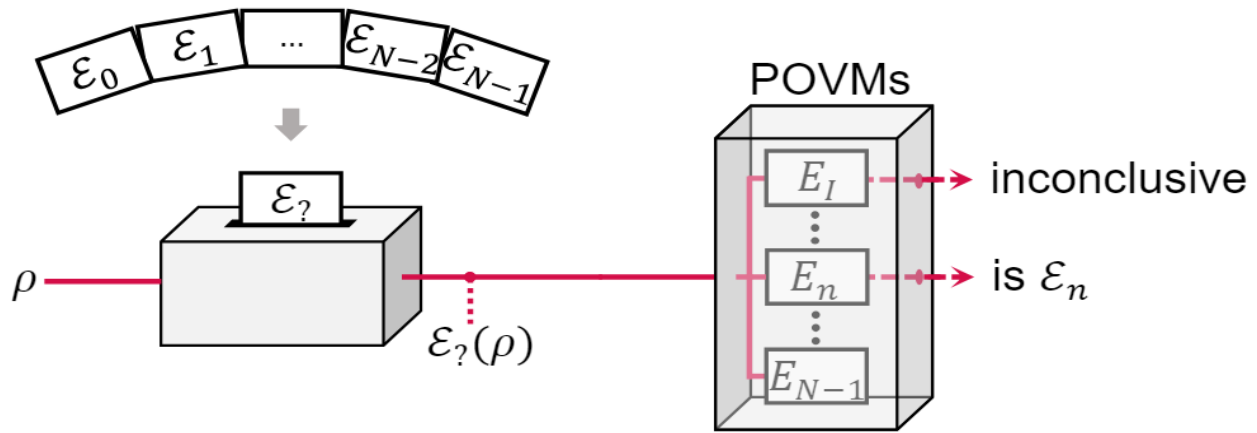


图 1 无歧义辨别广义量子操作的概念图

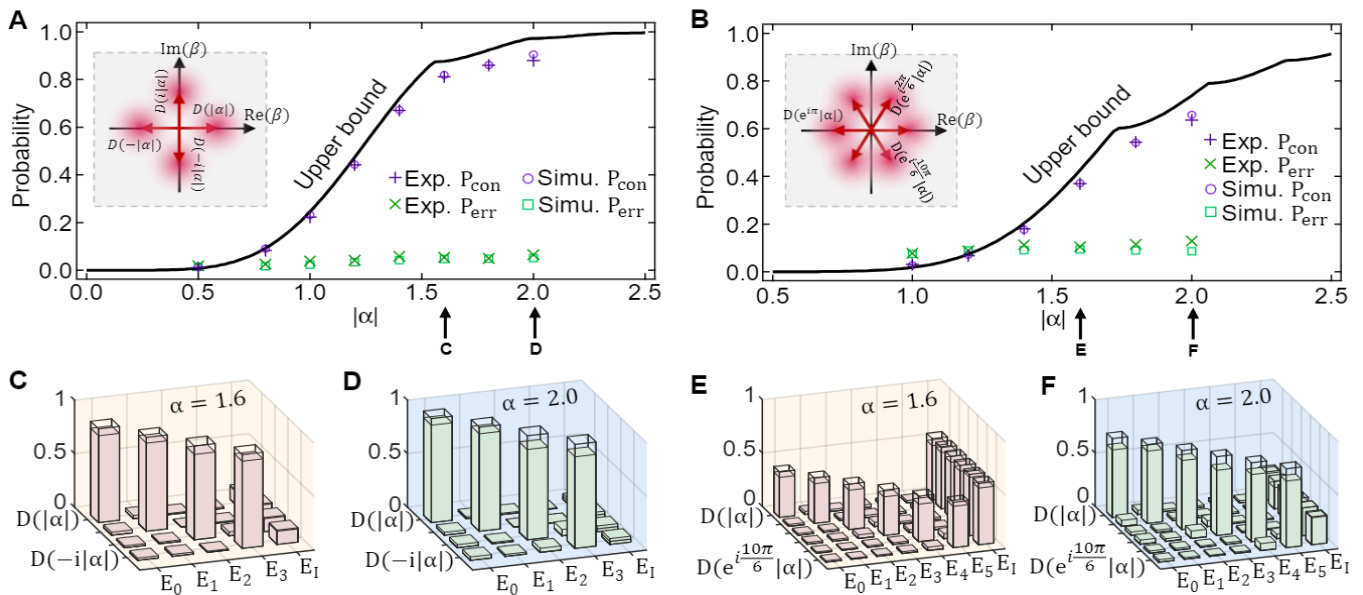


图 2 无歧义辨别幺正 (四重、六重位移) 操作

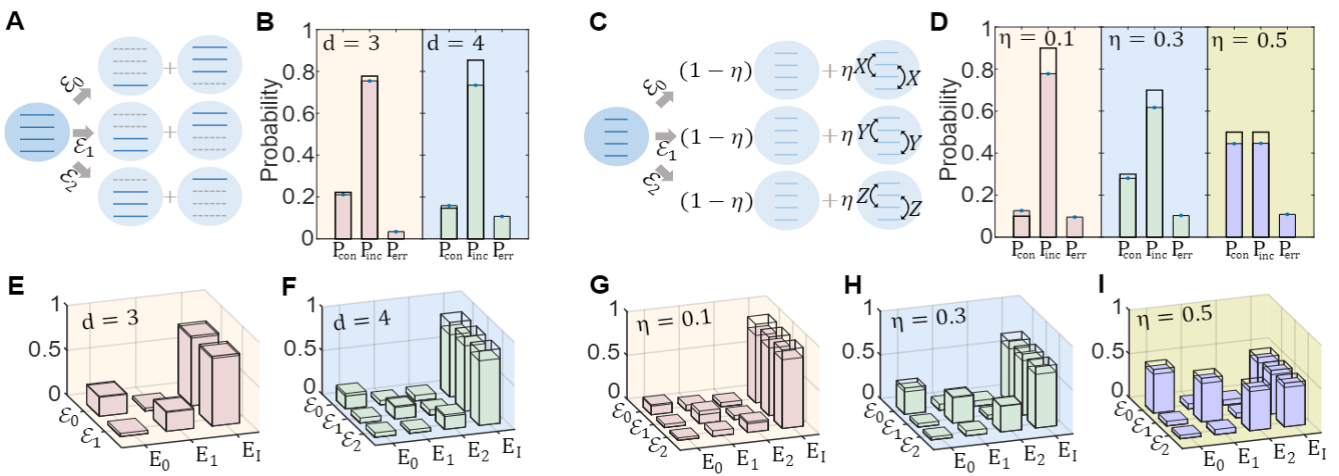


图 3 无歧义辨别非幺正 (块退相位、块 Pauli) 操作

# 基于布里渊相互作用的微波光波的量子转换方案

在实现分布式量子计算和量子网络的道路上，微波与光波间的量子级别高效转换一直是全球量子技术领域的关键科学问题和技术难点。

孙麓岩研究组提出了一种在芯片上实现微波到光波转换的新型方案，该方案基于铌酸锂 - 蓝宝石芯片上的腔增强布里渊相互作用（图 1），旨在实现微波光波的量子频率转换。通过双微环腔设计和几何色散的调整，实现了反向布里渊过程的三重共振和相位匹配条件，从而在声子和光子模式之间实现强真空耦合强度。数值分析预测，在亚毫瓦泵浦功率下可实现近于完美的内部转换效率。该方案不仅提供了一种新的实用量子频率转换设计方法，而且由于其全固态非悬挂结构，具有优越的机械稳定性和鲁棒性，与低温超导量子电路兼容，且由于布里渊过程的宽带特性，能够实现多通道转换。这项工作不仅为量子计算和量子通信的发展提供了新的视角，还为未来构建高效分布式量子网络奠定了基础。

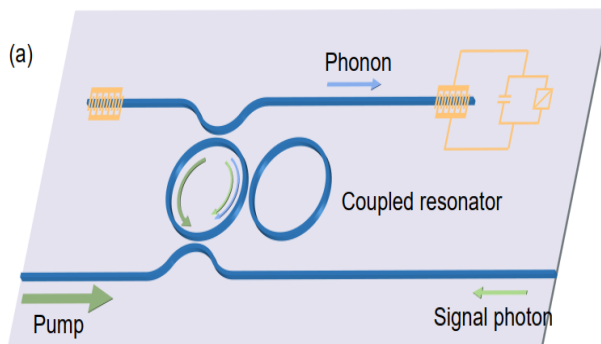


图 1 基于铌酸锂 - 蓝宝石芯片上的腔增强布里渊相互作用的微波光波量子频率转换器

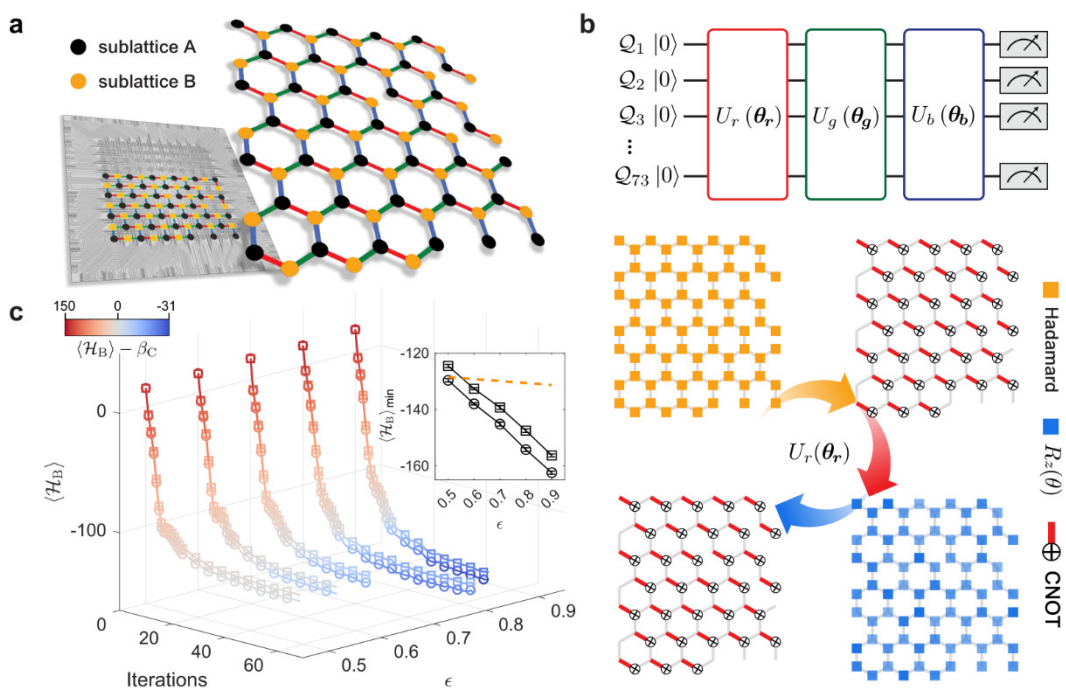
该成果研究论文：Yuan-Hao Yang, Jia-Qi Wang, Xin-Biao Xu, Ming Li, Yan-Lei Zhang, Xiaoxuan Pan, Lintao Xiao, Weiting Wang, Guang-can Guo, Luyan Sun, and Chang-ling Zou, "Proposal for Brillouin microwave-to-optical conversion on a chip", Optical Materials Express 2024.

# 五、量子多体物理

主要完成人：邓东灵研究组

## 多体量子系统中的非定域性探测

量子非定域性 (quantum nonlocality) 是量子力学中的一个核心概念。它描述了比量子纠缠更强的量子关联，是量子力学中最具标志性且富有争议的特征之一，挑战了经典物理学中的局域实在论。非定域性描述了一个量子系统中两个或多个粒子之间的关系，在这些粒子即使相距很远的情况下，它们的状态仍然表现出强烈的关联性，这种关联性超越了经典物理所能解释的极限。量子非定域性不仅是理解量子力学的关键所在，还在多个实际应用中扮演着重要角色，如量子密码学、量子机器学习、随机数生成等。然而，探测量子非定域性，特别是在量子多体系统中的非定域性，依然是一个很具有挑战性的问题。



邓东灵研究组首次提出了将贝尔不等式元素映射到多体量子系统哈密顿量、并利用量子-经典优化算法在该系统中寻找哈密顿量的低能态，用以探测贝尔关联以及其关联深度。在量子优化过程中，为了避免贫瘠荒原现象 (barren plateaus)，该研究组利用局域量子算符和 layer-wise training 的策略以提高训练效率、避免优化过程中的梯度消失。最终，他们在 73 比特的系统中将能量降低到显著低于局域隐变量模型所允许的经典界限，从而观测到了贝尔关联。进一步的，为了探测贝尔关联的深度，他们利用 Svetlichny 不等式在特定的测量算符下所构造的哈密顿量，首次成功在 24 比特的系统中观测到了的多体真实非局域关联。

该研究首次在可单个寻址的多体量子系统中观测到贝尔关联，为量化量子非定域性并发展具有量子优势的应用迈出了重要一步。

该成果研究论文：Ke Wang, Weikang Li, Shibo Xu, Mengyao Hu, Jiachen Chen, Yaozu Wu, Chuanyu Zhang, Feitong Jin, Xuhao Zhu, Yu Gao, Ziqi Tan, Aosai Zhang, Ning Wang, Yiren Zou, Tingting Li, Fanhao Shen, Jiarun Zhong, Zehang Bao, Zitian Zhu, Zixuan Song, Jinfeng Deng, Hang Dong, Xu Zhang, Pengfei Zhang, Wenjie Jiang, Zhide Lu, Zheng-Zhi Sun, Hekang Li, Qiujiang Guo, Zhen Wang, Patrick Emonts, Jordi Tura, Chao Song, H. Wang, Dong-Ling Deng, "Probing many-body Bell correlation depth with superconducting qubits", arXiv:2406.17841.

# 六、拓扑凝聚态物理

主要完成人：徐勇研究组

## 首次发现由反馈机制诱导的趋肤效应所造成 的动力学转变

近年来，非厄米体系受到了许多研究关注。人们在其中发现了诸如趋肤态等新奇的物理现象。但是实验上观测非厄米趋附态需要施加后选择，这使得对于大规模系统的模拟变得相当困难。但最近的研究表明，在连续测量并施加反馈的动力学系统中，同样可以涌现出非厄米趋附态。而在非平衡动力学系统中，动力学相变的存在性是个关键问题。传统的动力学相变是指在动力学系统长期演化后的观测量会随着控制参数的变化出现奇点，或者 Loschmidt 回波函数随时间出现奇点。

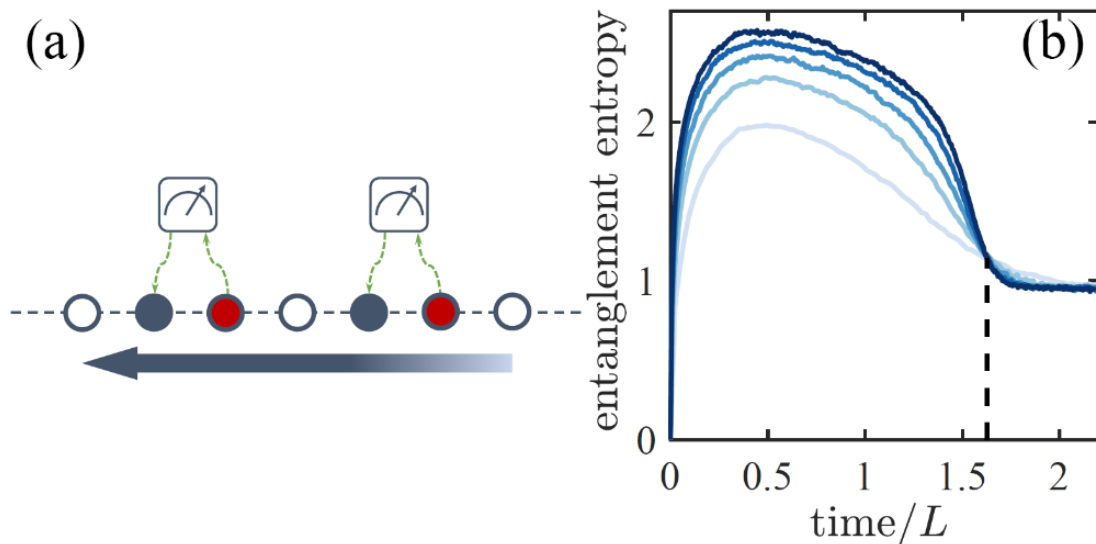


图 1 (a) 系统示意图，连续对无相互作用费米子系统作用测量与反馈控制。(b) 系统纠缠熵的增长规律随“时间 / 系统尺寸”出现转变

基于以上观察，徐勇研究组研究了连续测量的自由费米子系统，并在开边界条件下施加了反馈控制，发现了纠缠熵随时间变化，由对数增长律到面积律的新型动力学转变。与通常的动力学相变相比，这种转变源于体态运动和边界趋肤效应的竞争。该系统如图 1a 所示，连续地对相邻两个位置的无自旋费米子进行测量，并通过反馈机制把所测向右运动的准粒子模式翻转成向左运动的模式。该系统演化初期，由于体态中运动的准粒子模式的存在，体系纠缠熵呈现出对数增长；在长时间演化后所有粒子都运动到边界，系统会呈现出趋肤效应，其纠缠熵满足面积律，如图 1b 所示。

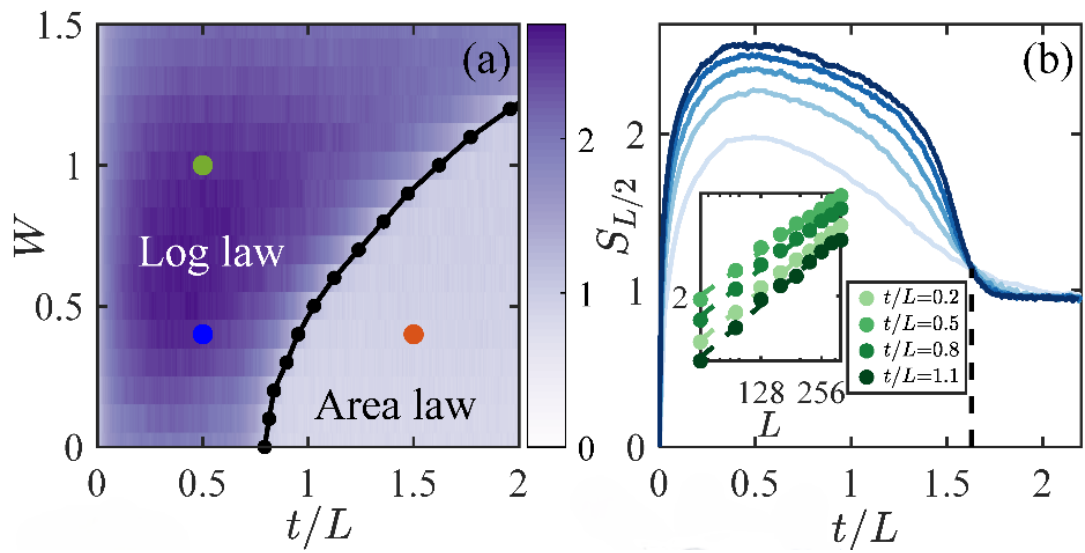


图2 (a) 纠缠熵增长律的相图, 黑色线的左右侧分别代表对数增长律和面积律两个相。(b) 施加准周期势能后, 不同系统大小的纠缠熵随时间的变化, 小图是固定, 纠缠熵随系统大小的增长变化

研究人员进一步探究了施加准周期势能对于系统动力学的影响, 其相图如图 2a 所示。随着准周期势能在一定区间内的逐步增加, 纠缠熵的动力学转变依旧存在, 不过其相变点相对于没有准周期势的情况有所延迟, 如图 2b 所示。从准粒子运动模式的角度来看, 这是因为准周期势减缓了准粒子运动的速度, 粒子运动到边界的时间变长了, 所以动力学转变发生的时间变晚, 但是依然存在。此外, 研究人员还设计了相应的实验方案, 有望在未来实验上观测到这一新奇现象。

该成果研究论文: Ze-Chuan Liu, Kai Li, and Yong Xu, "Dynamical Transition Due to Feedback-Induced Skin Effect", Phys. Rev. Lett. 133, 090401 (2024).



Editor:  
Kailin Li  
Reviewer: Jian Li, Yipu Song, Xiamin Lv